

UNIVERSIDAD NACIONAL DE LA PLATA
FACULTAD DE CIENCIAS NATURALES Y MUSEO

CENPAT
CONICET ESTUDIOS CORRELATIVOS PALEO-NEONEUROLOGICOS EN

EDENTADOS XENARTROS (MAMMALIA, EDENTATA, XENARTHRA):
NEUROEVOLUCION

CENPAT
CONICET Por:
MARIA TERESA DOZO

CENPAT
CONICET TOMO II

Trabajo de Tesis para optar al título de:

CENPAT
CONICET - Doctor en Ciencias Naturales -

CENPAT
CONICET Director de Tesis: Dr. Rosendo PASCUAL

CENPAT
CONICET -1989-

EXPLICACION DE LAS LAMINAS

-Las fotos presentan escalas en milímetros-

-La línea negra de los dibujos representa 1cm-

LAMINA 1

Escala temporal del Cenozoico de América del Sur mostrando la sucesión y cronología aproximada de sus Edades-mamífero. Tomado de Pascual et al. (1987).

LAMINA 2

Cuadro de las relaciones filogenéticas entre los diferentes Ordenes dentro de los Xenarthra.

A: Según Engelmann (1985)

B: Según Scillato-Yané y Pascual (1985)

LAMINA 3

Cuadro de las relaciones filogenéticas dentro de los Cingulata.

Tomado de Engelmann (1985).

LAMINA 4

Cuadro de las relaciones filogenéticas dentro de los Vermilingua.

Tomado de Engelmann (1985).

LAMINA 5

Cuadro de las relaciones filogenéticas dentro de los Tardigrada Mylodontoidea. Tomado de Engelmann (1985).

LAMINA 6

Cuadro de las relaciones filogenéticas dentro de los Tardigrada con especial referencia a los no Mylodontoidea. Tomado de Engelmann (1985).

LAMINA 7

Cuadro de las Edades-mamífero con la ubicación temporal de los Xenarthranidae los que se dispone de moldes endocraneanos. Se incluyen también moldes endocraneanos citados en la bibliografía, los cuales se indican con un asterisco.

LAMINA 8

Encéfalo de Chaetophractus villosus (M15) con estructuras intraencefálicas no nerviosas.

- A:vista dorsal (VD)
B:vista ventral (VV)
C:vista lateral (VL)

LAMINA 9

Representación esquemática del encéfalo de Ch. villosus (M15) con estructuras intraencefálicas no nerviosas.

A:VD; B:VV; C-D:VL

LAMINA 10

Representación esquemática de la vista caudal (VC) del encéfalo de Ch. villosus (M15).

LAMINAS 11-19

Encéfalos de Chaetophractus villosus sin
intraencefálicas no nerviosas.

estructuras
CONICET

LAMINA 11

Encéfalo M22; A:VD; B:VV; C:VL

LAMINA 12

Representación esquemática del encéfalo M22. A:VD; B:VV; C-D:VL

LAMINA 13

Encéfalo M24. A:VD; B:VV; C:VL

LAMINA 14

Representación esquemática del encéfalo M24. A:VD; B:VV; C-D:VL

LAMINA 15

Encéfalo M28. A:VD; B:VV; C:VL

LAMINA 16

Representación esquemática del encéfalo M28. A:VD; B:VV; C-D:VL

LAMINA 17

Encéfalo M30. A:VD; B:VV; C:VL

LAMINA 18

Representación esquemática del encéfalo M30. A:VD; B:VV; C-D:VL

LAMINA 19

Representación esquemática del encéfalo M22 en vista caudal(VC)

LAMINA 20
CENPAT CONICET
Encéfalo de Dasypus hybridus (M88). A:VD; B:VV; C:VL
CONICET

LAMINA 21
CENPAT CONICET
Representación esquemática del encéfalo de D. hybridus (M88).
A:VD; B:VV; C:VL
CENPAT CONICET

LAMINA 22
CENPAT CONICET
Encéfalo de Myrmecophaga tridactyla (M99). A:VD; B:VV; C:VL
CENPAT CONICET

LAMINA 23
CENPAT CONICET
Representación esquemática del encéfalo de M. tridactyla (M99).
A:VD; B:VV; C:VL
CENPAT CONICET

LAMINA 24

CENPAT CONICET
Molde endocraneano artificial de Chaetophractus villosus (M55).
A:VD; B:VV; C:VL
CENPAT CONICET

LAMINA 25
CENPAT CONICET
Representación esquemática del molde endocraneano de Ch. villosus
(M55). A:VD; B:VV; C:VL
CENPAT CONICET

LAMINA 26
CENPAT CONICET
Molde endocraneano artificial de Chaetophractus vellerosus
(MACN(8)). A:VD; B:VV; C:VL
CENPAT CONICET

LAMINA 27

CENPAT CONICET
Representación esquemática del molde endocraneano de Ch. vellerosus (MACN(8)). A:VD; B:VV; C:VL
CENPAT CONICET

LAMINA 28

Molde endocraneano artificial de Euphractus sexcinctus (MACN(2)).

A:VD; B:VV; C:VL

CONICET

Representación esquemática del molde endocraneano de E.

sexcinctus (MACN(2)). A:VD; B:VV

CONICET

LAMINA 29

Molde endocraneano artificial de Chlamyphorus truncatus (# 4, col.Carlini (MLP)). A:VD; B:VV; C:VL

CONICET

LAMINA 30

Representación esquemática del molde endocraneano de Ch. truncatus (# 4, col.Carlini (MLP)). A:VD; B:VV; C-D:VL

Molde endocraneano artificial de Tolypeutes matacus (MACN(9)).

A:VD; B:VV; C:VL

CONICET

LAMINA 32

CONICET

LAMINA 33

Representación esquemática del molde endocraneano de T. matacus (MACN(9)). A:VD; B:VV; C-D:VL

CONICET

LAMINA 34

Molde endocraneano artificial de Dasyurus hybridus (MACN(5)).

A:VD; B:VV; C:VL

CONICET

CONICET

LAMINA 35

Representación esquemática del molde endocraneano de D. hybridus
(MACN(5)). A:VD; B:VV; C-D:VL

Molde endocraneano artificial de Priodontes maximus (MACN(1)).

A:VD; B:VV
CENPAT
CONICET

LAMINA 36

LAMINA 37

Representación esquemática del molde endocraneano de P. maximus
(MACN(1)). A:VD; B:VV

LAMINA 38

Molde endocraneano artificial de Choloepus didactylus (# 534).
A:VD; B:VV; C:VL

Representación esquemática del molde endocraneano de Ch. didactylus (# 534). A:VD; B:VV; C:VL

LAMINA 39

LAMINA 40

Mitad izquierda del molde endocraneano artificial de Myrmecophaga tridactyla (M 138). A:VD; B:VV; C:VL

LAMINA 41

Representación esquemática de la mitad izquierda del molde endocraneano de M. tridactyla (M 138). A:VD; B:VV; C:VL

LAMINA 42

A: Vista dorsal del encéfalo (con meninges) (1) y molde endocraneano (2) de Chaetophractus villosus.

B: Vista dorsal del encéfalo (sin meninges) (1) y molde endocraneano (2) de Ch. villosus.

LAMINA 43

Vista dorsal del encéfalo (1) y molde endocraneano (2) de Dasyurus hybridus.

LAMINA 44

Vista dorsal del encéfalo (1) y molde endocraneano (2) de Myrmecophaga tridactyla.

LAMINA 45

Localización de áreas corticales funcionales en encéfalos de Dasypus novemcinctus (A) y Bradypus tridactylus (B).

A: Representación esquemática de la vista lateral del encéfalo de D. novemcinctus mostrando la localización de las áreas somáticas primarias (sensitiva y motora) (S-I, M-I), áreas visual (V) y auditiva (A). (Modificado de Dom et al., 1971 y Royce et al., 1975).

B: Representación esquemática de la vista dorso-lateral del encéfalo de Bradypus tridactylus, mostrando la localización de las áreas somáticas primarias (sensitiva y motora) (SN-I), el área somática secundaria (sensitiva) (S-II), las áreas visual (V) y auditiva (A). (Modificado de Saraiva y Magalhaes-Castro, 1975).

LAMINA 46

Moldes endocraneanos naturales de Propalaehoplophorus sp.

1:MLP 68.VI.25.297. A:VD; B:VV

2:MLP 68.VII.25.294. A:VD; B:VL

LAMINA 47

Representación esquemática de los moldes endocraneanos de
Propalaehoplophorus sp.

A-D: MLP 68.VI.25.297; A:VD; B-C:VL; D:VV

E-F: MLP 68.VII.25.294; E:VD; F:VL

LAMINA 48

Mitad izquierda del molde endocraneano artificial de Glyptodon
clavipes (MLP 18). A:VD; B:VV; C:VL

LAMINA 49

Representación esquemática de la mitad izquierda del molde
endocraneano de G. clavipes (MLP 18). A:VD; B:VV, C:VL

LAMINA 50

Molde endocraneano artificial de Utaetus buccatus (AMNH 28668).

A:VD; B:VV; C:VL

LAMINA 51

Representación esquemática del molde endocraneano de U. buccatus
(AMNH 28668). A:VD; B:VV; C-D:VL

Molde endocraneano artificial de Scagliatatus reigi (MMP 1210).
CONICET

A:VD; B:VV; C:VL

Representación esquemática del molde endocraneano de S. reigi
(MMP 1210). A:VD; B:VV; C:VL

Molde endocraneano artificial de Peltaphilus ferox (MACN 4902-18). A:VD; B:VV; C:VL

Representación esquemática del molde endocraneano de P. ferox
(MACN 4902-18). A:VD; B:VV; C-D:VL

Molde endocraneano artificial de Epiptelaphilus recurvus (MACN A 11641). A:VD; B:VL

Representación esquemática del molde endocraneano de E. recurvus
(MACN A 11641). A:VD; B:VL

Molde endocraneano artificial de cf. Pelecyodon sp. (MLP 85-VIT-3-2). A:VD; B:VL

LAMINA 59

Representación esquemática del molde endocraneano de cf.
Pelecyodon sp. (MLP 85-VII-3-2). A:VD; B:VL

LAMINA 60

Molde endocraneano natural de Hapalops indifferens (MLP 4-4).
A:VD; B:VV; C:VL

LAMINA 61

Representación esquemática del molde endocraneano de II.
indifferens (MLP 4-4). A:VD; B:VV; C:VL

LAMINA 63

Molde endocraneano artificial de Hapalops rutimeyeri (MACN A 1064). A:VD; B:VV; C:VL

LAMINA 64

Vista latero-dorsal.
Molde endocraneano artificial de Nothrotherium sp. (MACN 1012).

LAMINA 65

Representación esquemática del molde endocraneano de
Nothrotherium sp. (MACN 1012). Vista latero-dorsal.

LAMINA 66

Molde endocraneano natural de un *Megatheriinae* indet. (MMP 1306).

A:VD; B:VL

CONICET

Representación esquemática del molde endocraneano de un *Megatheriinae* indet. (MMP 1306). A:VD; B:VL

Mitad izquierda del molde endocraneano artificial de *Megatherium americanum* (MLP 2-179). A:VD; B:VV; C:VL.

Representación esquemática de la mitad izquierda del molde endocraneano de *M. americanum* (MLP 2-179). A:VD; B:VV; C:VL

Molde endocraneano artificial de *Eucholoeops fronto* (MLP 4-2).

A:VD; B:VL

CONICET

Representación esquemática del molde endocraneano de *E. fronto* (MLP 4-2). A:VD; B:VL

Molde endocraneano artificial de *Pliomorphus brevis* (MACN 2954).

Vista postero-dorsal

LAMINA 73

Representación esquemática del molde endocraneano de P. brevis (MACN 2954). Vista postero-dorsal

Molde endocraneano artificial de Analcitherium antarticum (MACN A 4668). A:VD; B:VL

LAMINA 74

Representación esquemática del molde endocraneano de A. antarticum (MACN A 4668). A:VD; B:VL

LAMINA 75

Mitad derecha del molde endocraneano artificial de Mylodon(?) listai (MLP 1538). A:VD; B:VD-L; C:VV; D:VL

LAMINA 76

Representación esquemática de la mitad derecha del molde endocraneano de Mylodon(?) listai (MLP 1538). A:VD; B:VD-L; C:VV; D:VL

LAMINA 78

Molde endocraneano artificial de Proscelidodon sp. (MLP 3-673). A:VD; B:VV; C:VL

LAMINA 79

Representación esquemática del molde endocraneano de Proscelidodon sp. (MLP 3-673). A:VD; B:VV; C:VL

Representación
Glyptodontia.

esquemática

LAMINA 80

del modelo neocortical
CONICET

básico para
CONICET

Representación esquemática del modelo neocortical básico para
Dasypoda. Se representa el hemisferio izquierdo en vista dorsal.

LAMINA 81
CONICET
LAMINA 82

Variaciones de la configuración neocortical en ejemplares de la
Subfamilia Euphractinae, tribu Euphractini.

Representación
Tardigrada.

LAMINA 83
CONICET

esquemática del modelo neuromorfológico para
CONICET

Representación esquemática del modelo neocortical en Tardigrada
actuales (modificado de Pohlenz-Kleffner, 1969)

A: Bradypus tridactylus

LAMINA 84

B: Choloepus didactylus

CONICET

Representación
Vermilingua.

LAMINA 85

esquemática del modelo neuromorfológico para
CONICET

Representación
CONICET

LAMINA 86

esquemática del modelo neocortical primitivo del
CONICET

encéfalo que caracteriza a ejemplares de distintos Ordenes de mamíferos a comienzos del Período Terciario.

Representación esquemática de los estadios principales de la evolución de las circunvoluciones neocorticales en mamíferos no-primates que presentan una flexión telencefálica muy grande.

Modificado de Anthony (1961).

1 a 4: circunvoluciones arqueadas

Las flechas indican el sentido de la flexión.

LAMINA 88

Representación esquemática de los modelos neuromorfológicos definidos para los Ordenes Cingulata (A), Tardigrada (B) y

Vermilingua (C). Se representan los encéfalos en vista lateral.

ABREVIATURAS

ab: arteria basilar

acm: arteria cerebral media

ah: adenohipófisis

bo: bulbos olfatorios

br: bulbo raquídeo

cc: canal carotídeo

cce: cerebelo

cm: cuerpos mamilares

ctr: cuerpo trapezoide

ects: circunvolución ectosilviana

el: surco entolateral

fc: relleno del foramen condíleo

fip: fosa interpeduncular

fla: relleno del foramen lacerum anterior

flp: relleno del foramen lacerum posterior

fo: relleno del foramen oval

fp: fisura prima

fr: fisura rinal

fre: relleno del foramen redondo

h: hipófisis

hce: hemisferios cerebelosos

ht: hemisferios telencefálicos

in: infundíbulo

iv: impresión vascular

l: surco lateral

lp: lóbulo piriforme

lpost: lóbulo posterior

lpt: surco lateral posterior

lte: lóbulo temporal

mai: meato auditivo interno

mar: circunvolución marginal

nh: neurohipófisis

CONIP: surco presilviano

pbu: pirámides bulbares

pc: pedúnculos cerebrales

pd-cIVve: porción dorso-caudal del cuarto ventrículo

pfl: paraflóculo

po: pedúnculos olfatorios

poct: pedúnculos olfatorios en corte transversal

pr: protuberancia

pW: polígono de Willis

q: quiasma óptico

rh: región hipofisaria

rp: región protuberancial

rs: región silviana

sanp: surco ansoparamediano

sco: surco coronal

scr: surco cruzado

sec: surco ectosilviano

sintcr: surco intercrural

sls: seno longitudinal superior

spfl: surco paraflocular

spm: surco paramediano

sps: surco pseudosilviano

sra: rama anterior de la fisura rinal

srp: rama posterior de la fisura rinal

ss: surco suprasilviano

st: seno transverso

sup: circunvolución suprasilviana

tc: tentorio cerebeloso

tci: tuber cinereum

to: tubérculos olfatorios

tol: tractos olfatorios laterales

vci: venas cerebelares inferiores

ve: vermis cerebeloso

zd: zona deteriorada

I: nervio olfatorio

II: nervio óptico

III: nervio motor ocular común

IV: nervio patético

V1: rama oftálmica del nervio trigémino

V2: rama maxilar del nervio trigémino

V3: rama mandibular del nervio trigémino

VI: nervio motor ocular externo

CENPAT

VII: nervio facial

CENPAT

VIII: nervio auditivo

CENPAT

IX: nervio glosofaríngeo

CENPAT

X: nervio vago

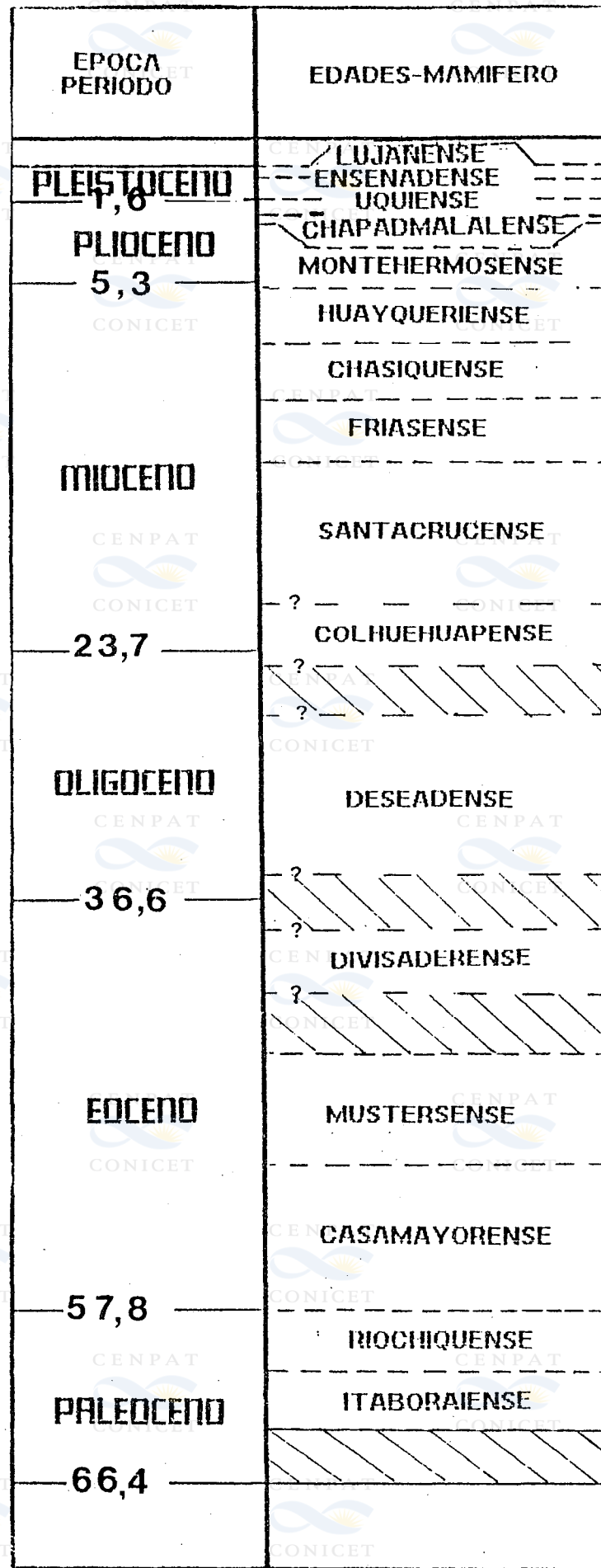
CENPAT

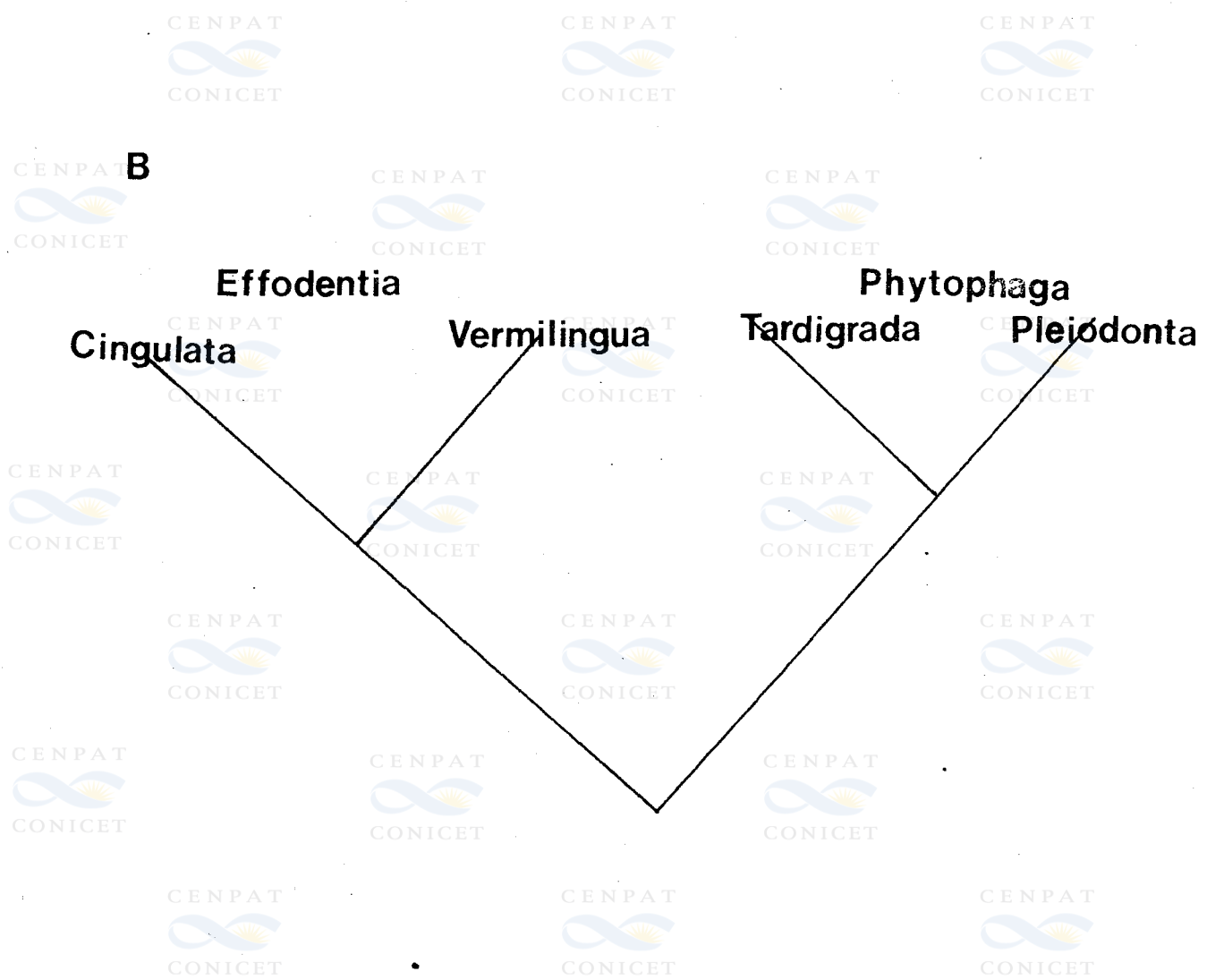
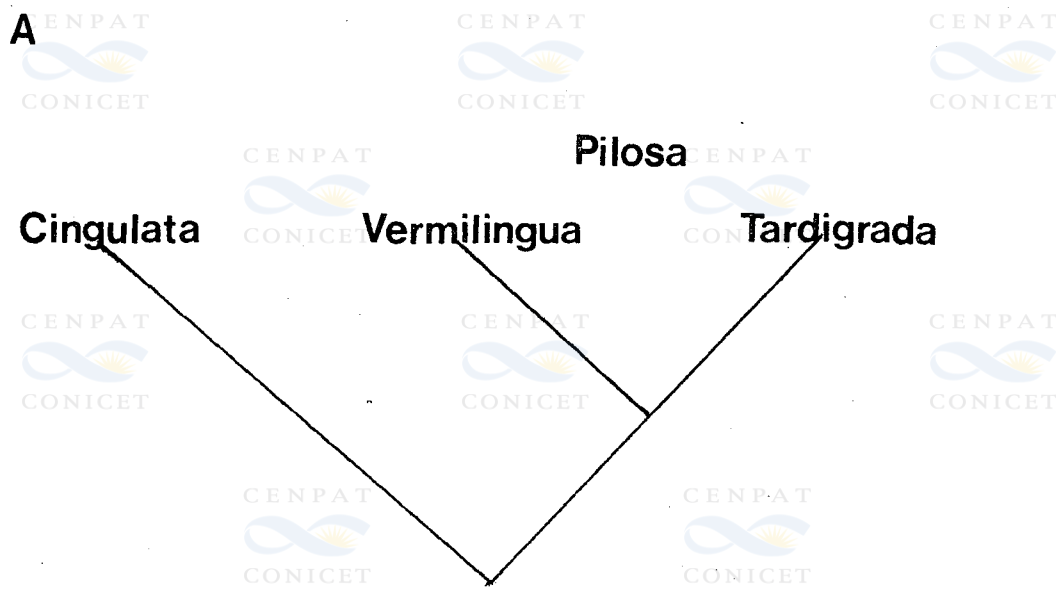
XI: nervio espinal

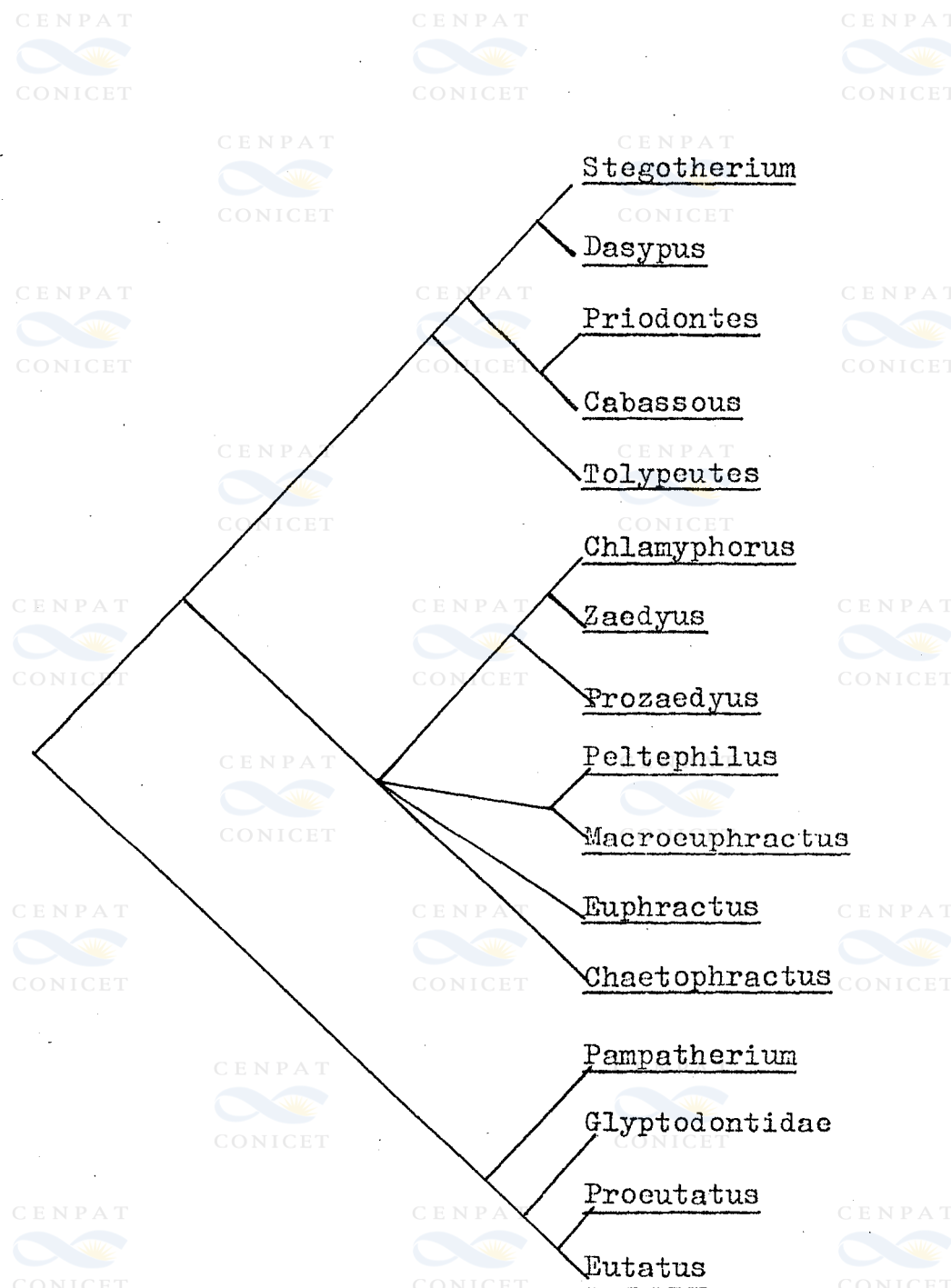
CENPAT

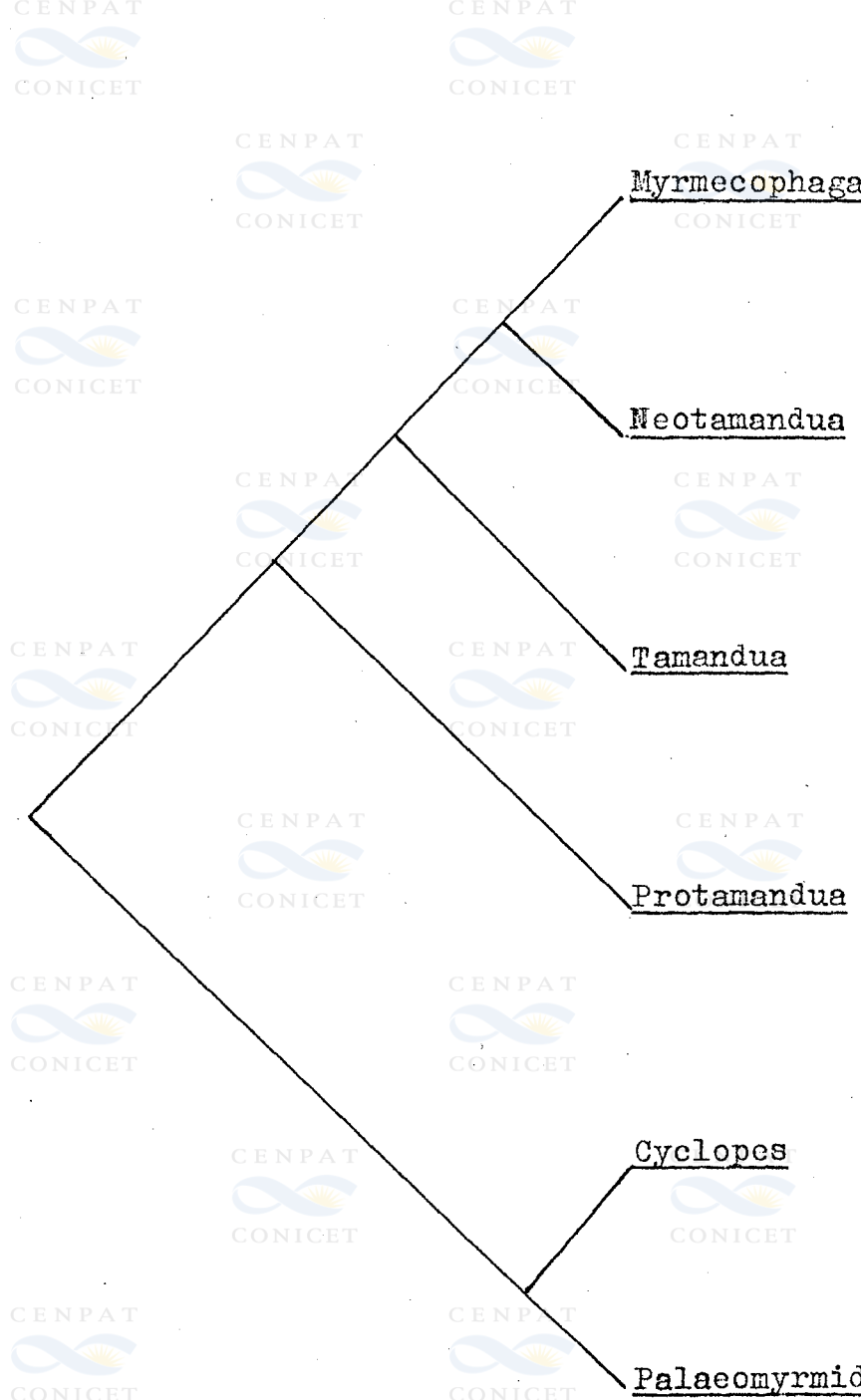
XII: nervio hipogloso

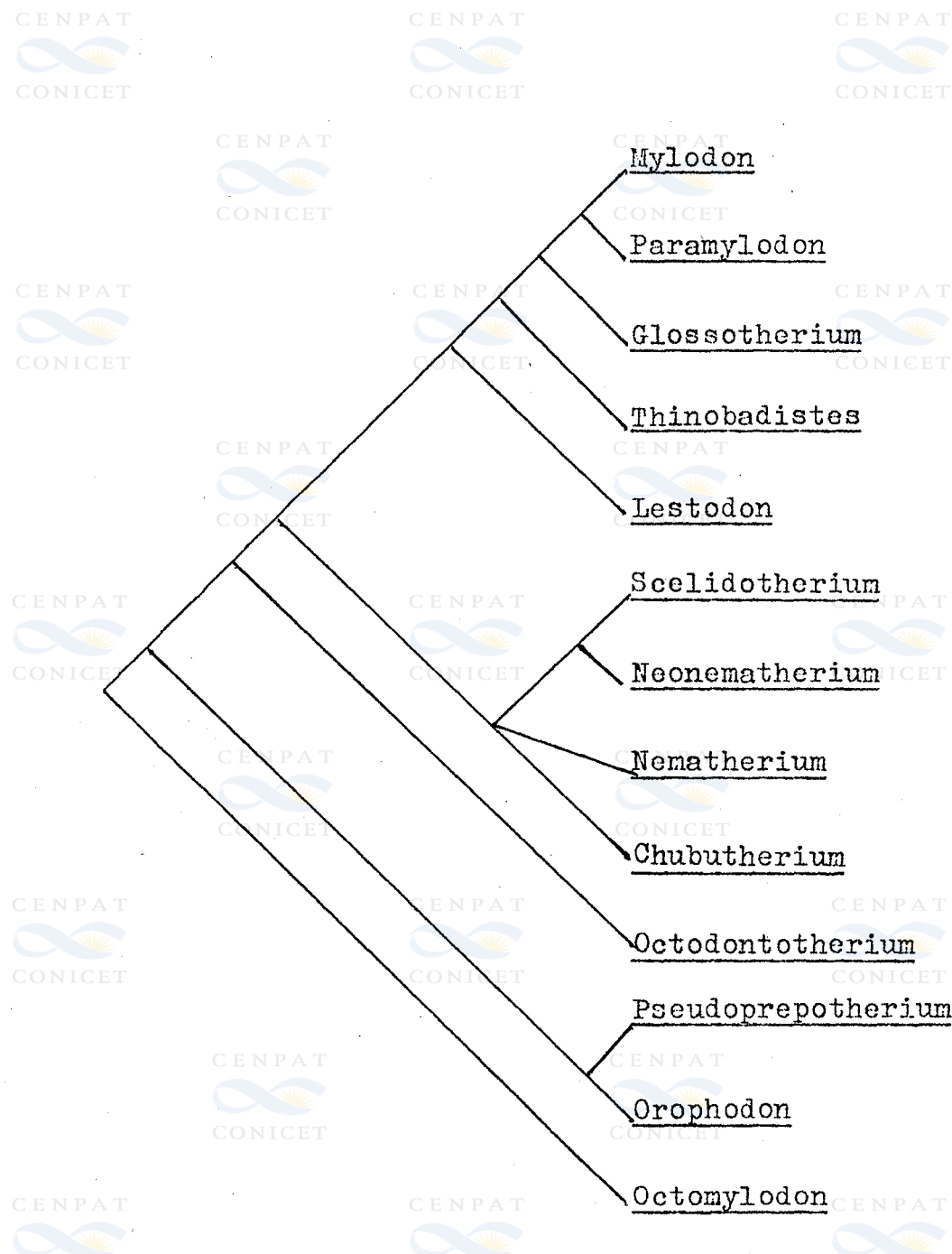
CENPAT











Choloepus

Bradypus

Megatherium

Eremotherium

Nothrotherium

Hapalops

Pliometanastes

Megalonyx

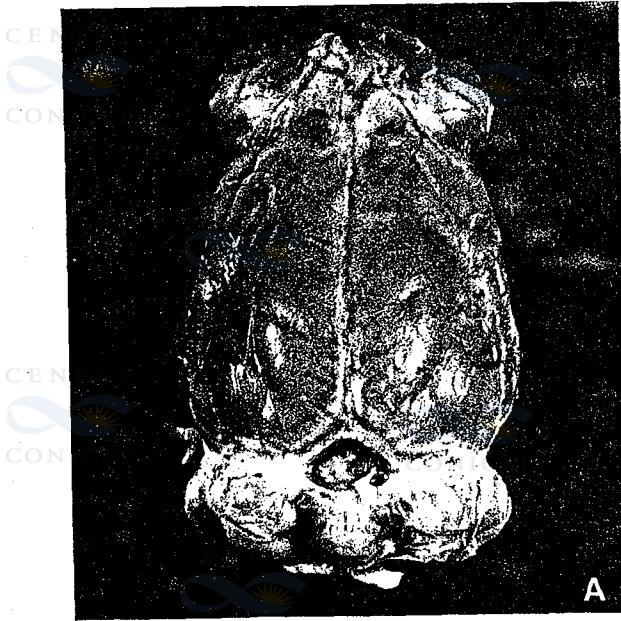
Acratocnus

Neocnus

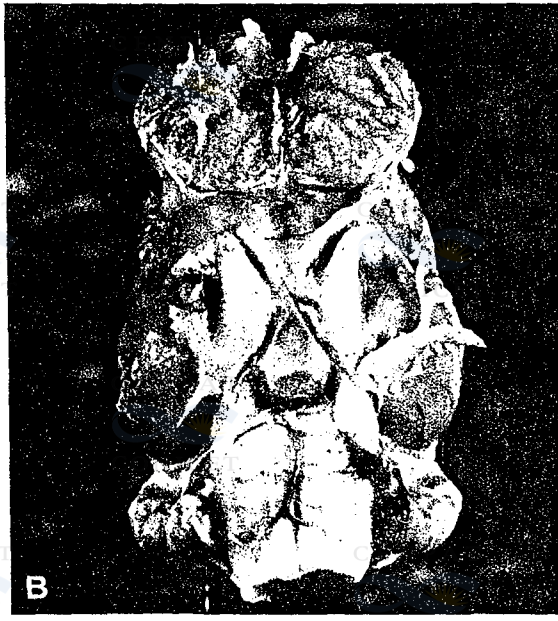
Mesocnus

Megalocnus

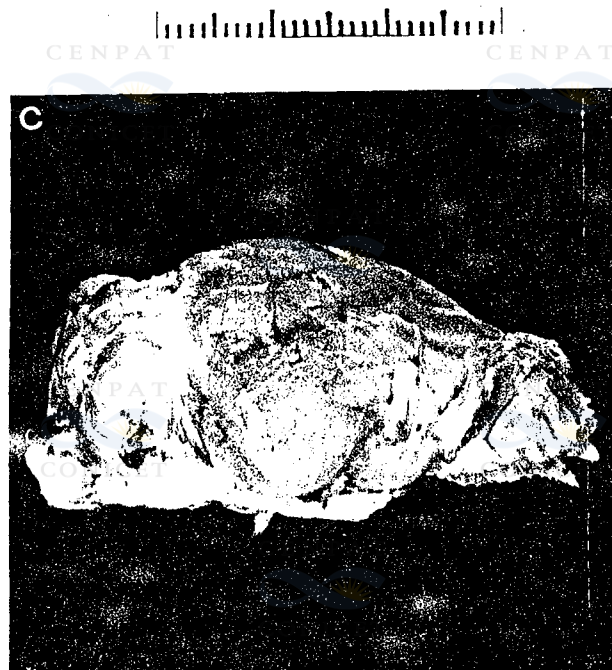
	CONICET Edades-mamífero	CINGULATA		COTARDIGRADA		
	Glyptodontidae	Dasyopodidae	Megatheriidae	Megalonychidae	Mylodontidae	
Pleistoceno	Lujanense Ensenadense Uquense Chopadmalakense Montehermosense	Glyptodon	Scagliatatus	Megatherium	Ocnopus*	Mylodon Lestodon* Scelidotherium* Glossotherium*
Pliocene	Huayqueriense			Nothrotherium	Pliomorphus	Proseelidodon
Mioceno	Chasiquense		Epibeltaphilus			
	Friasense		Peltaphilus	Hapalops	Eucholoeops	Analcitherium
	Santaerucense	Propalaeophloropus				
	Colhuehuapense			cf. Pelecyodon		
Oligoceno	Deseadense					
	Divisaderense					
	Mustersense					
Eoceno	Casamayorense		Utaetus			
Paleoceno	Riochiquense					
	Itaboraiense					



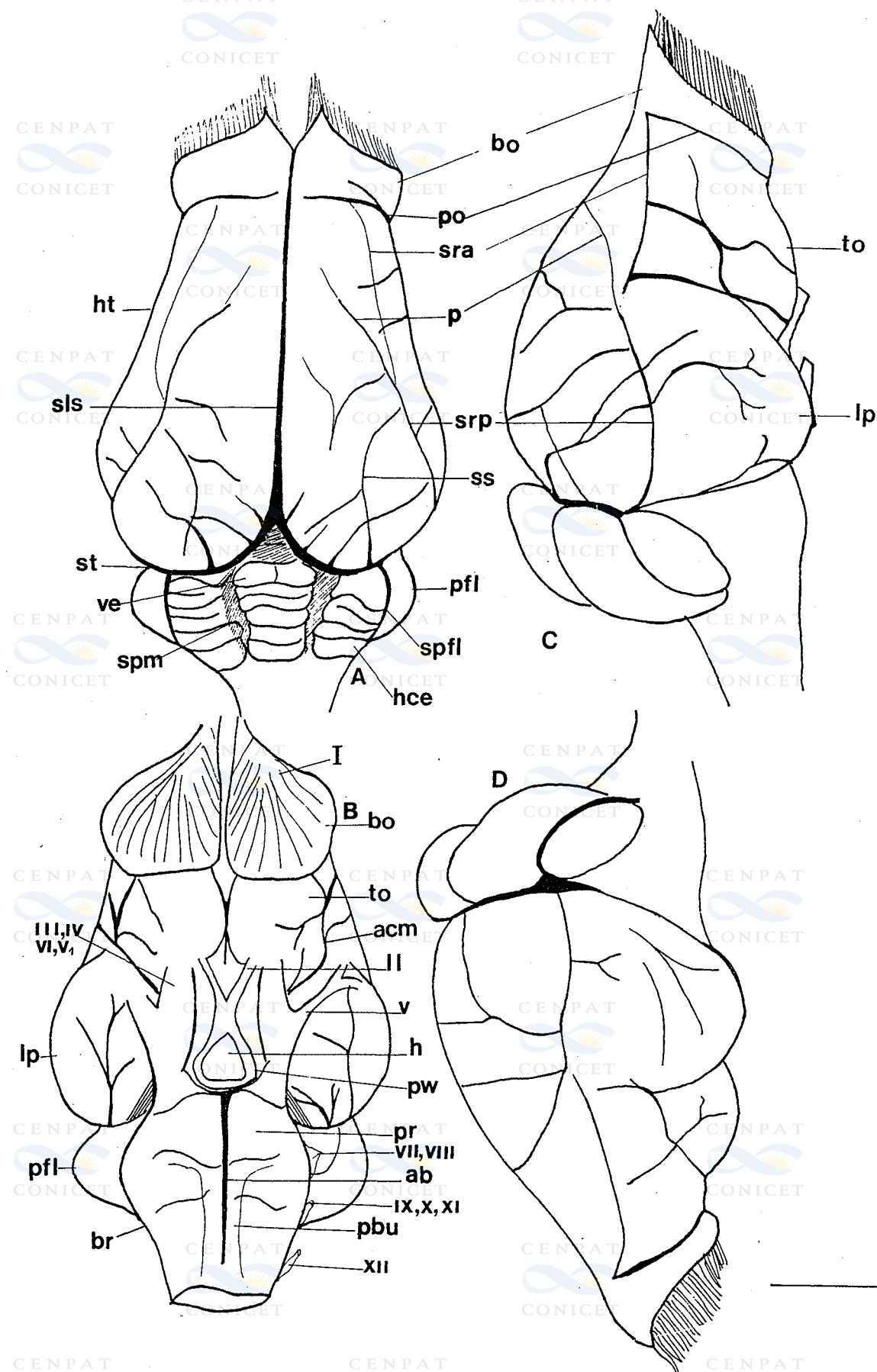
A

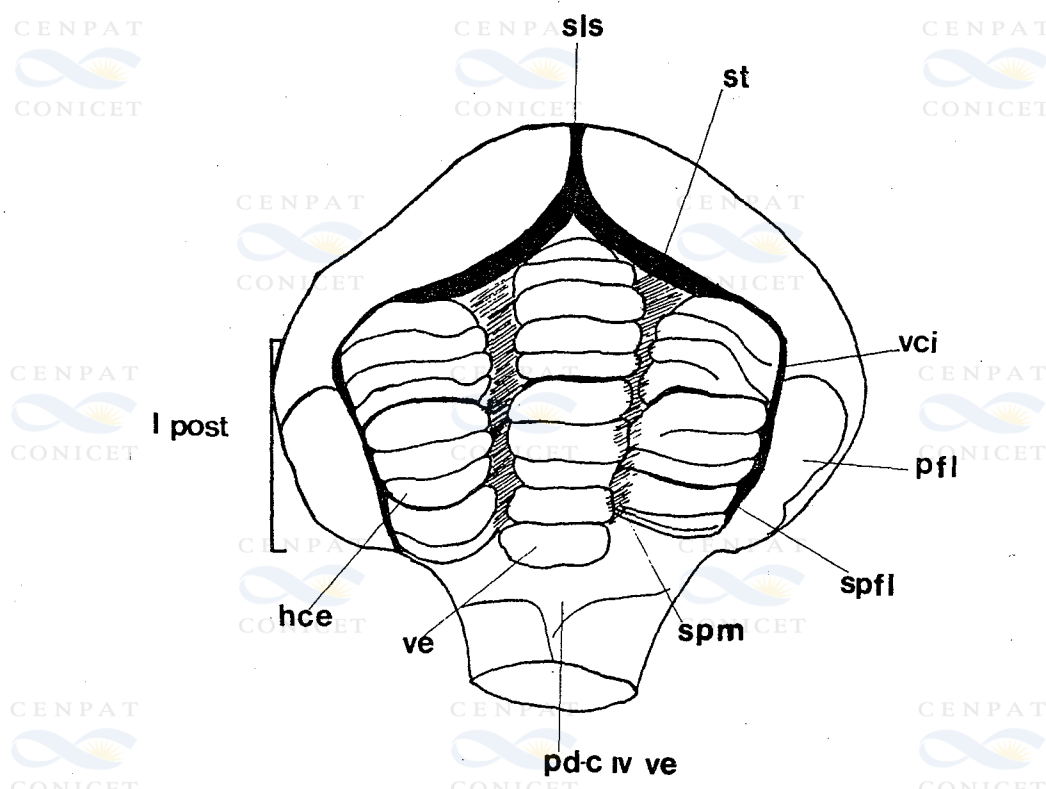


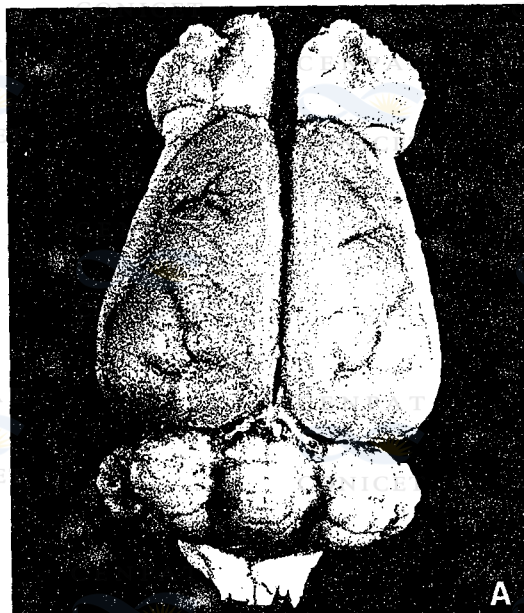
B



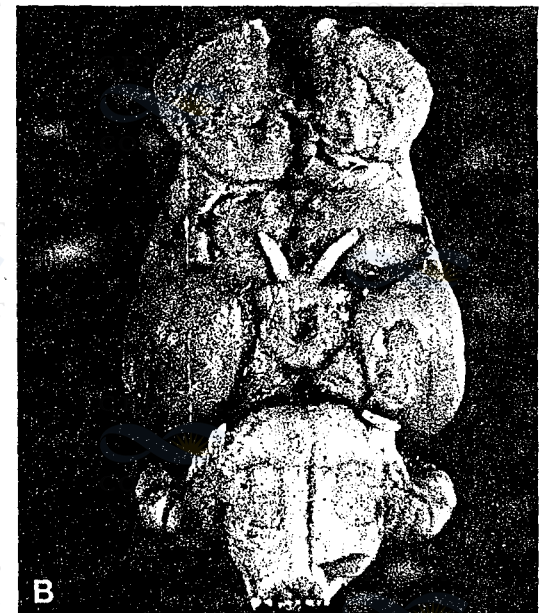
C



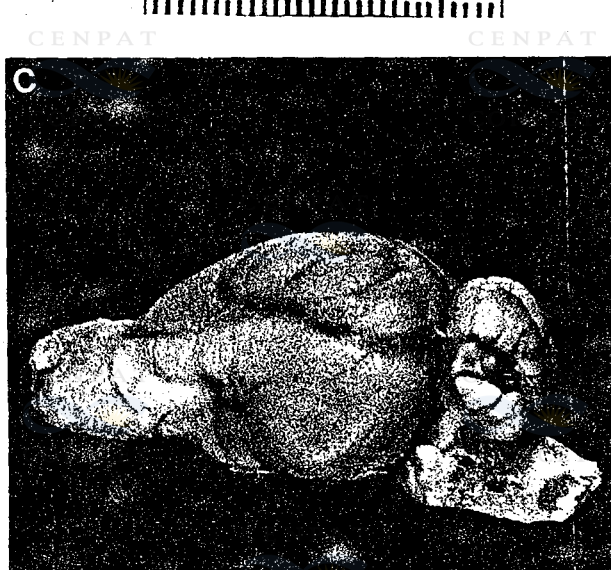


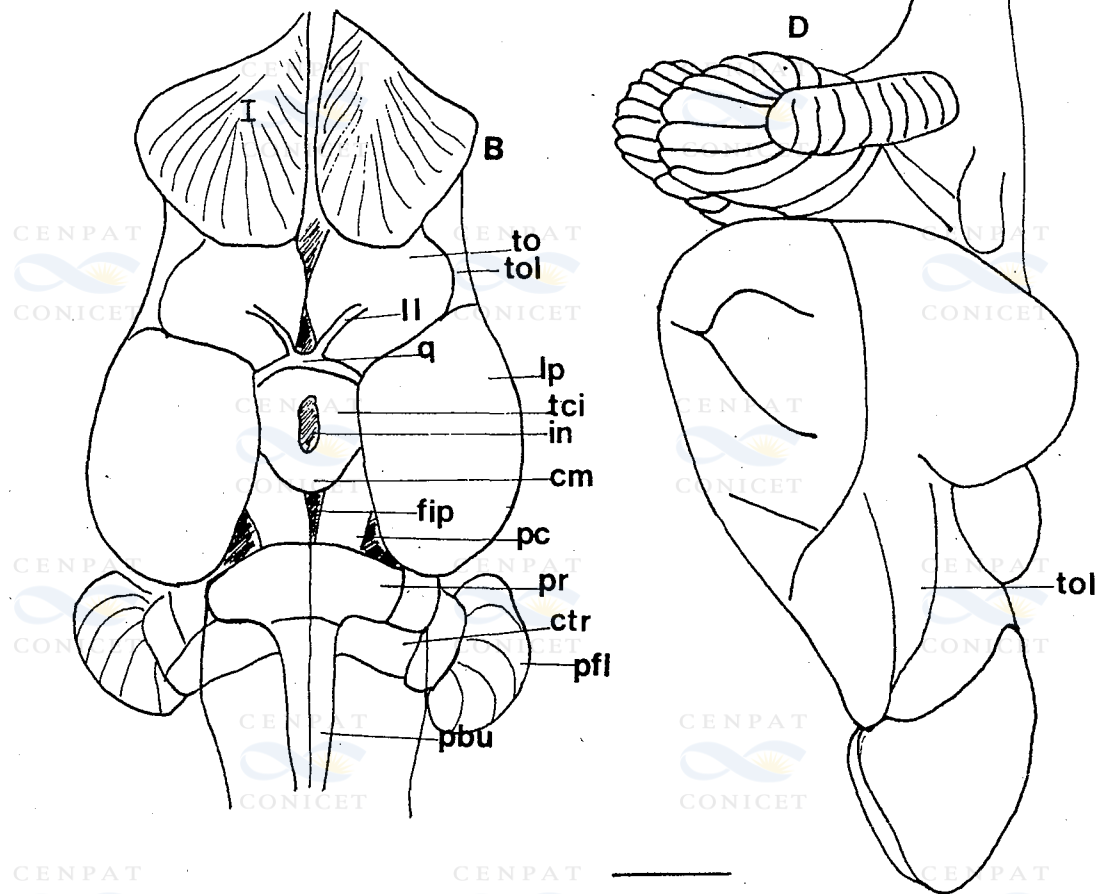
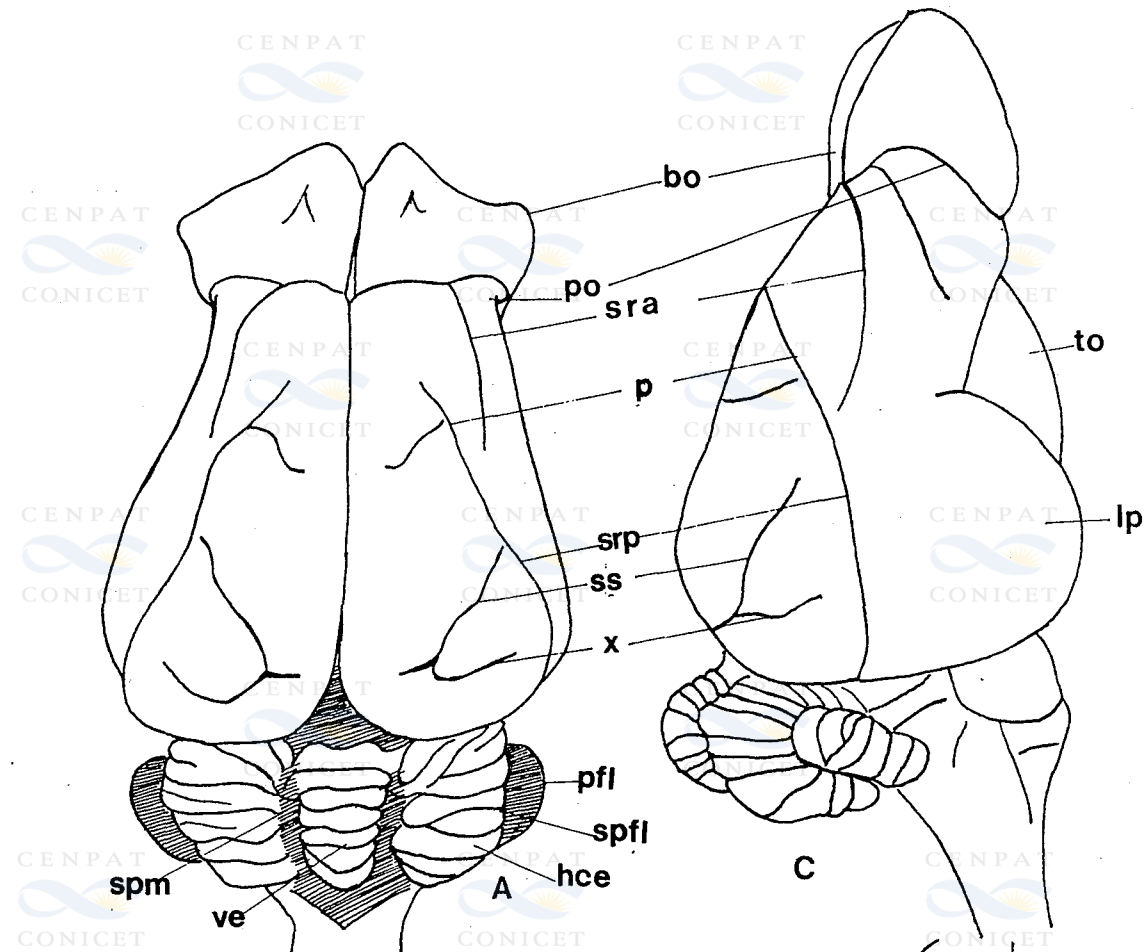


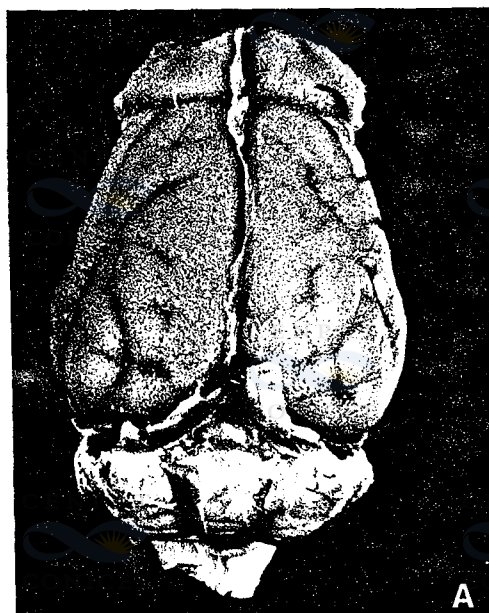
CENPAT
CONICET



CENPAT
CONICET





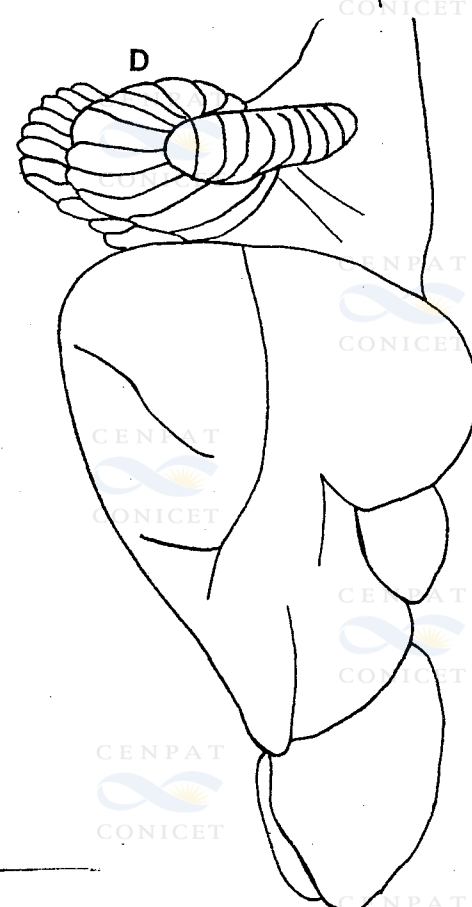
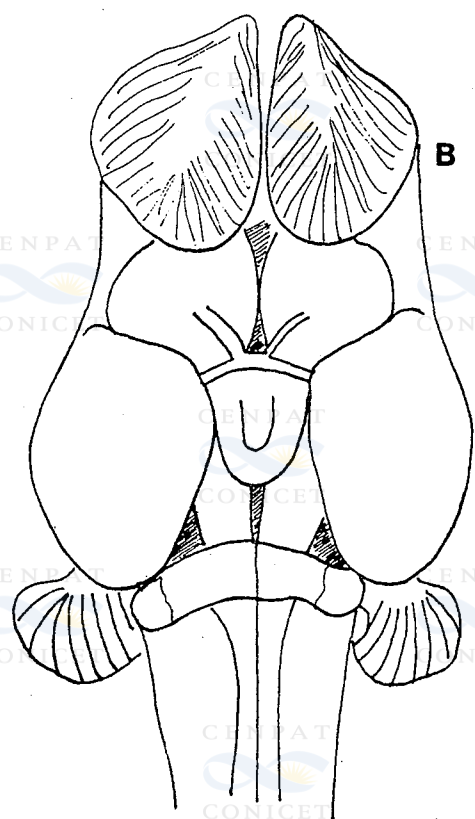
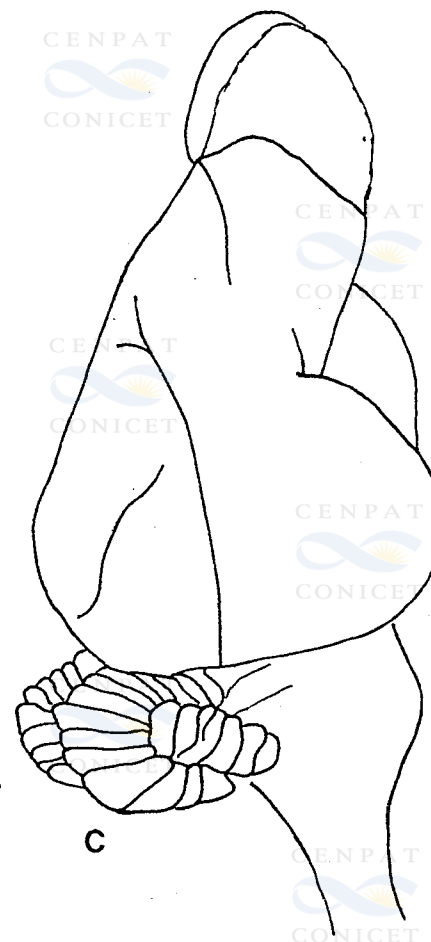
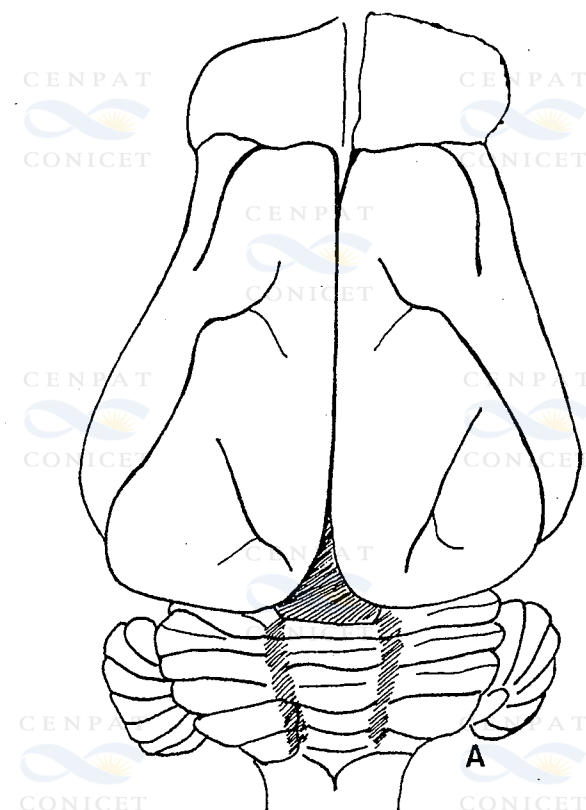


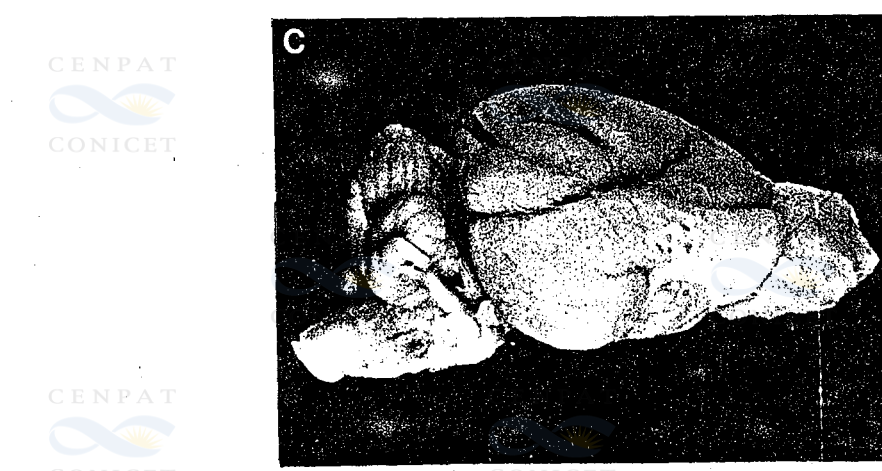
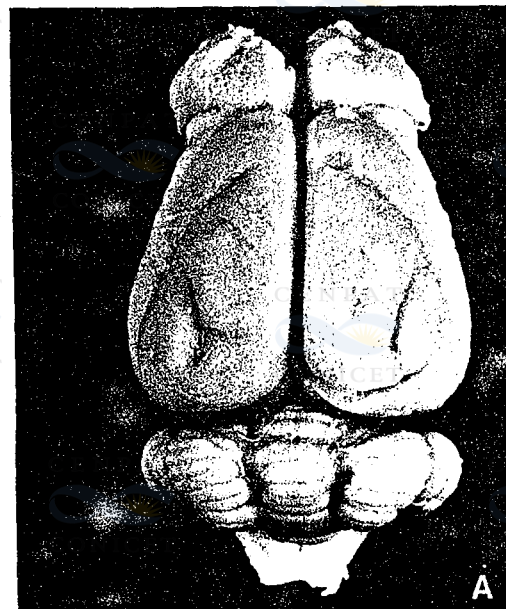
A

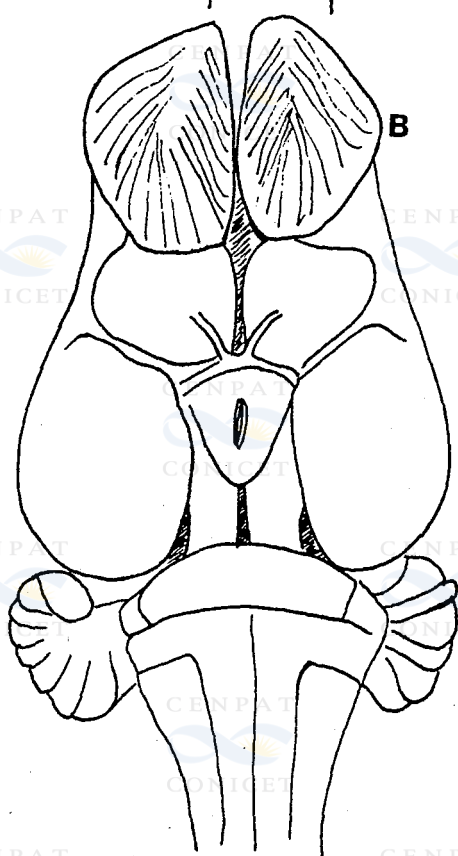
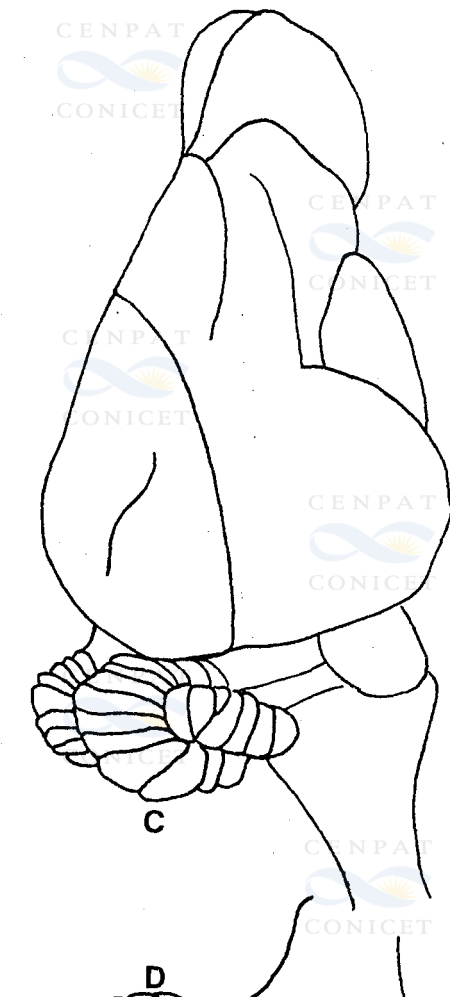
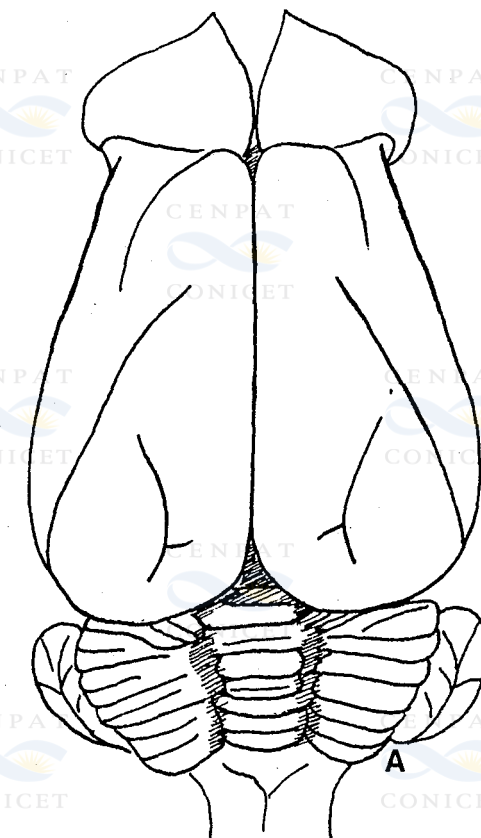


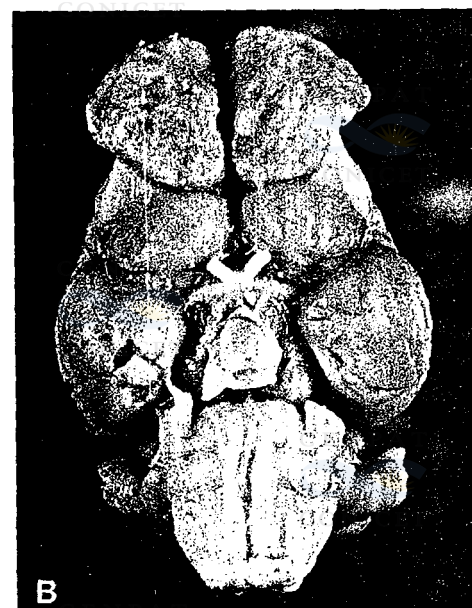
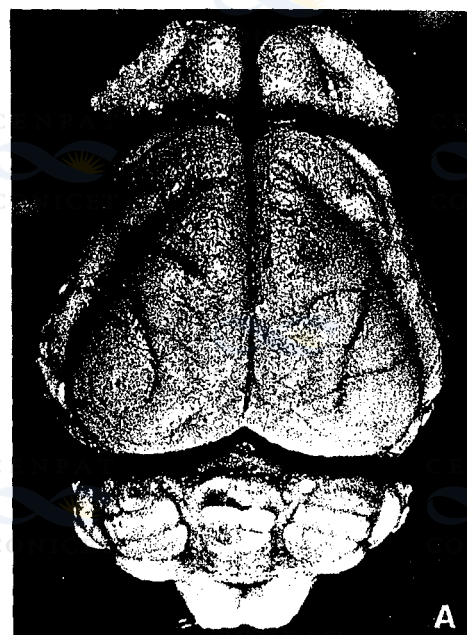
B

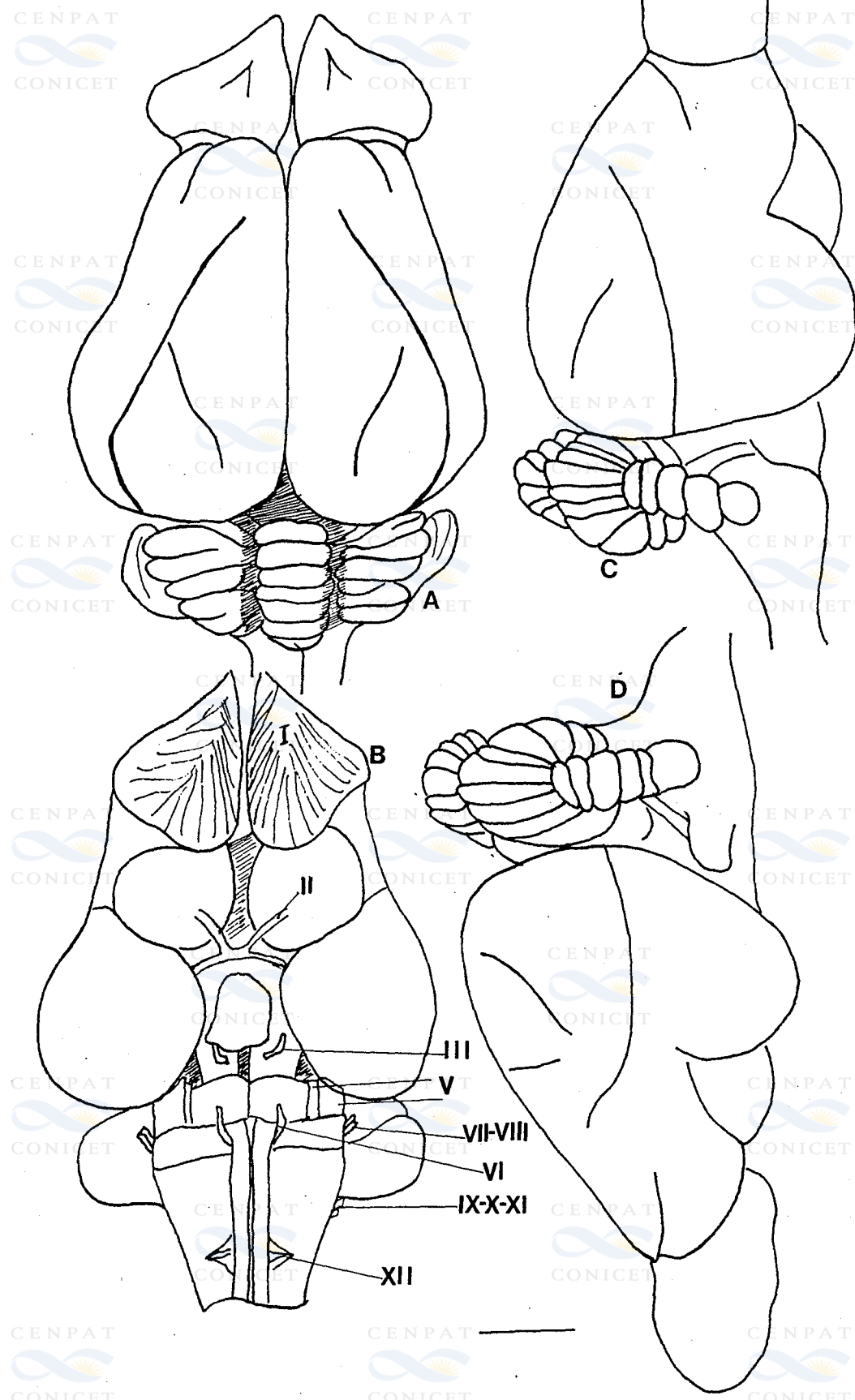


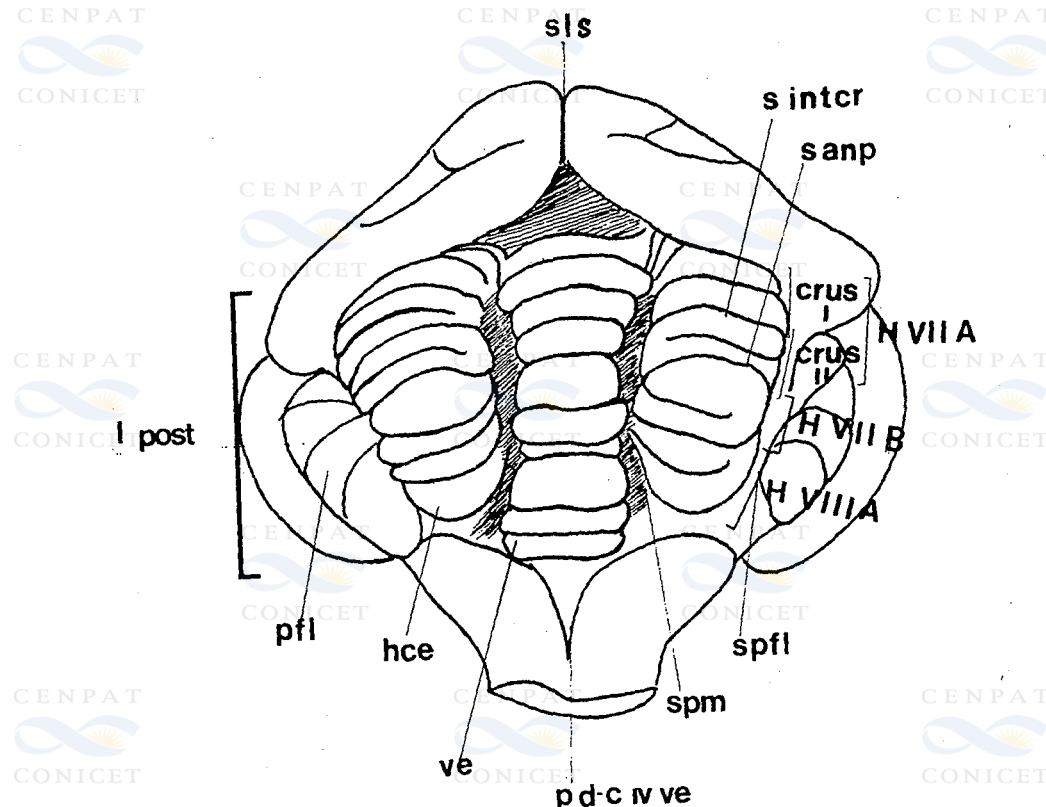


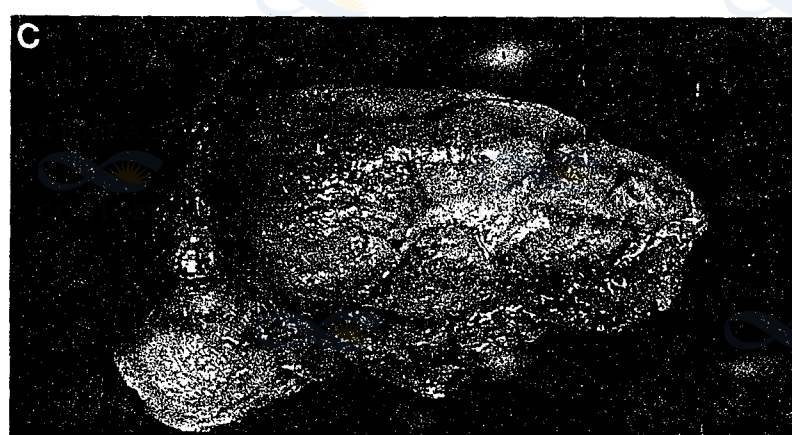
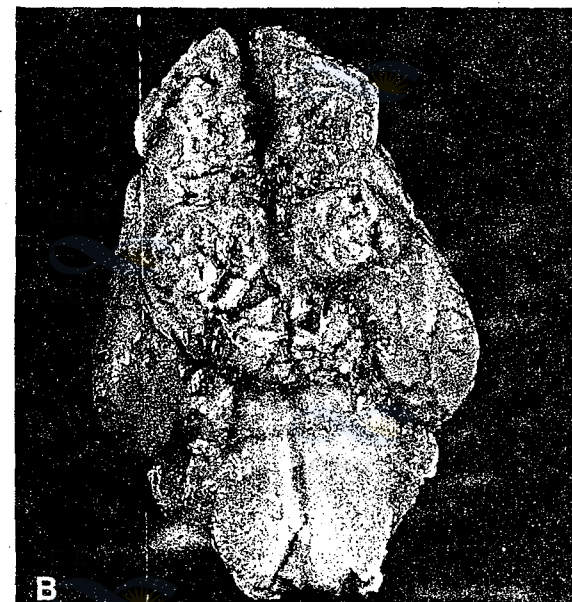
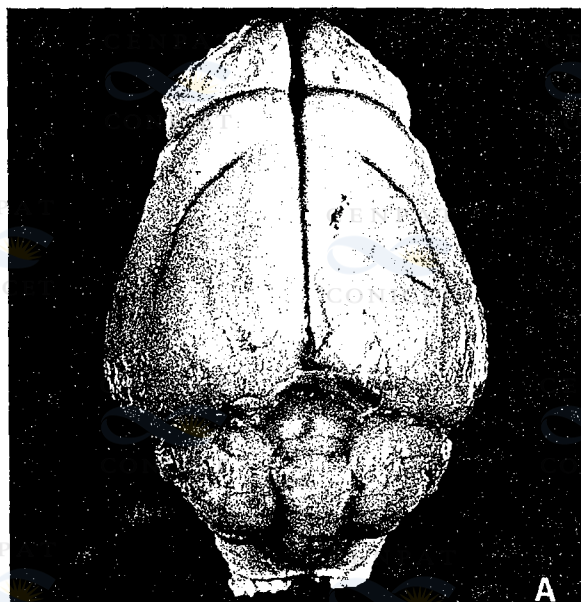


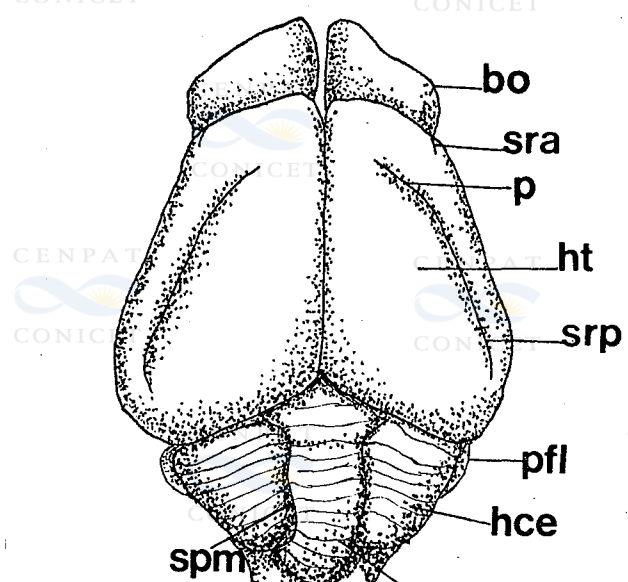
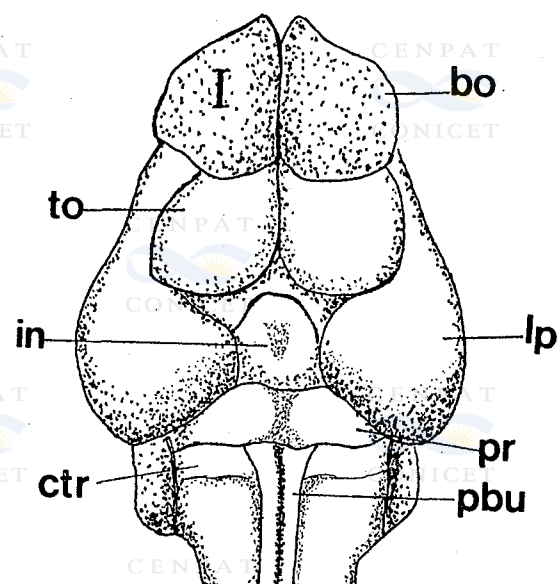
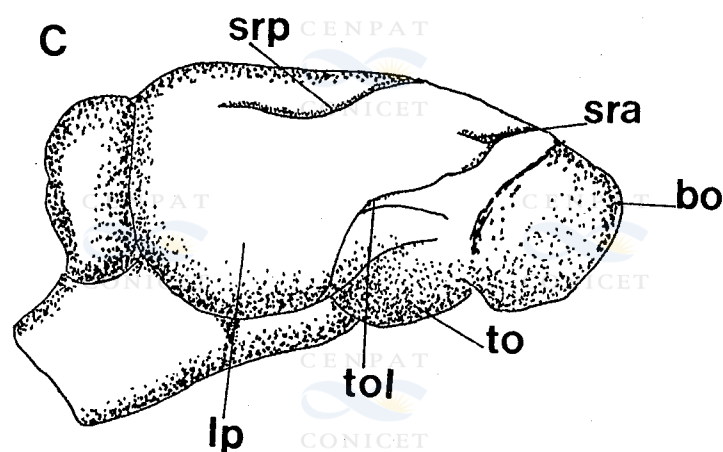


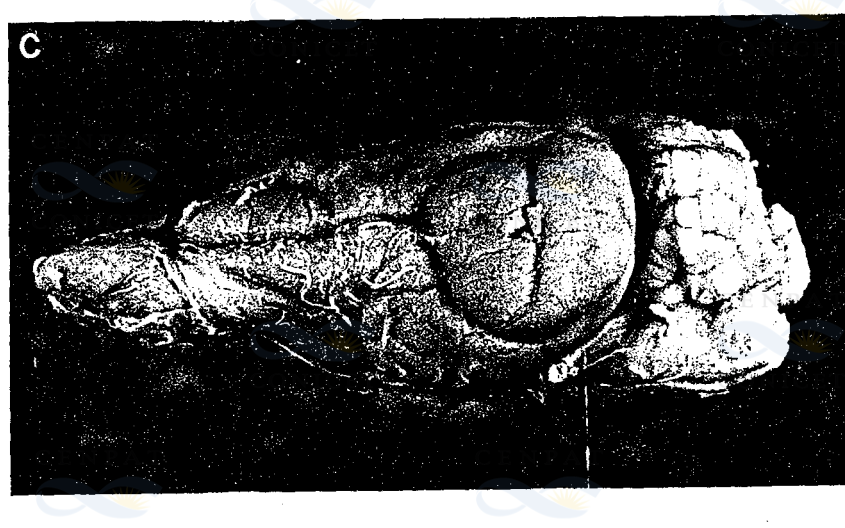
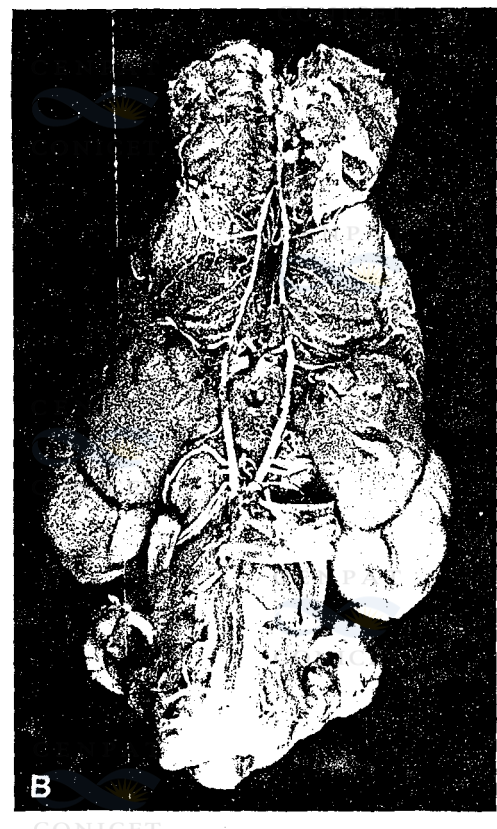


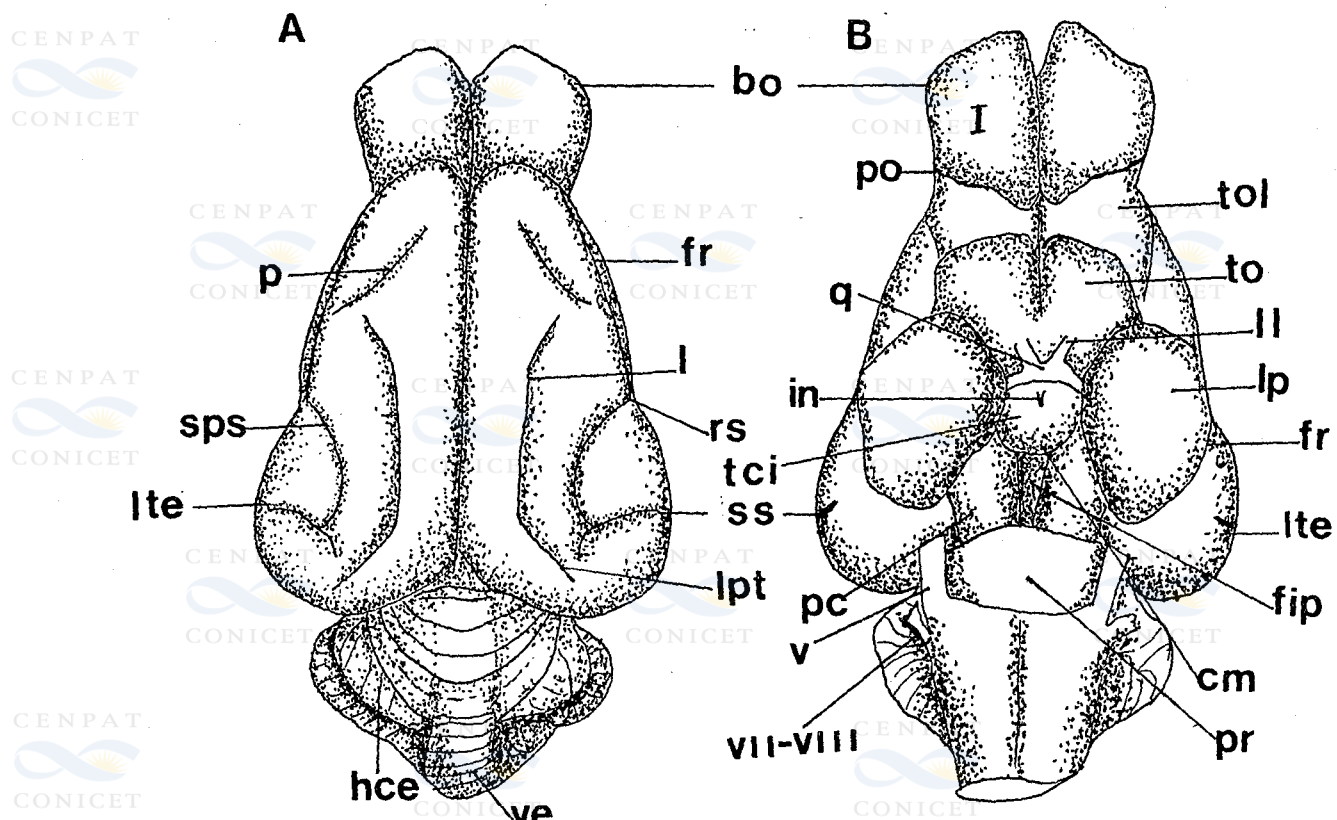






A**B****C**



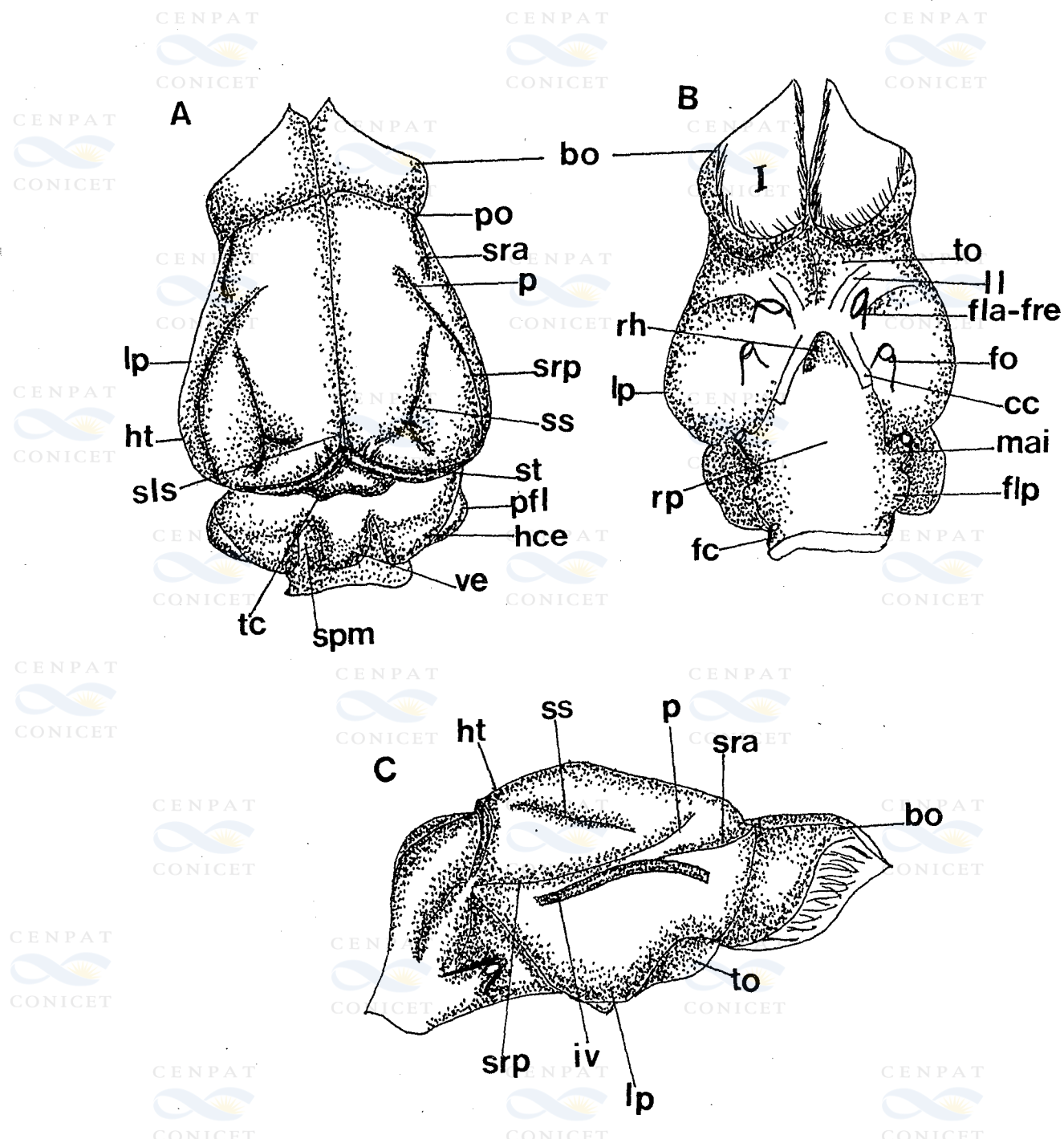




A



B





A

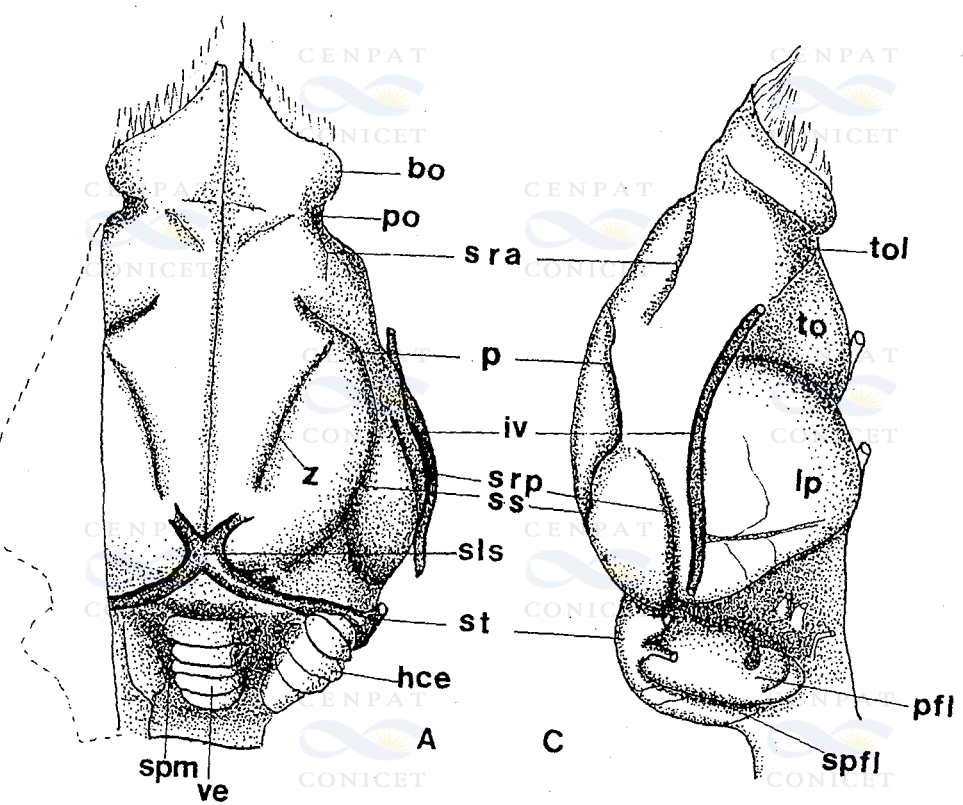


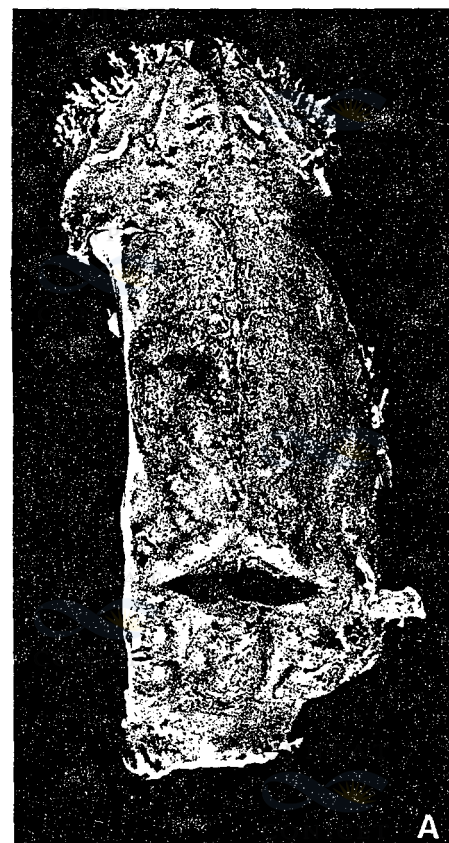
B

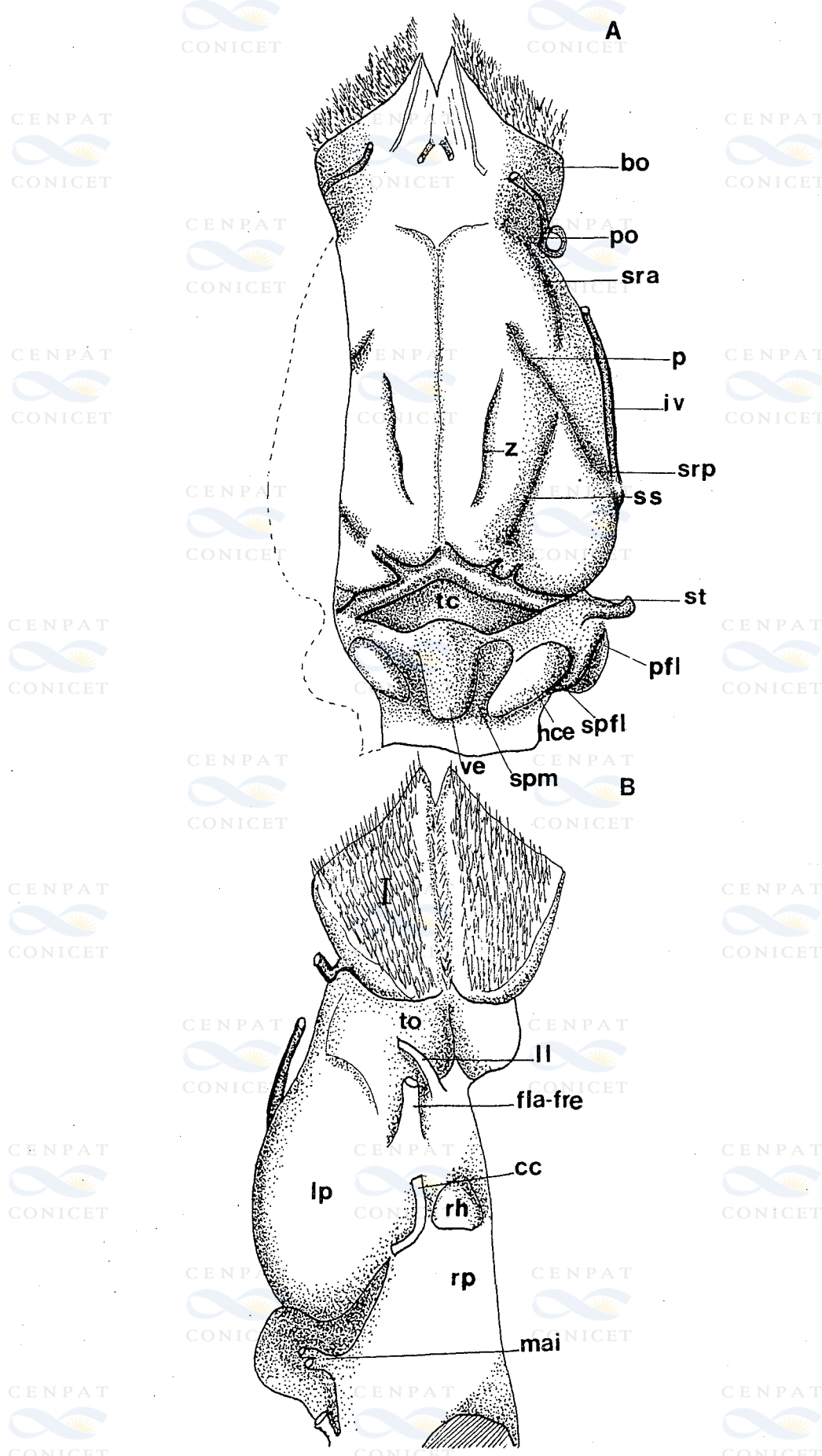


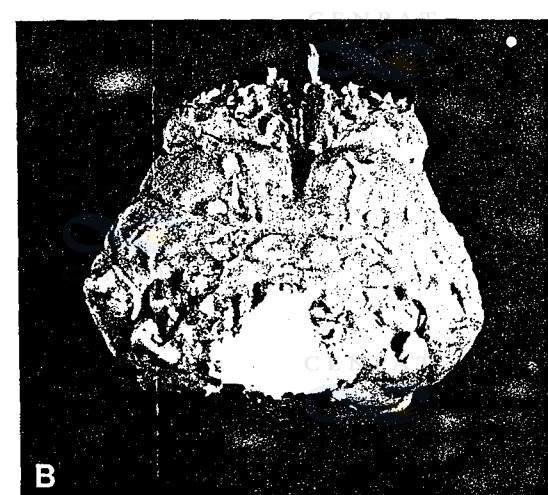
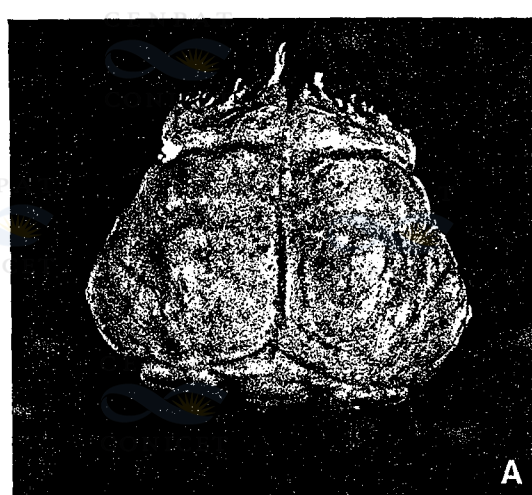
C

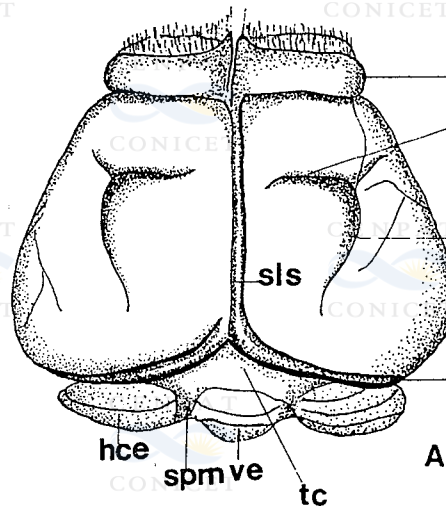




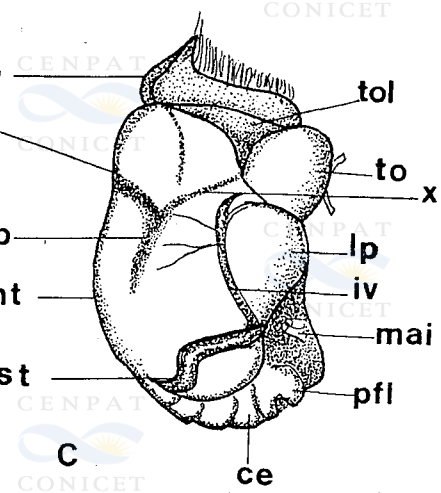




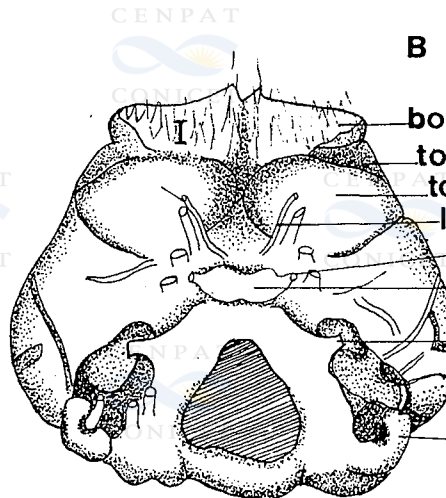




A



C

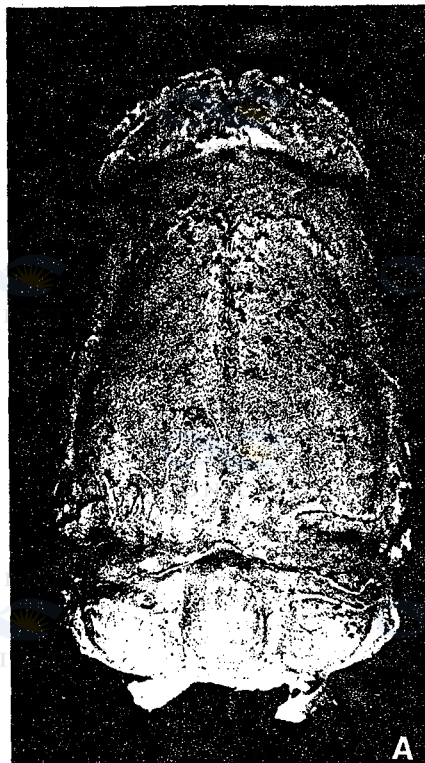


B

D

CENPAT
CONICET





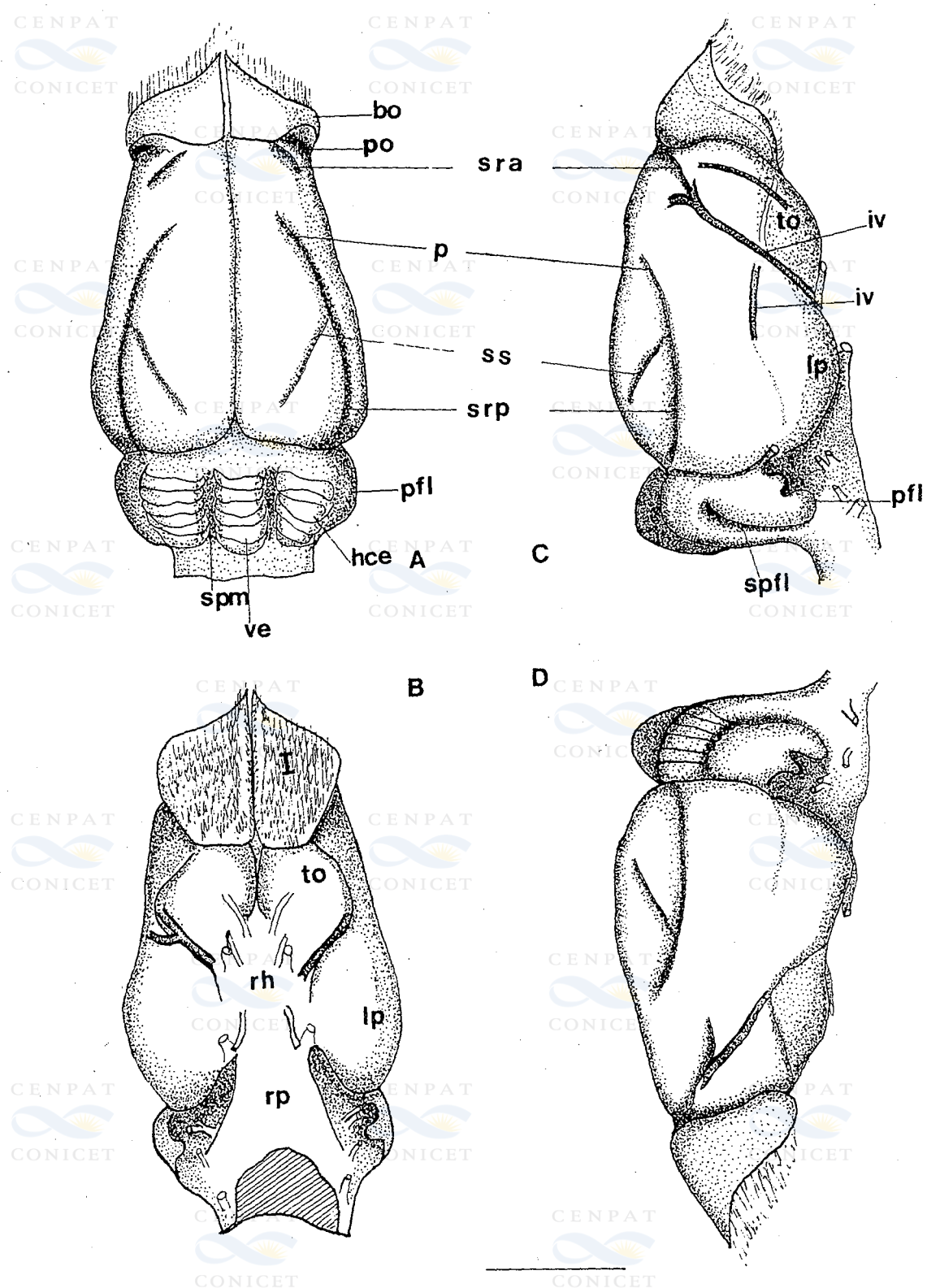
A

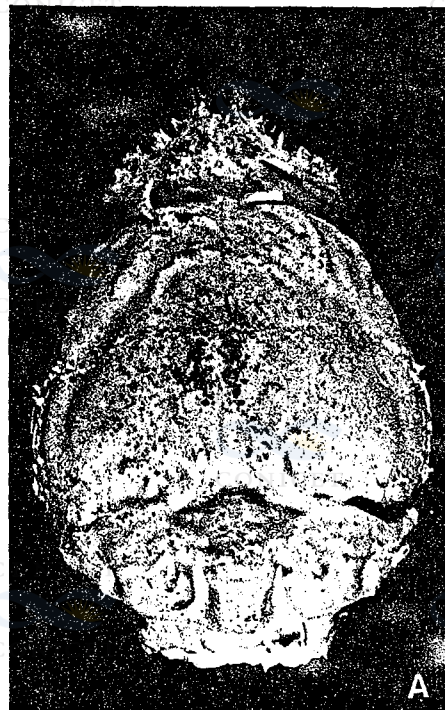


B



C



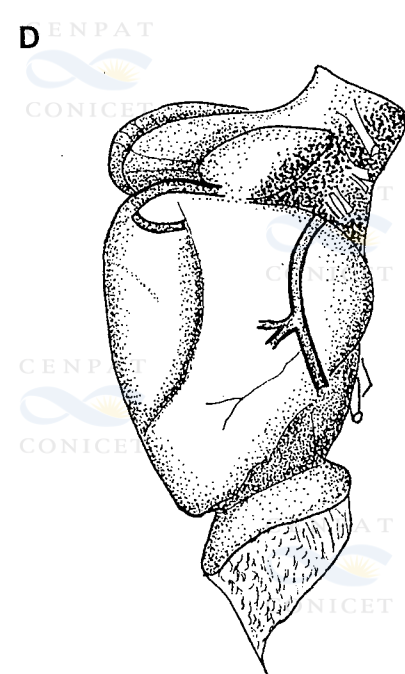
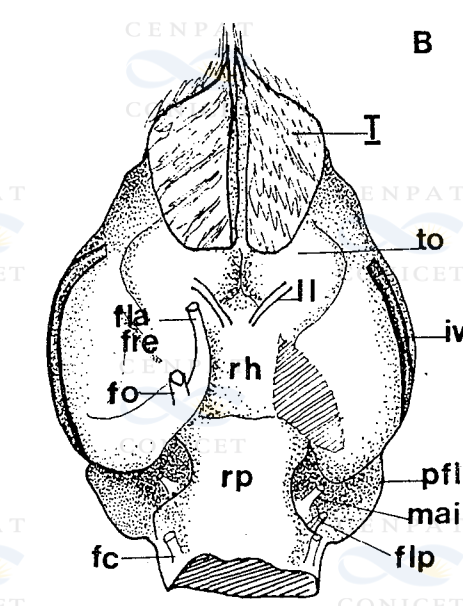
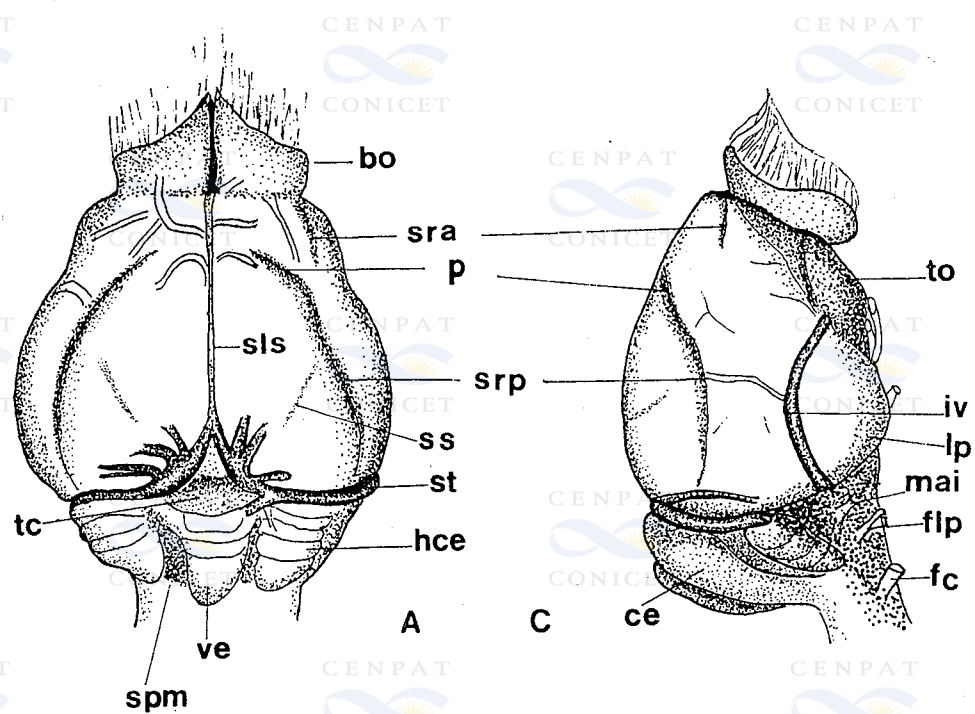


A

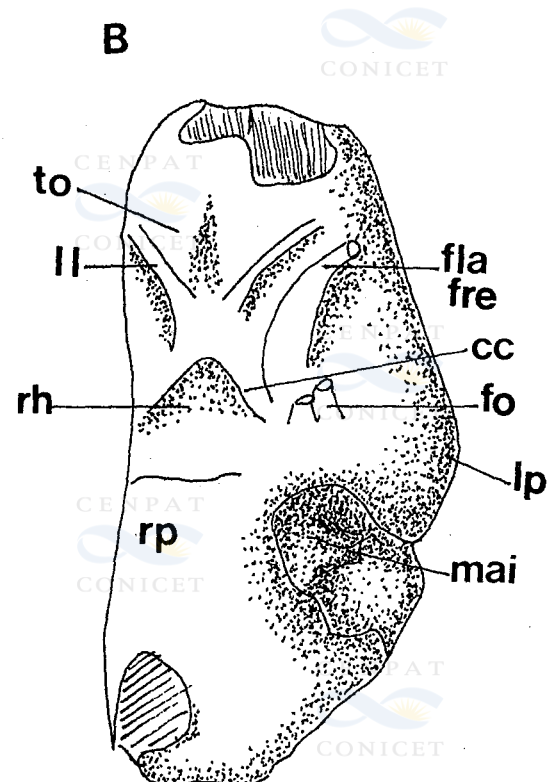
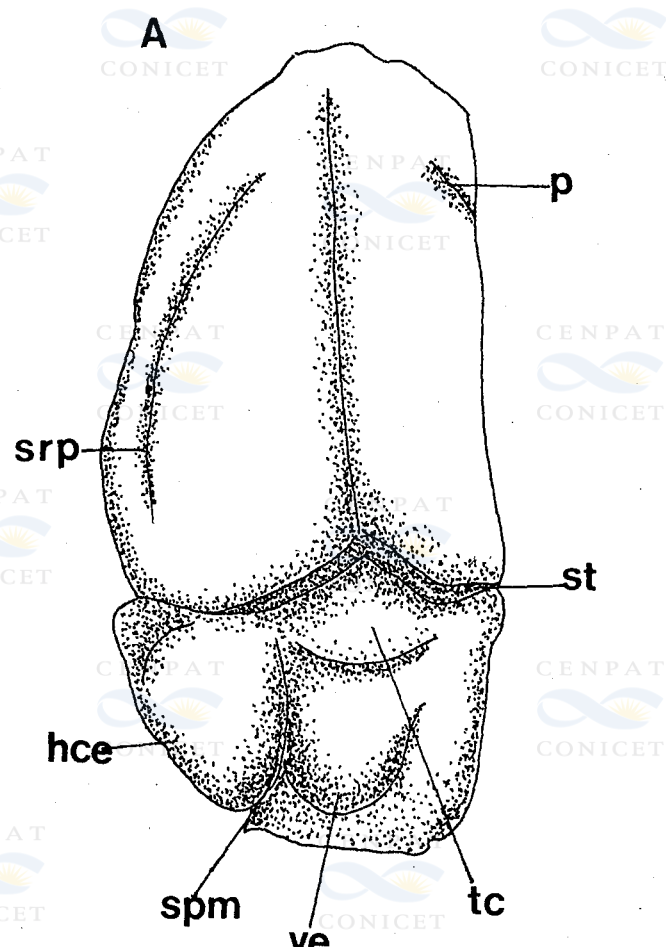


B







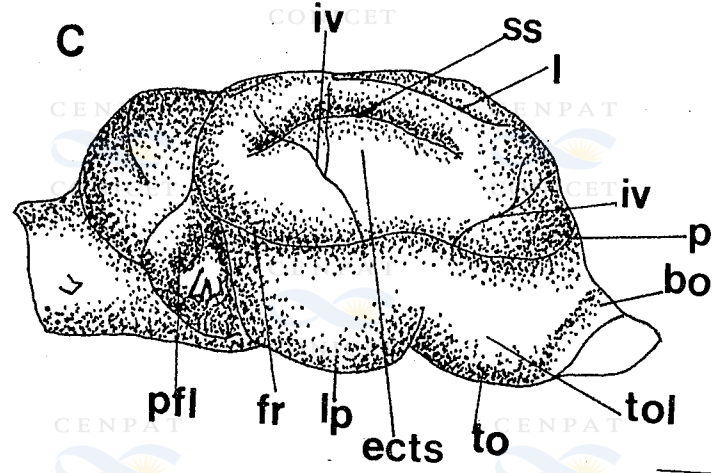
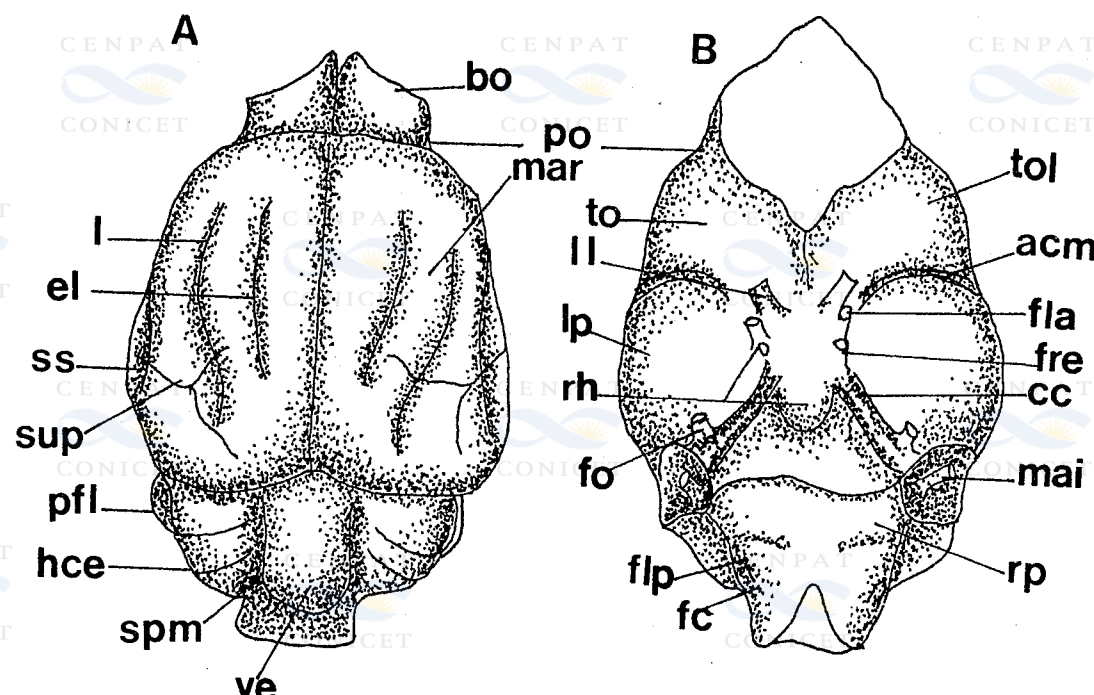


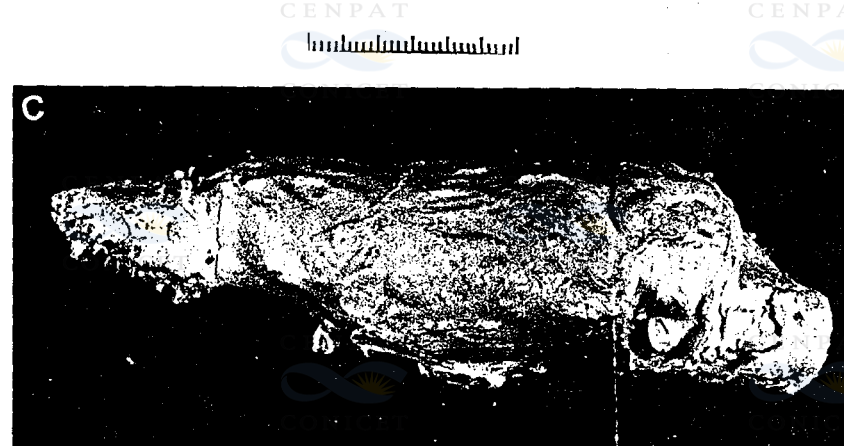
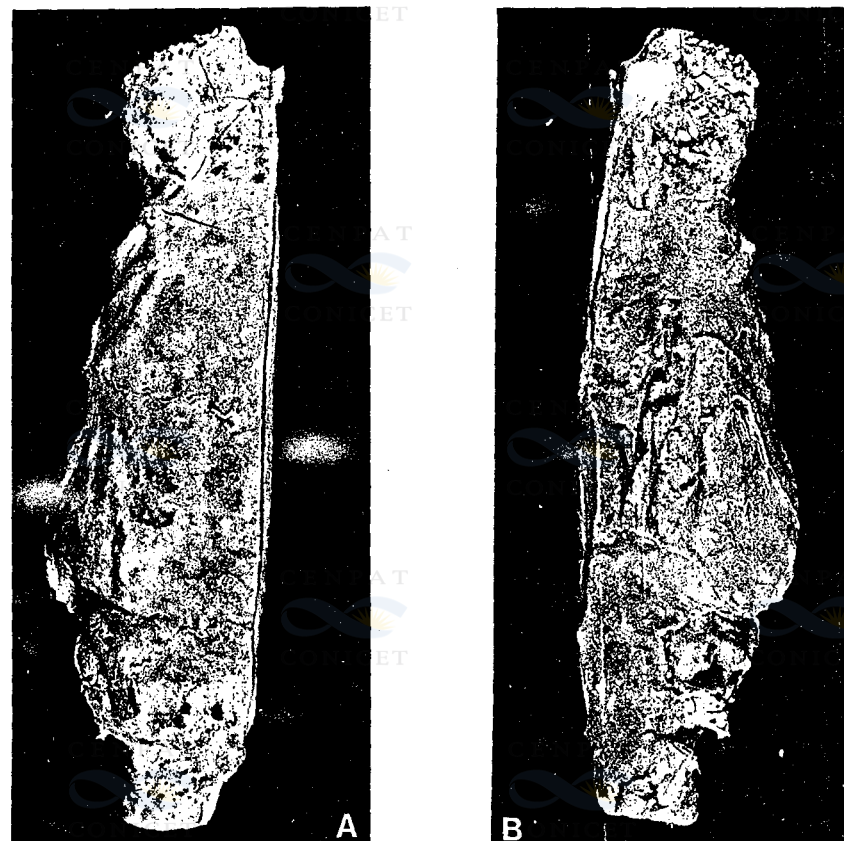


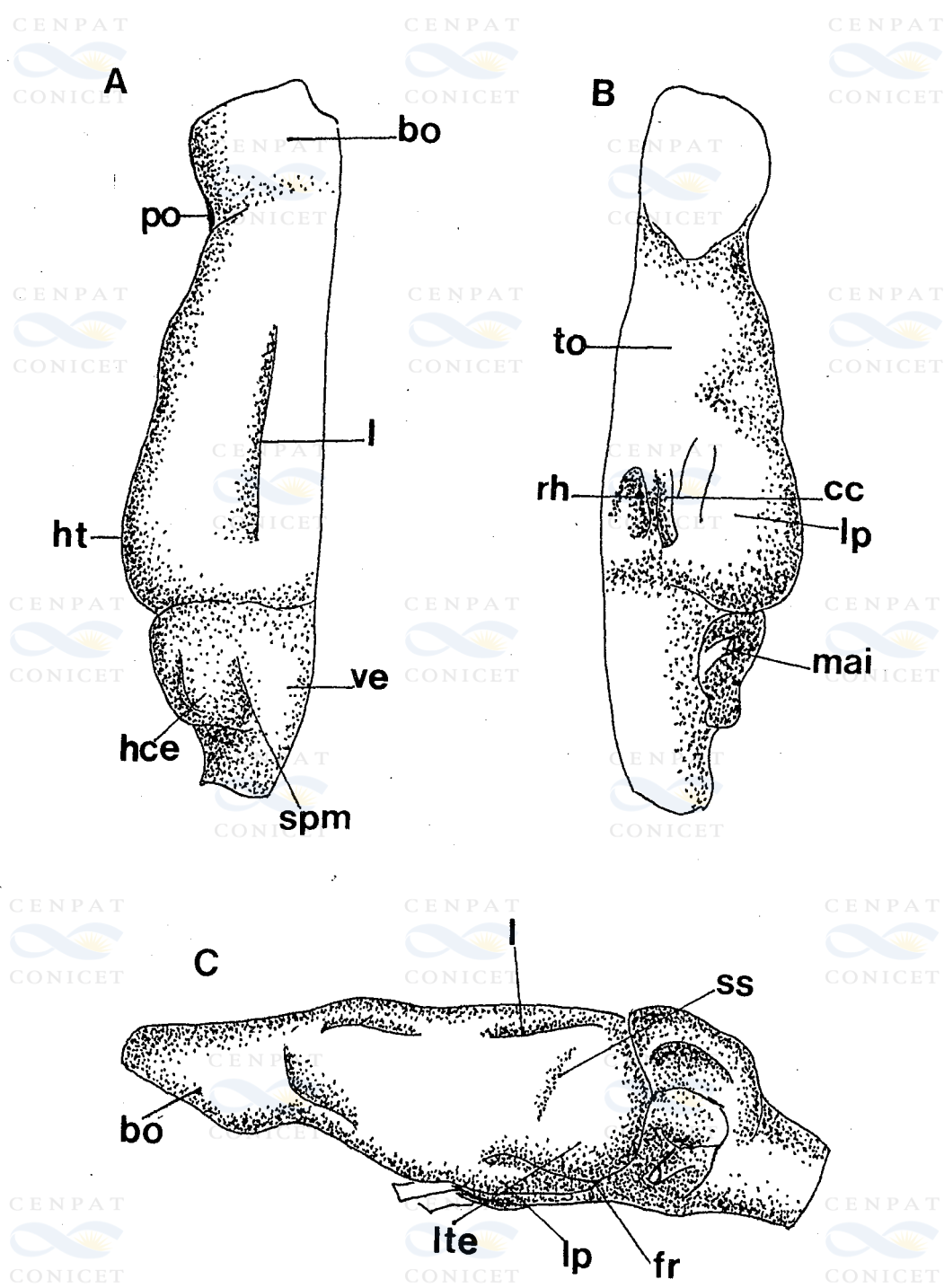
A

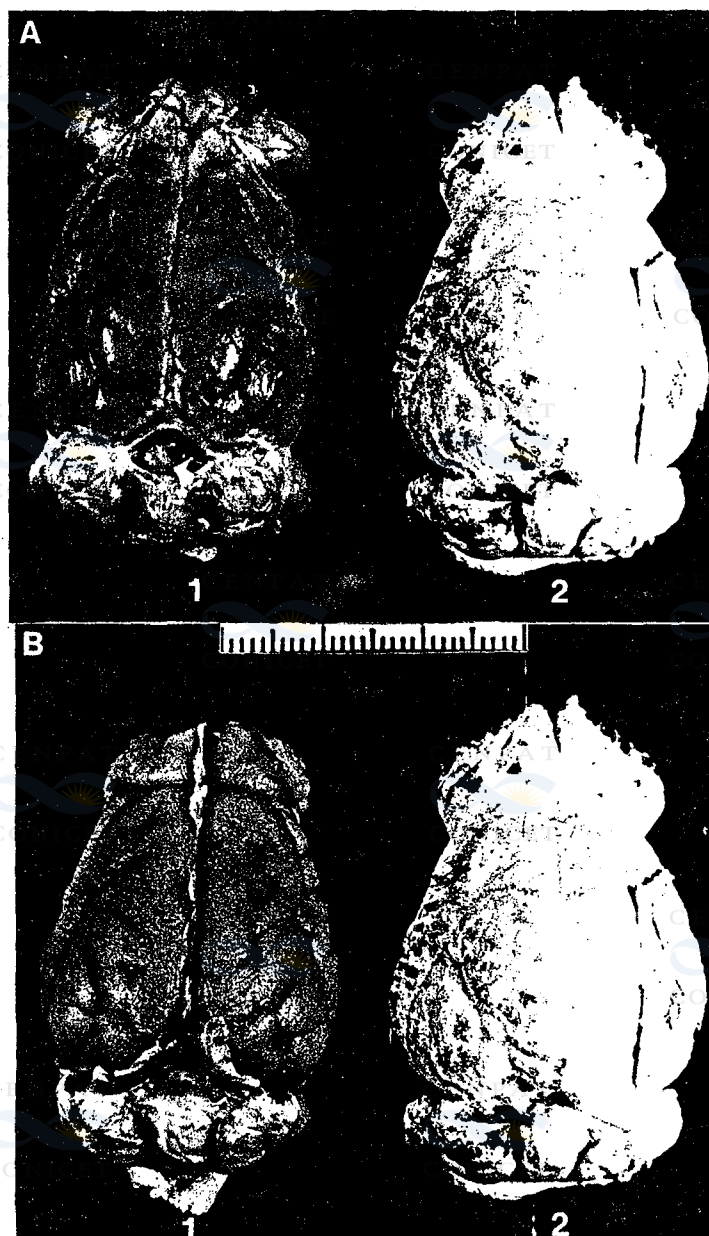


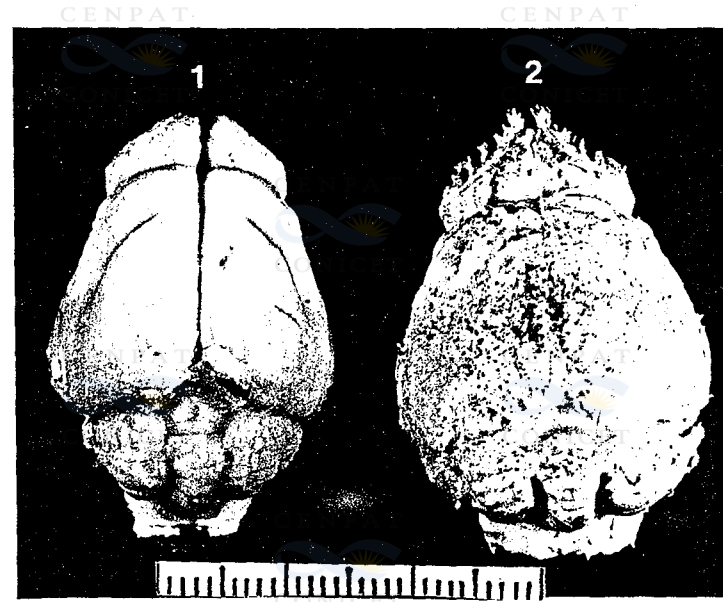
C

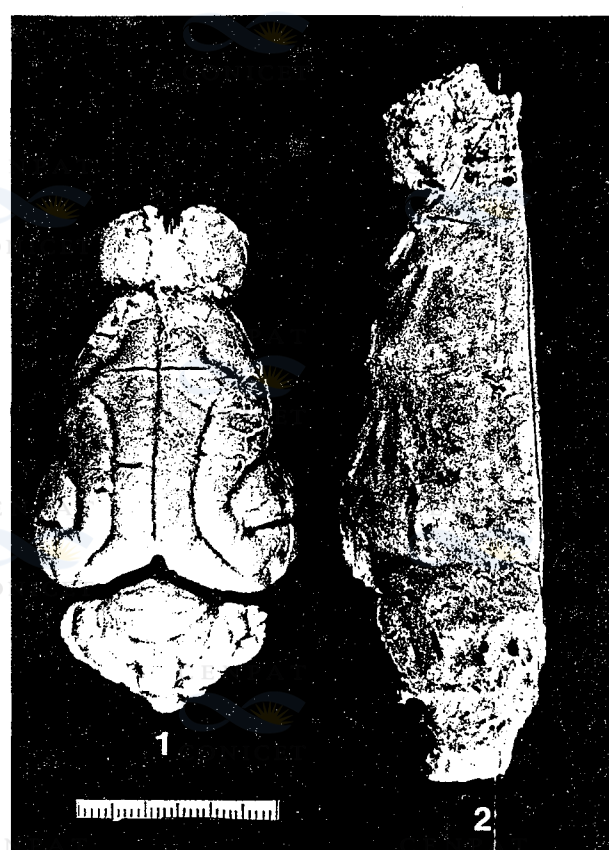


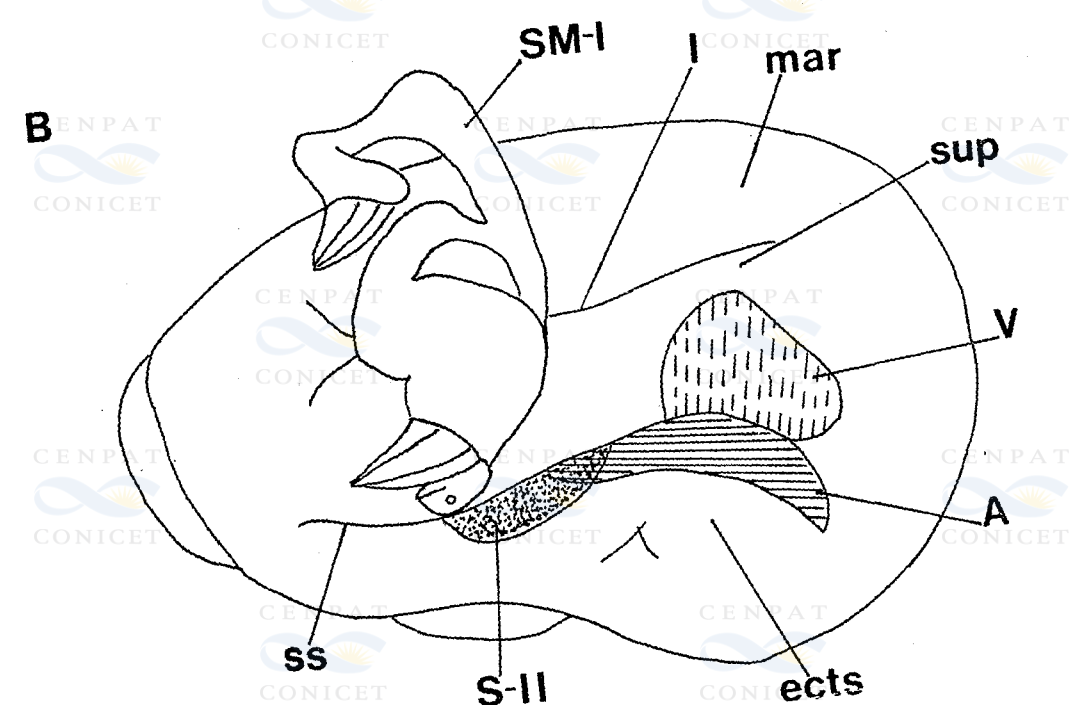
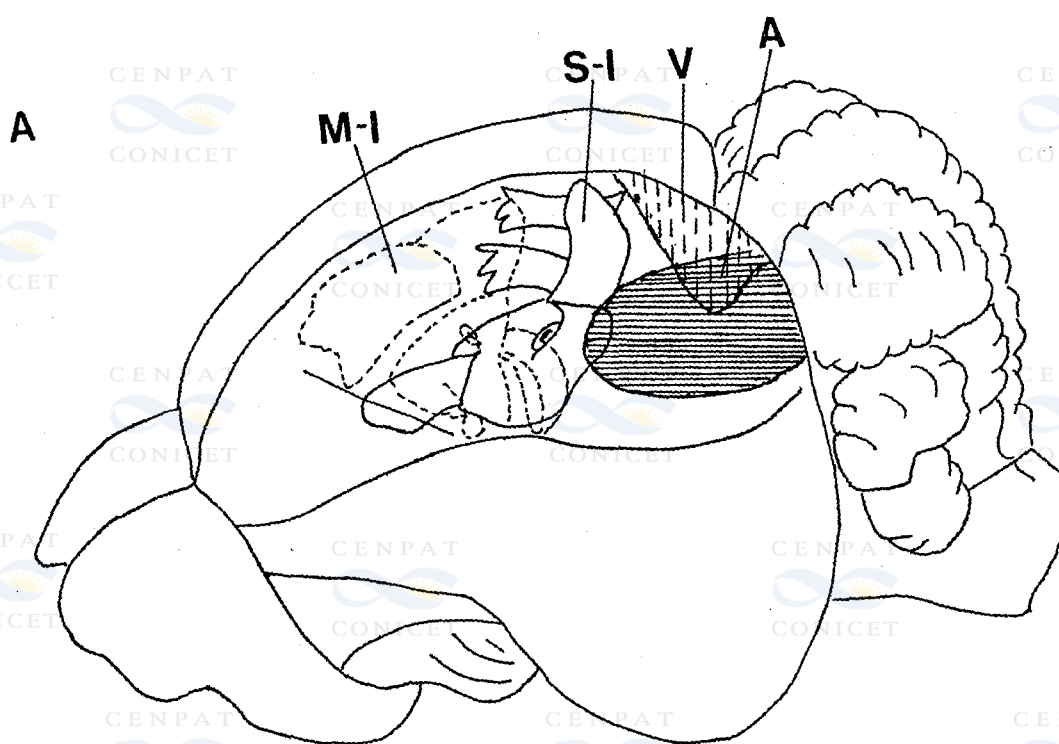


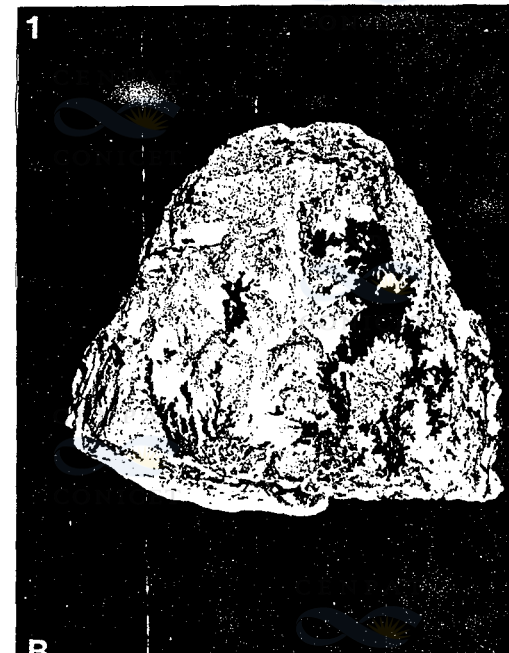
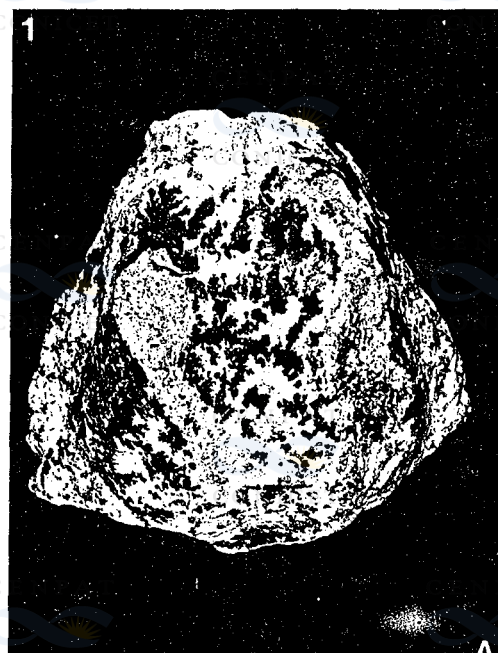




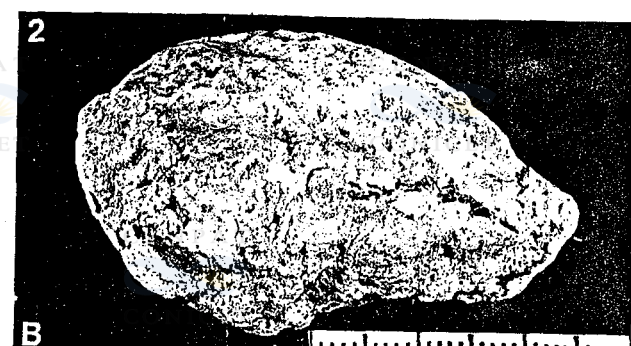
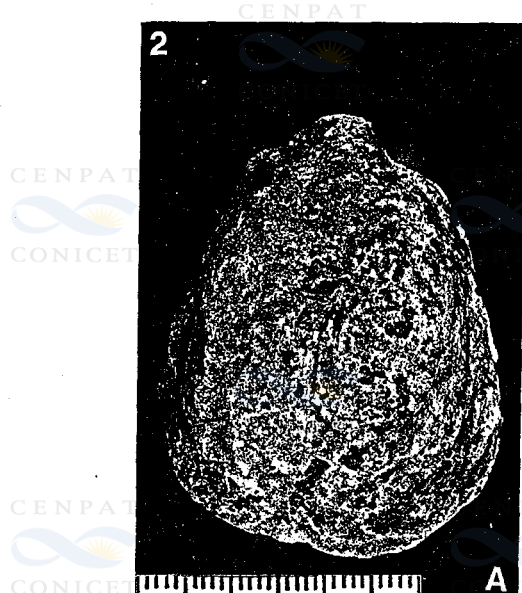


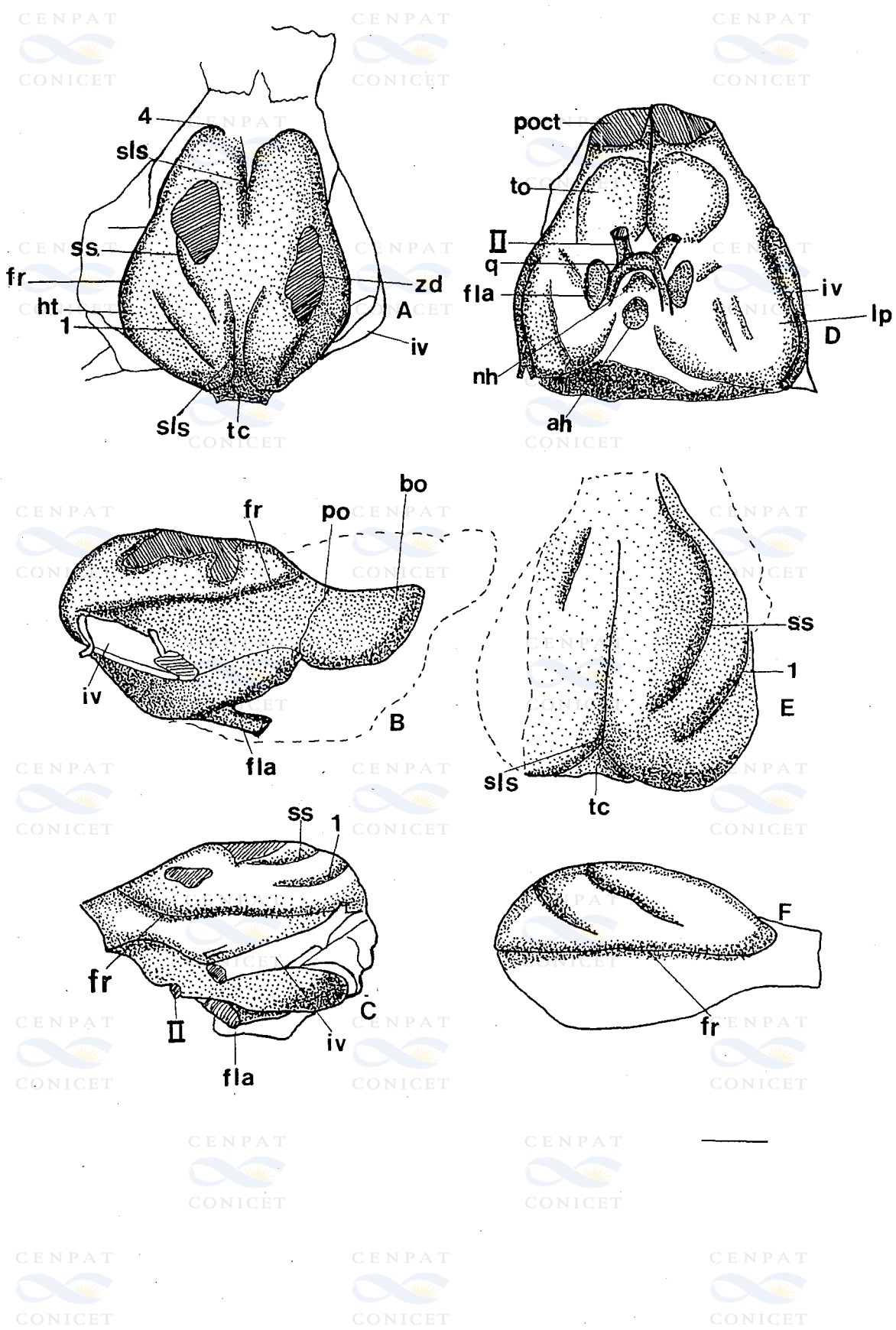


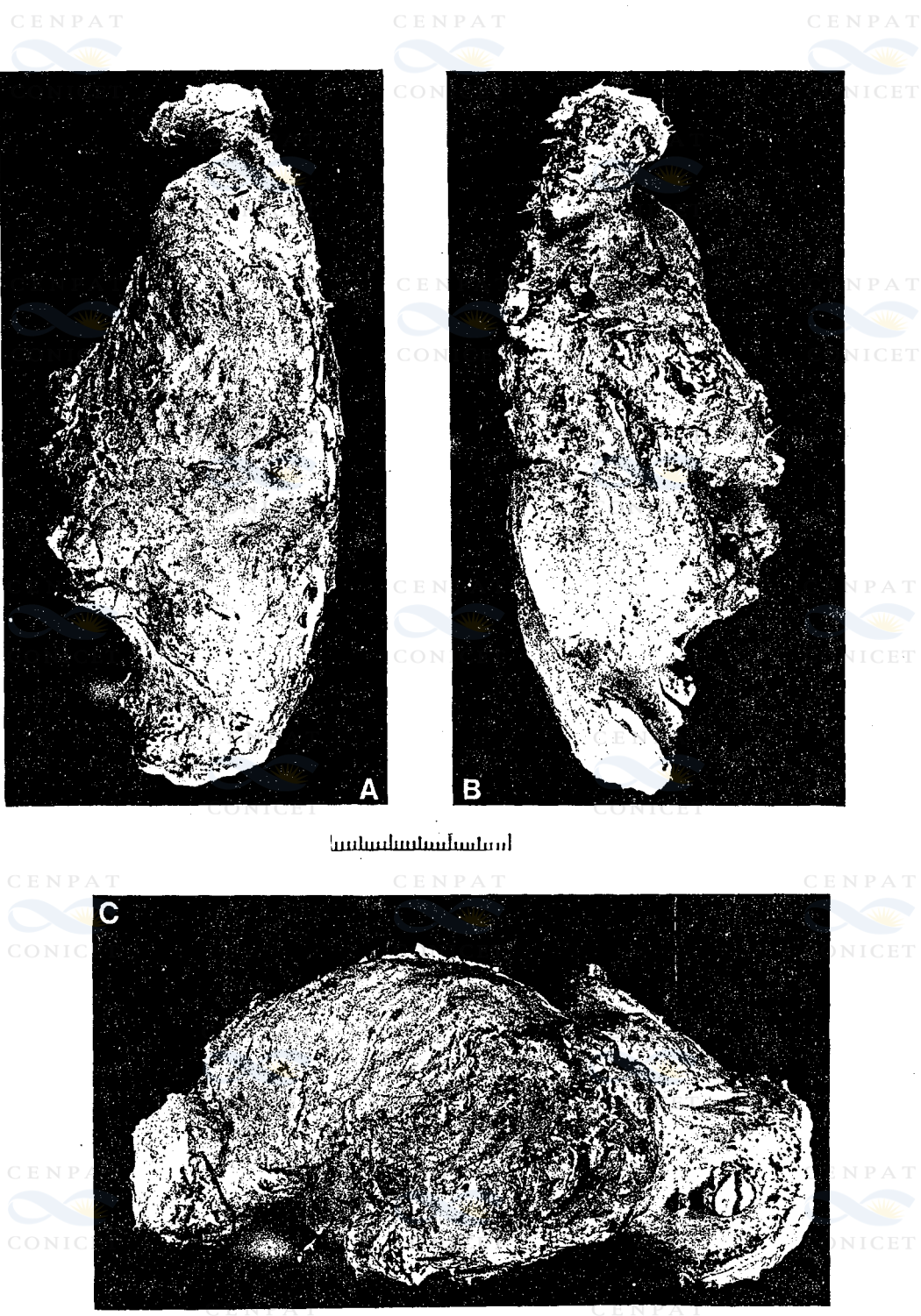


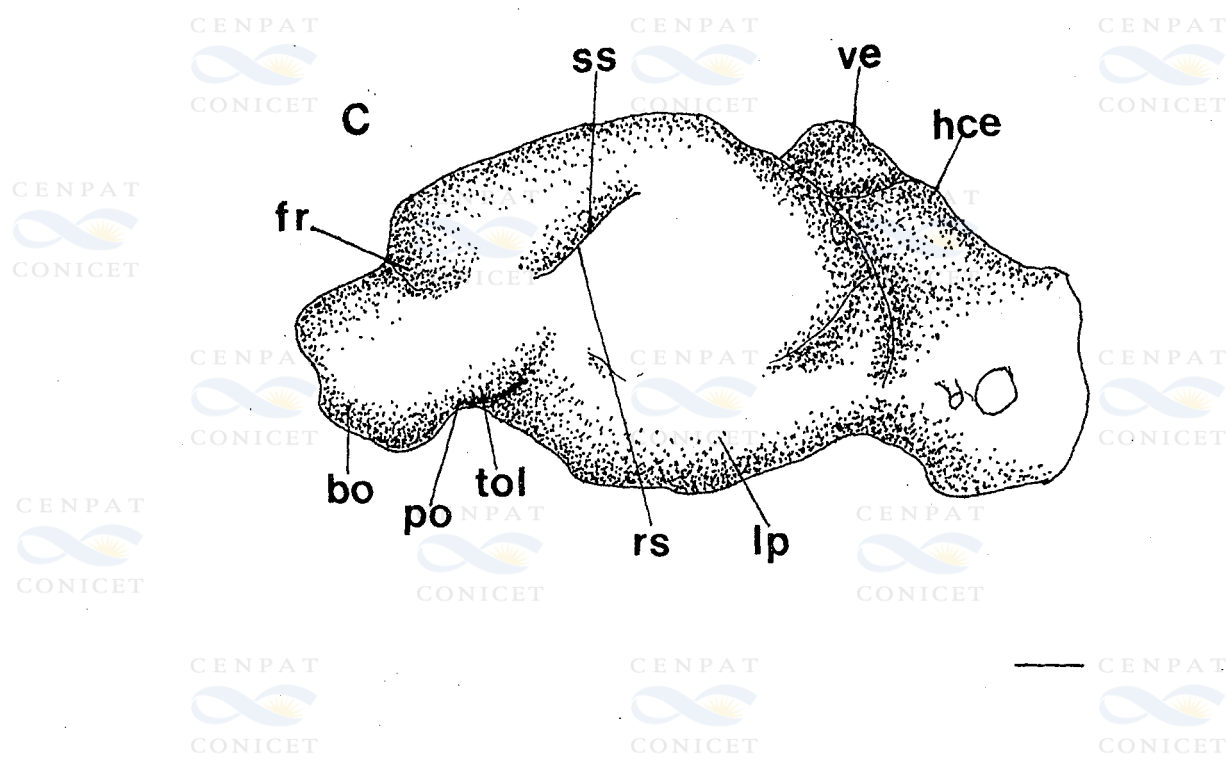
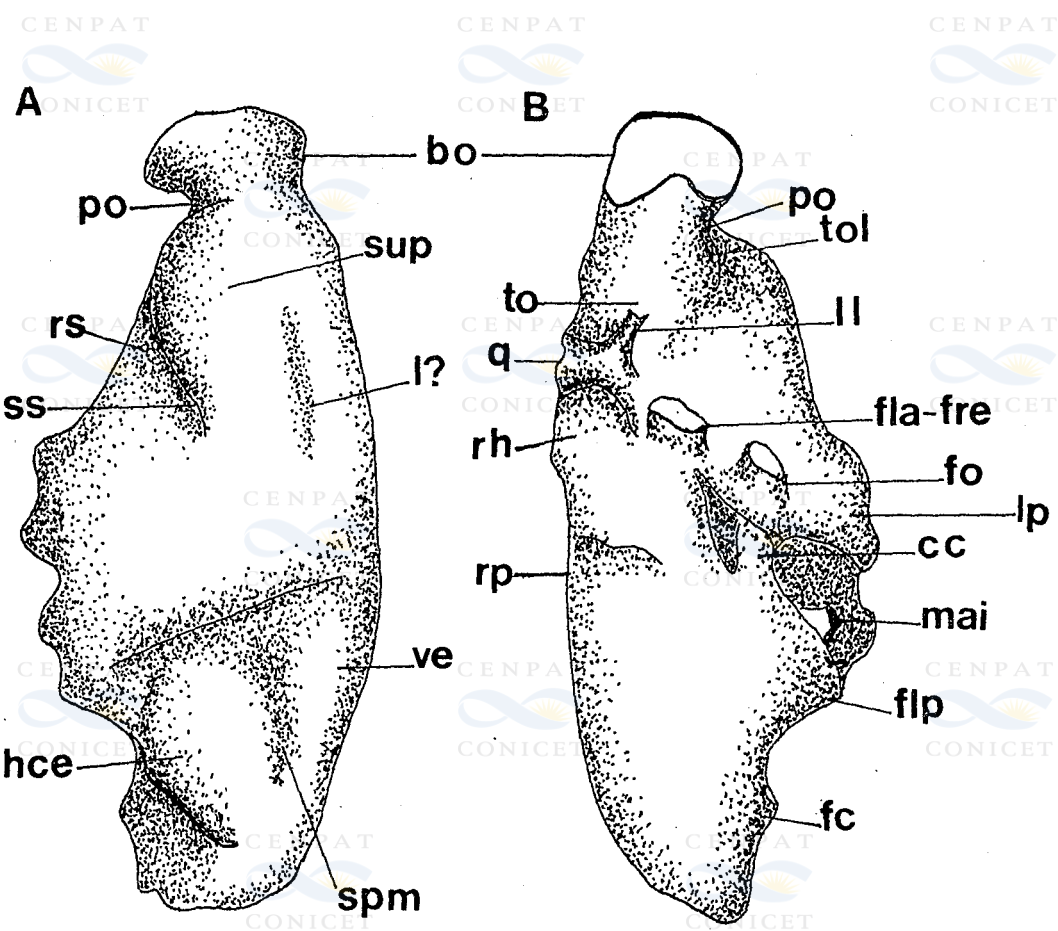


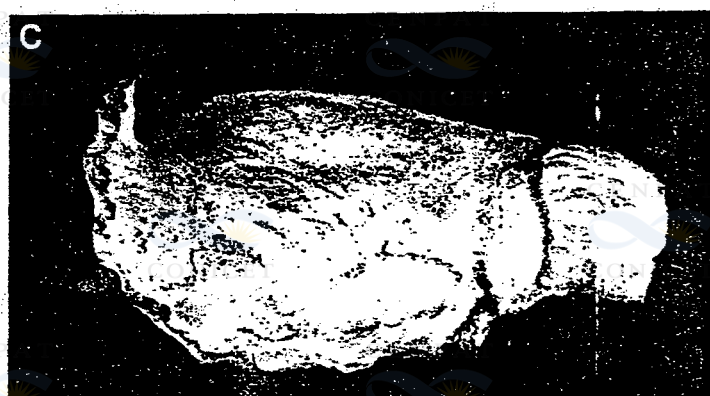
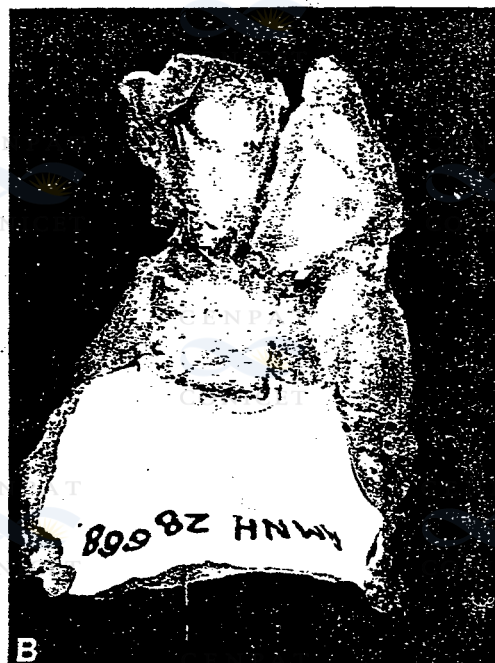
mm

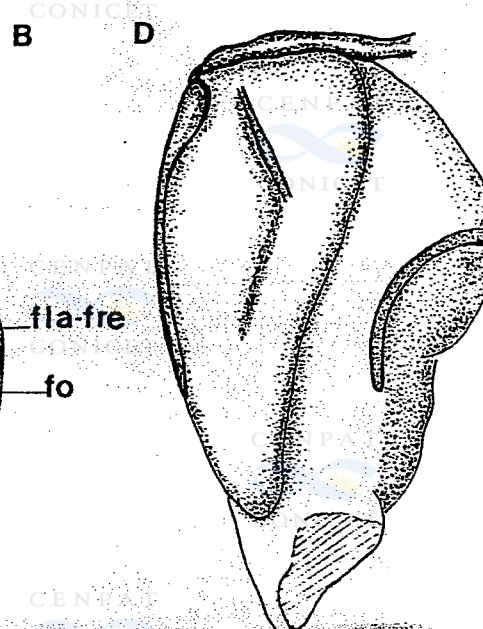
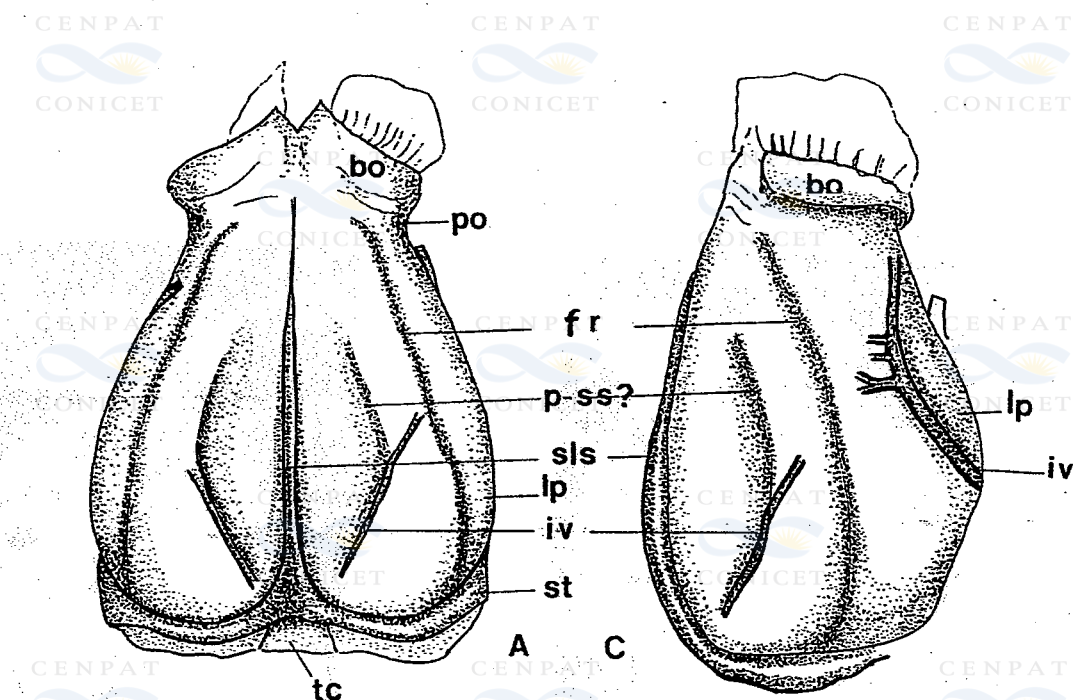




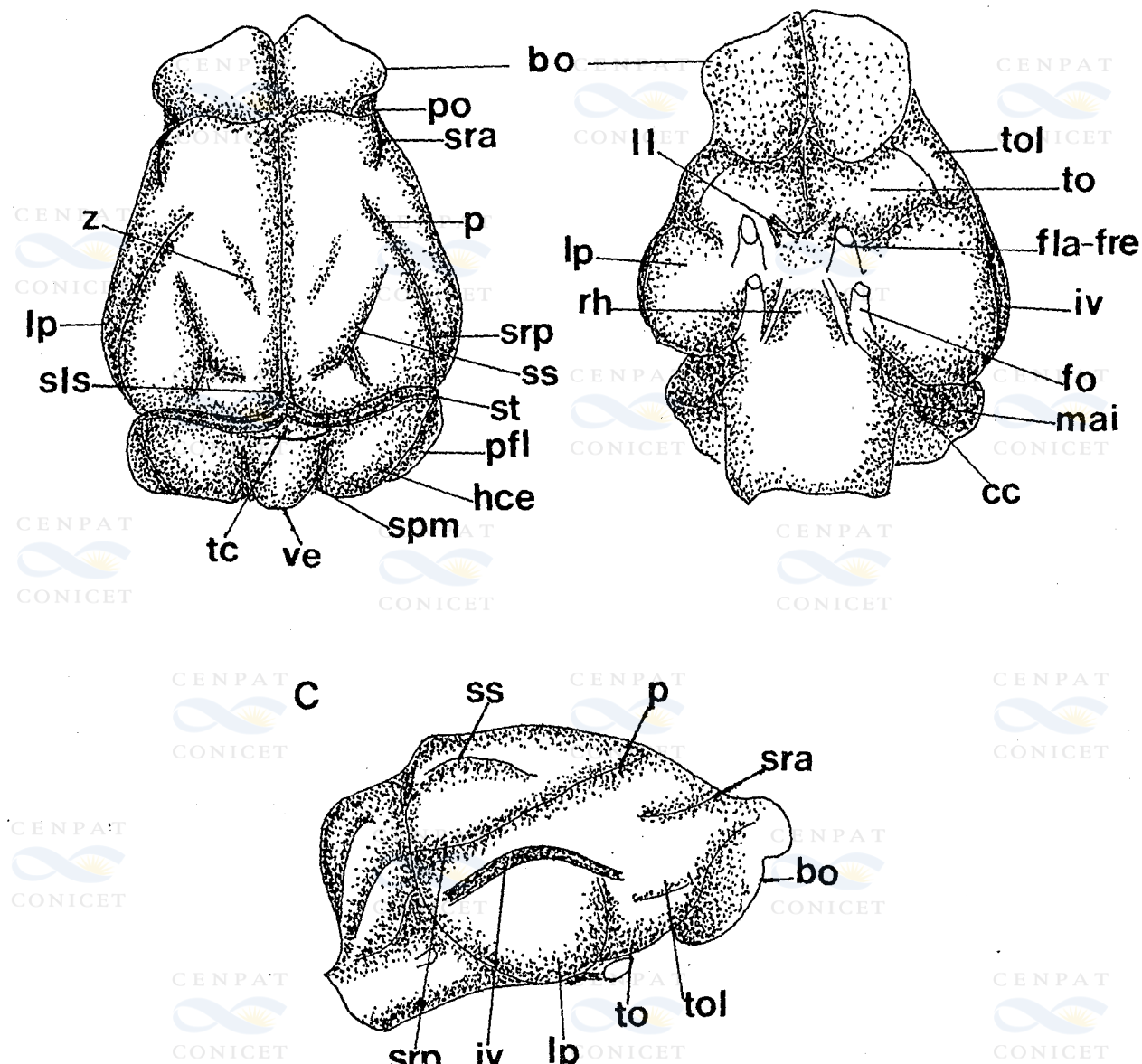




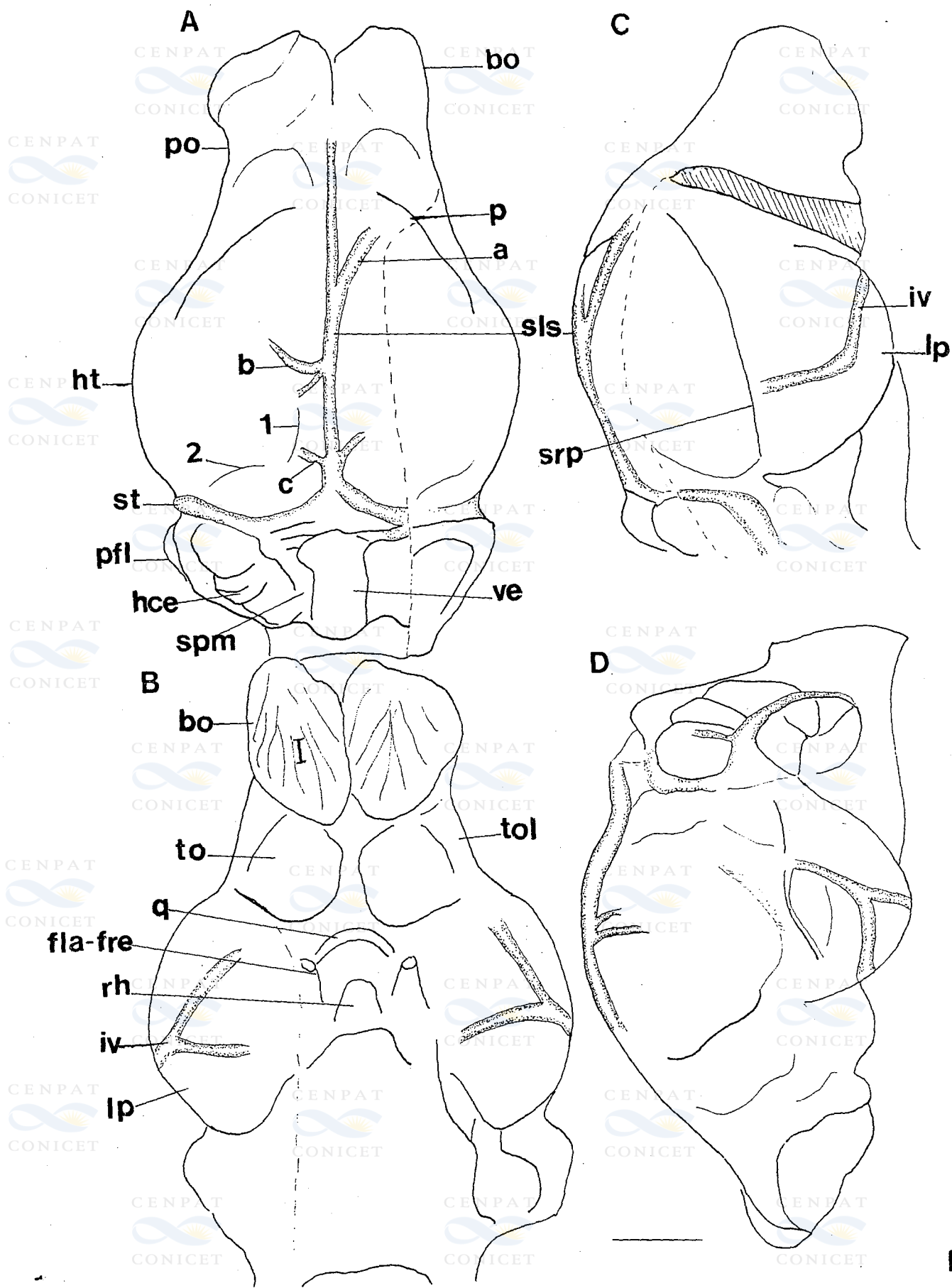


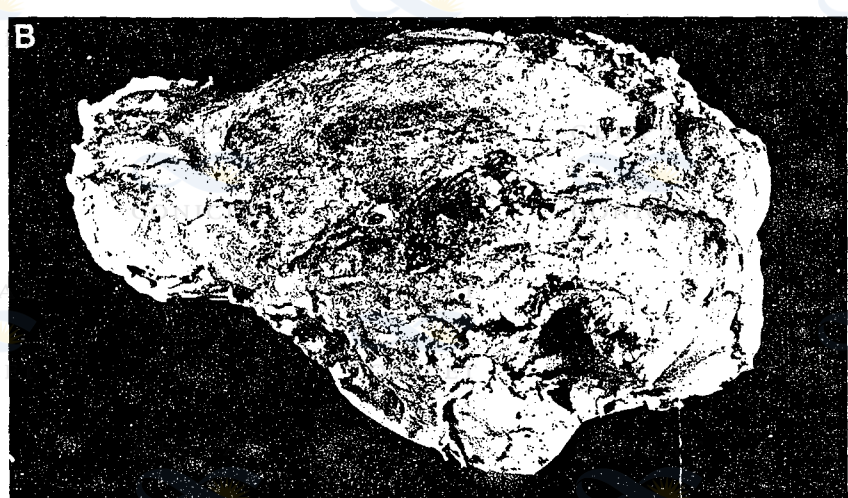
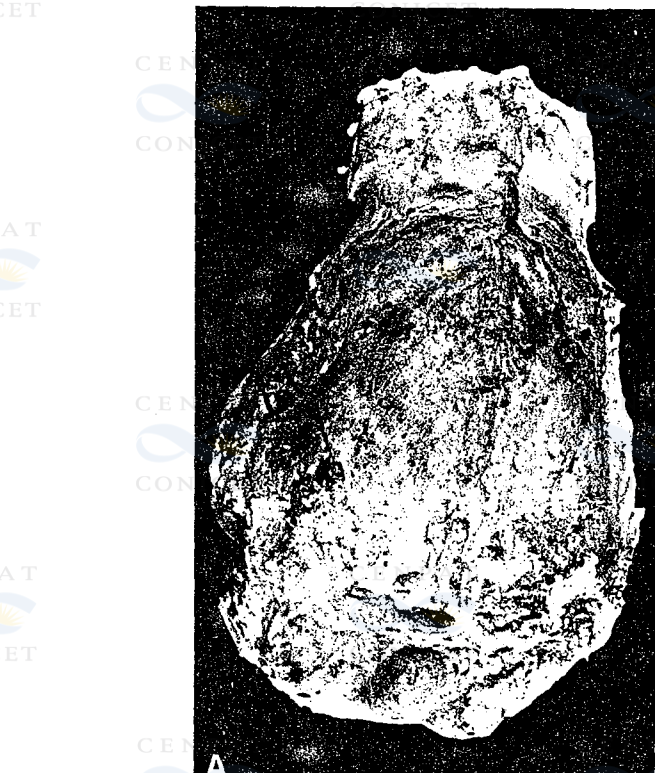
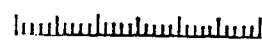


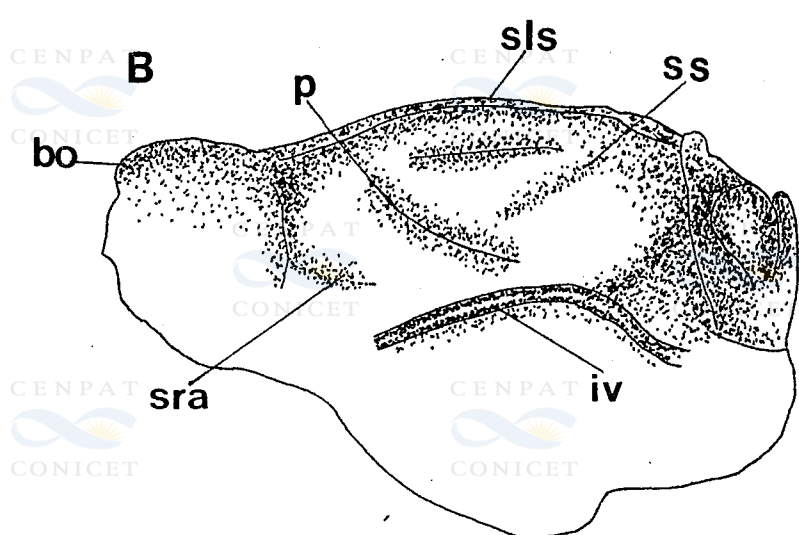
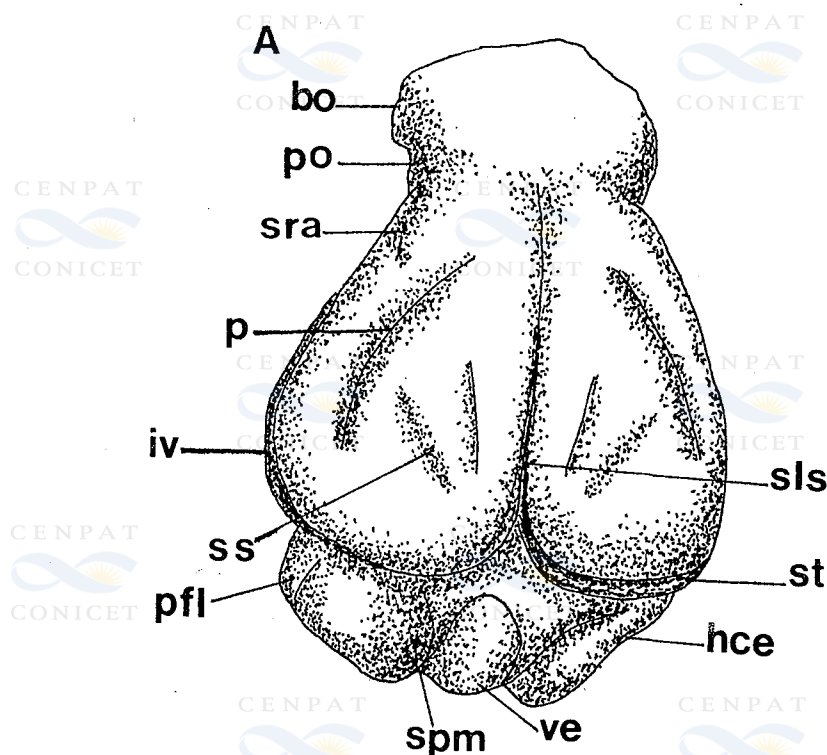






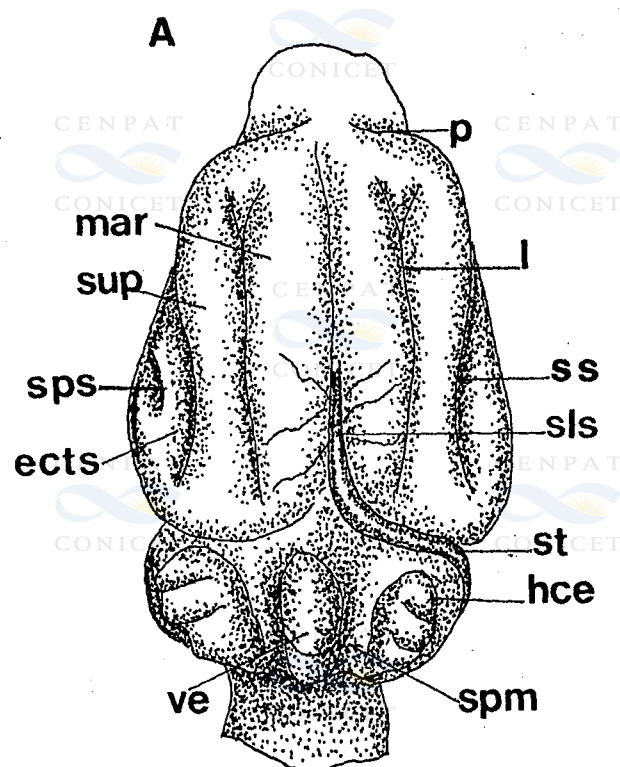








CONICET





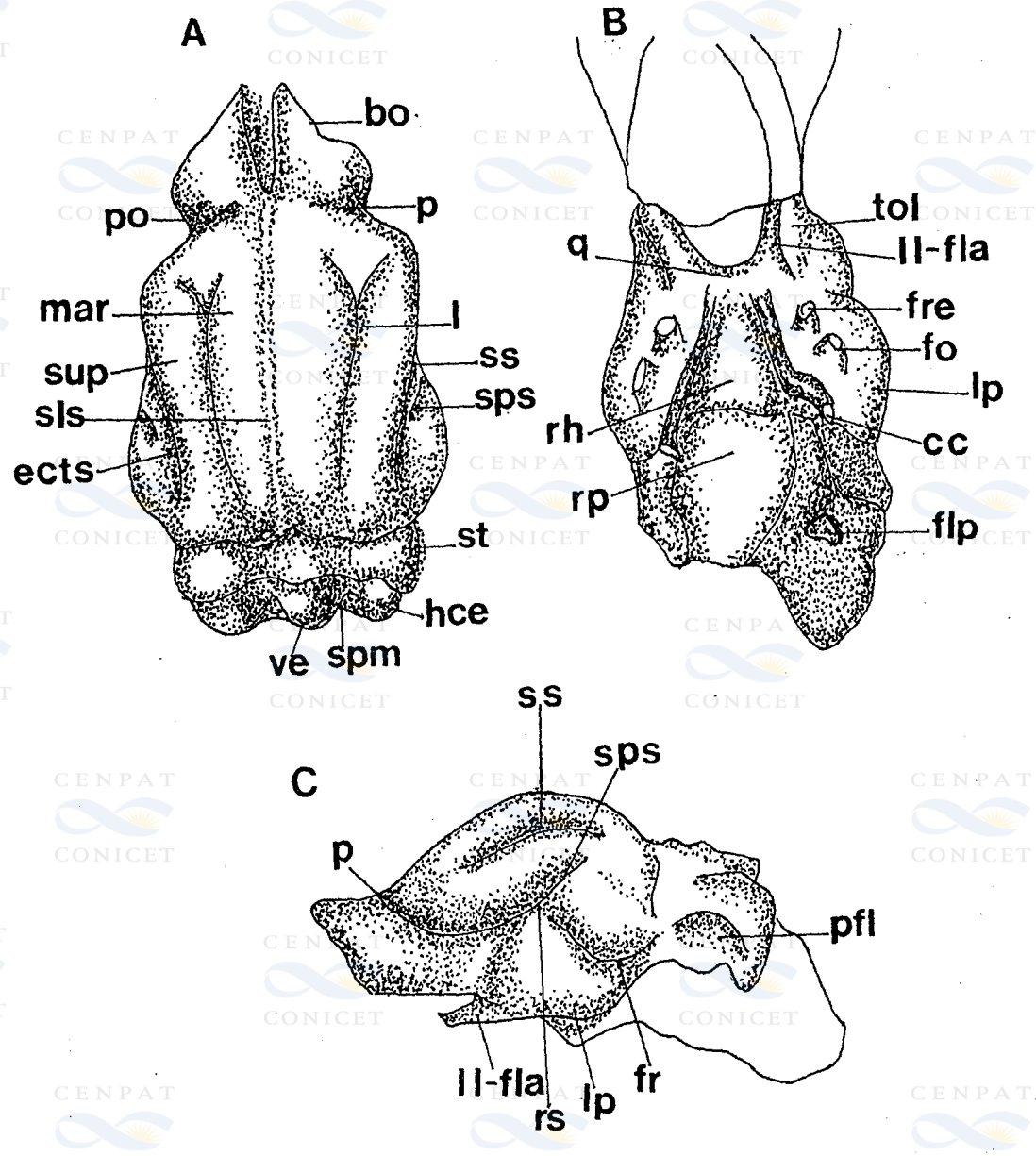
CONICET

CONICET

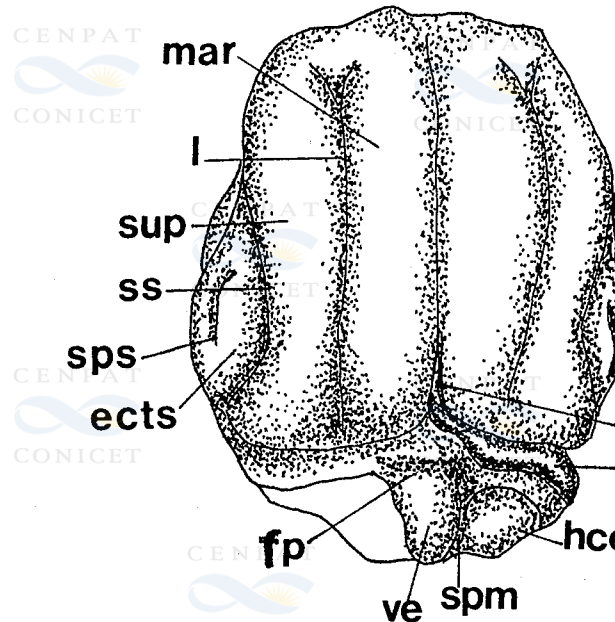
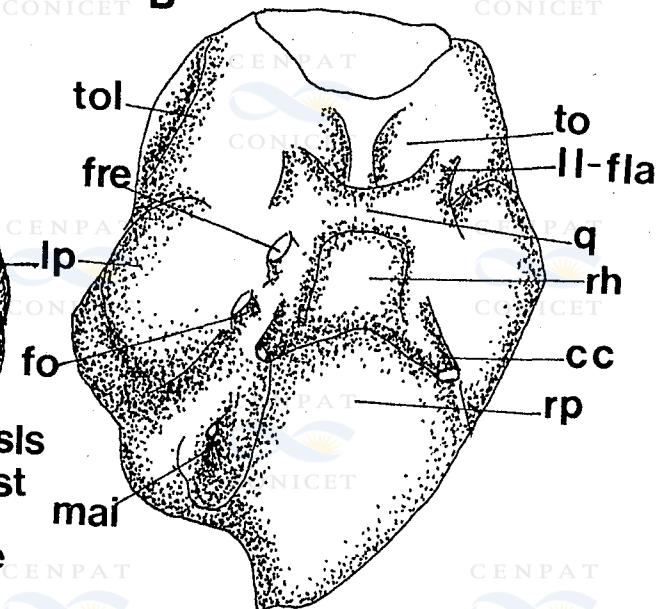


CONICET

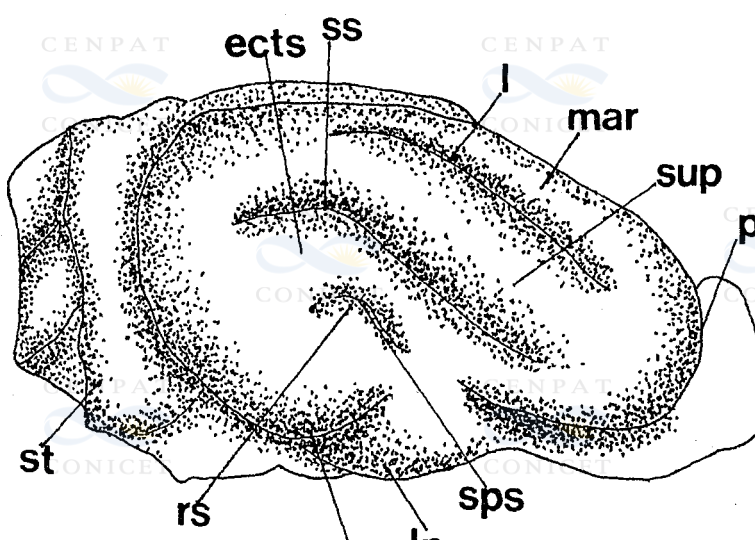
CONICET

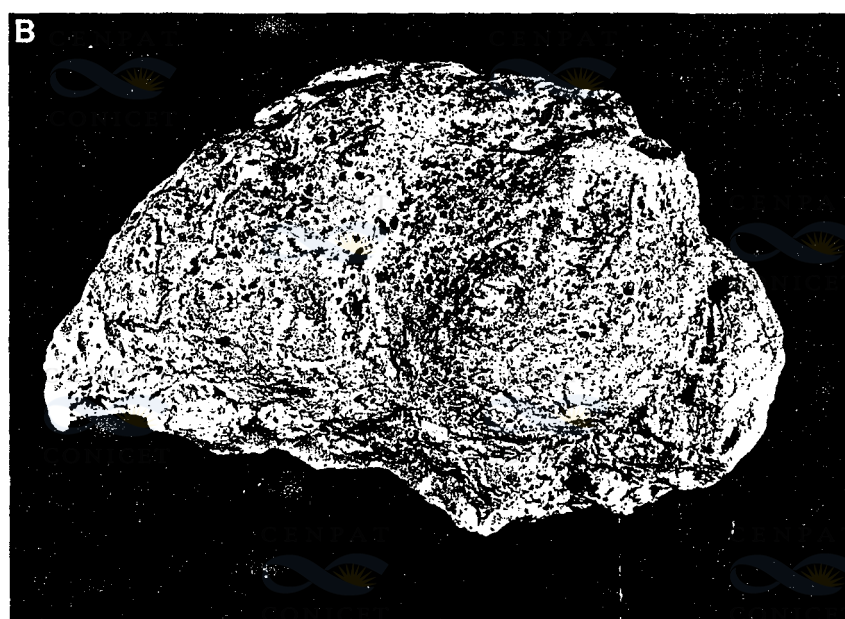


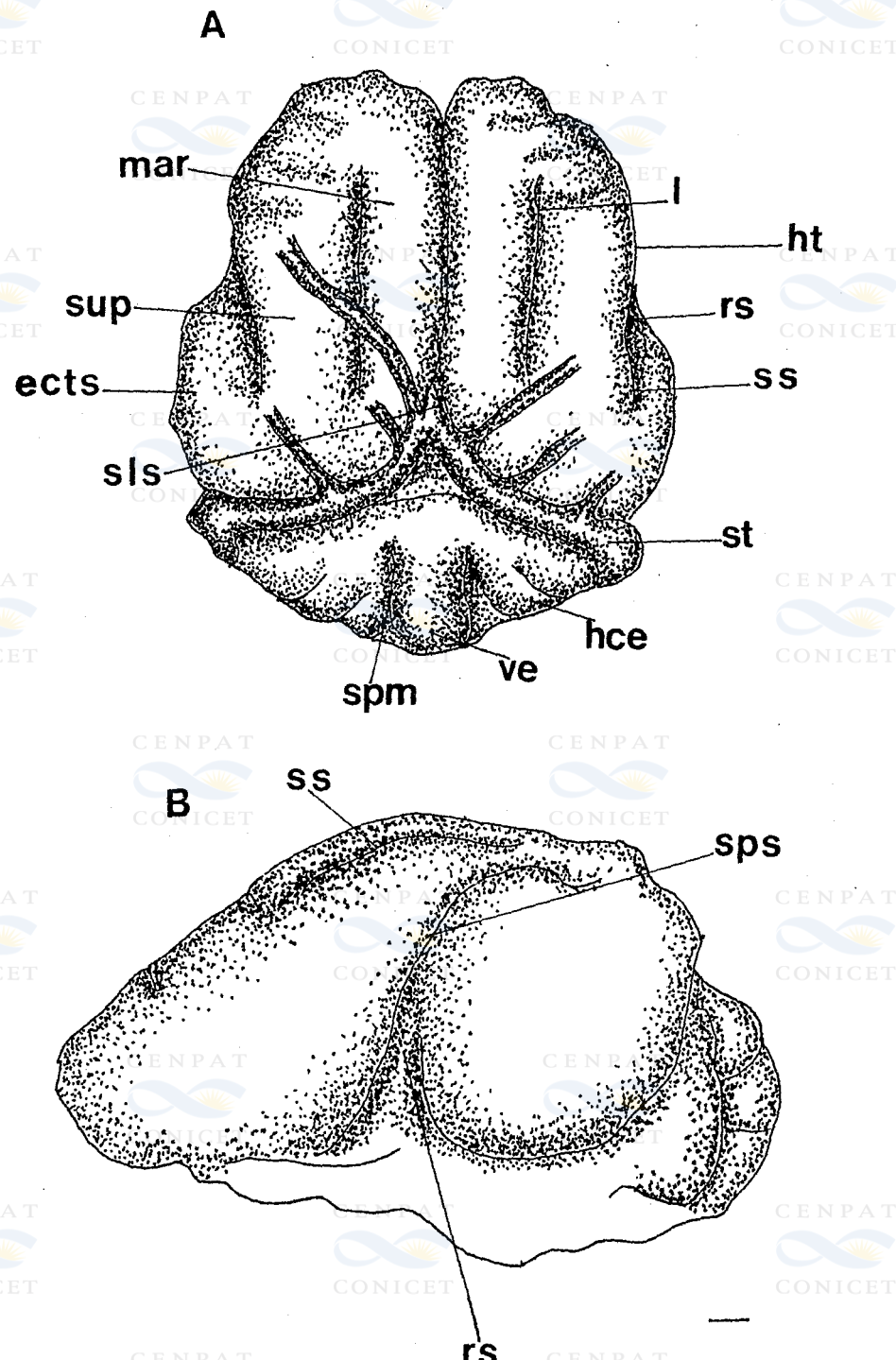


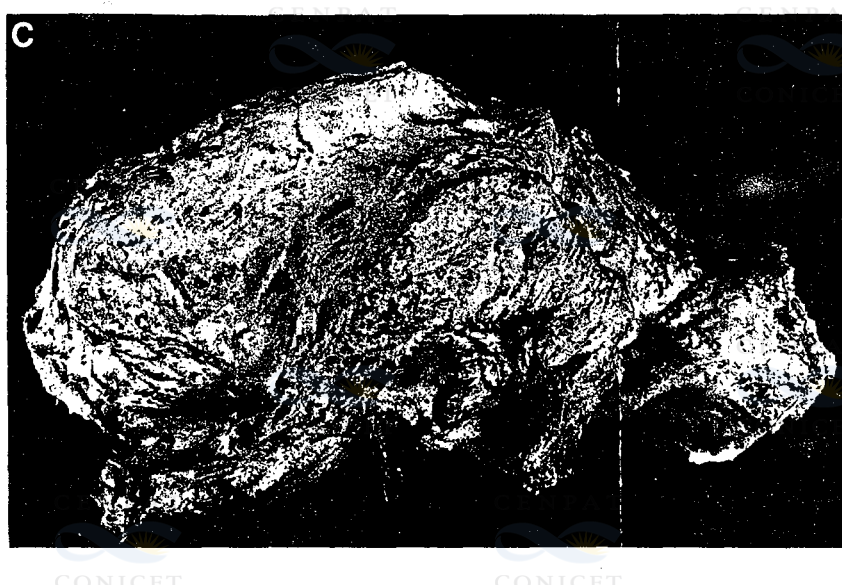
CENPAT
CONICET**A**CENPAT
CONICET**B**CENPAT
CONICETCENPAT
CONICET

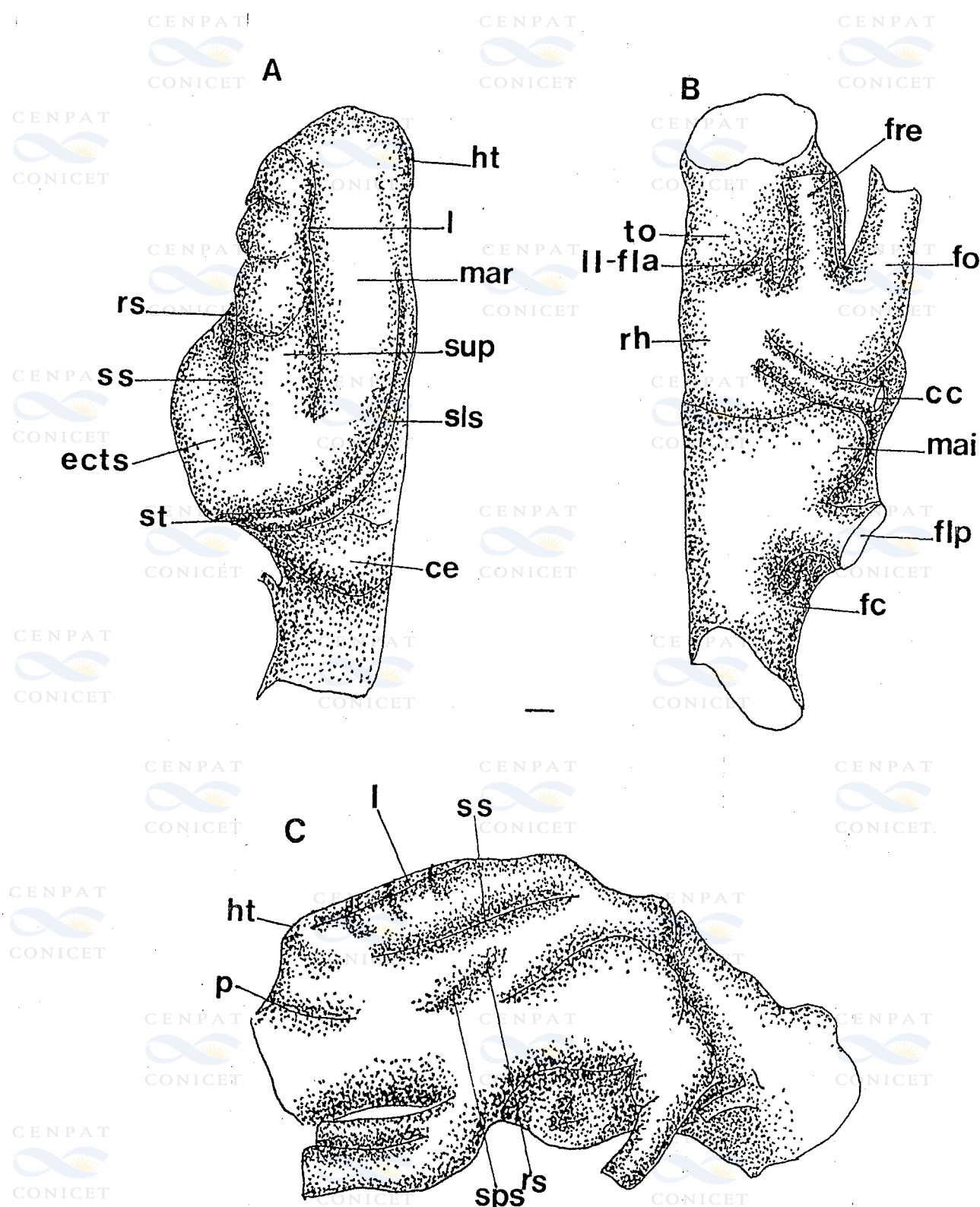








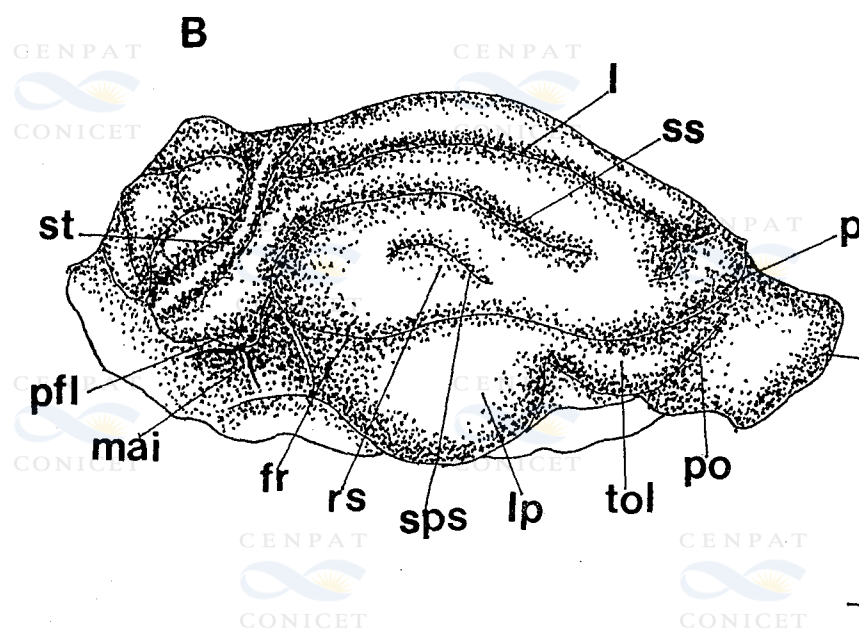
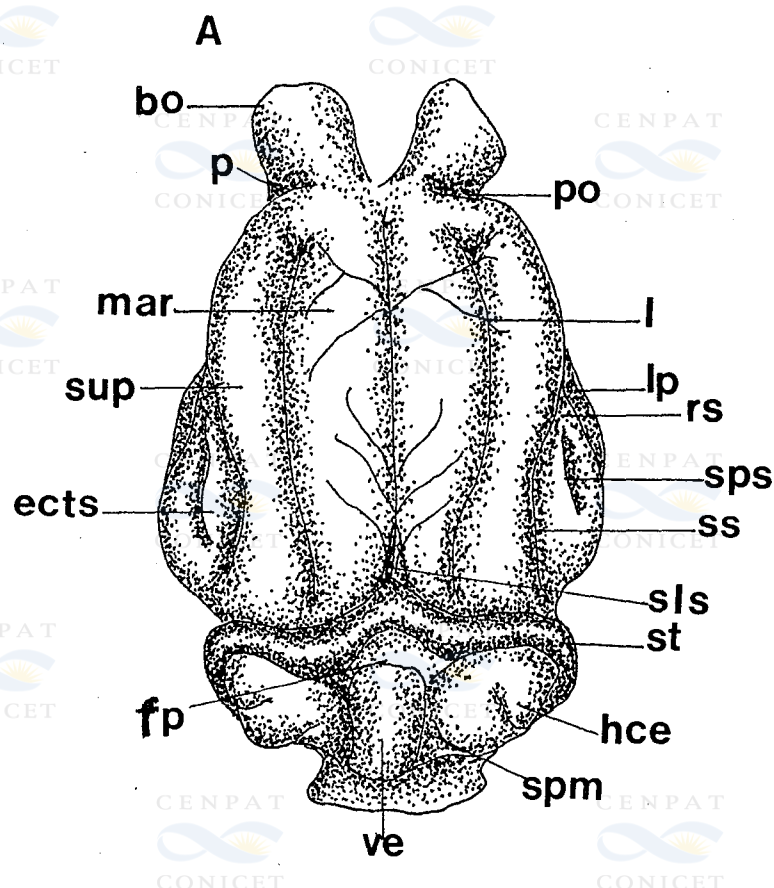


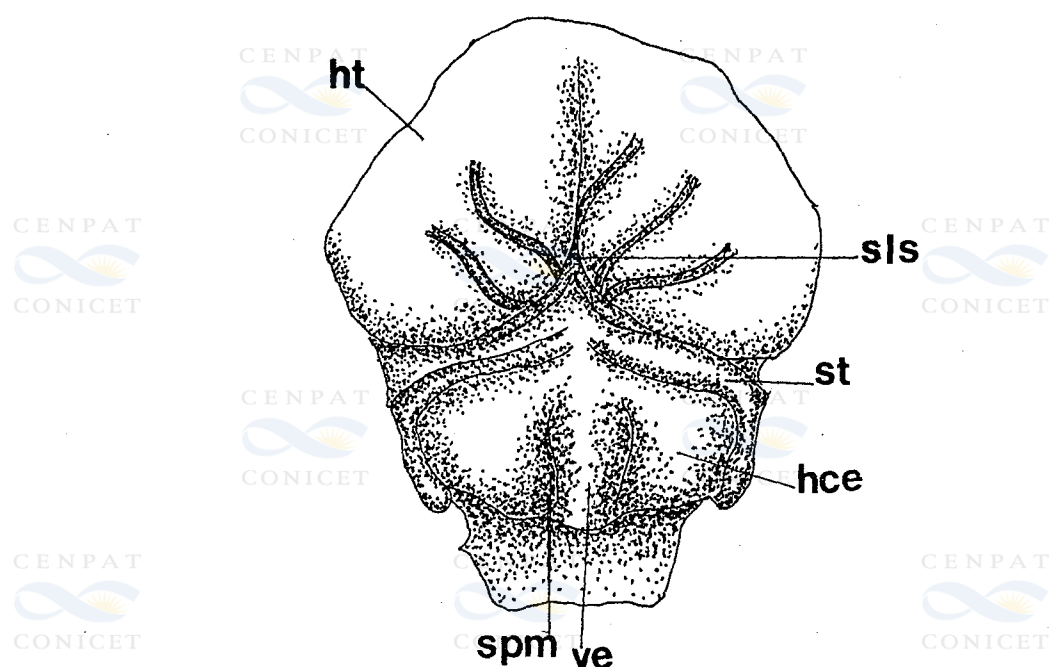


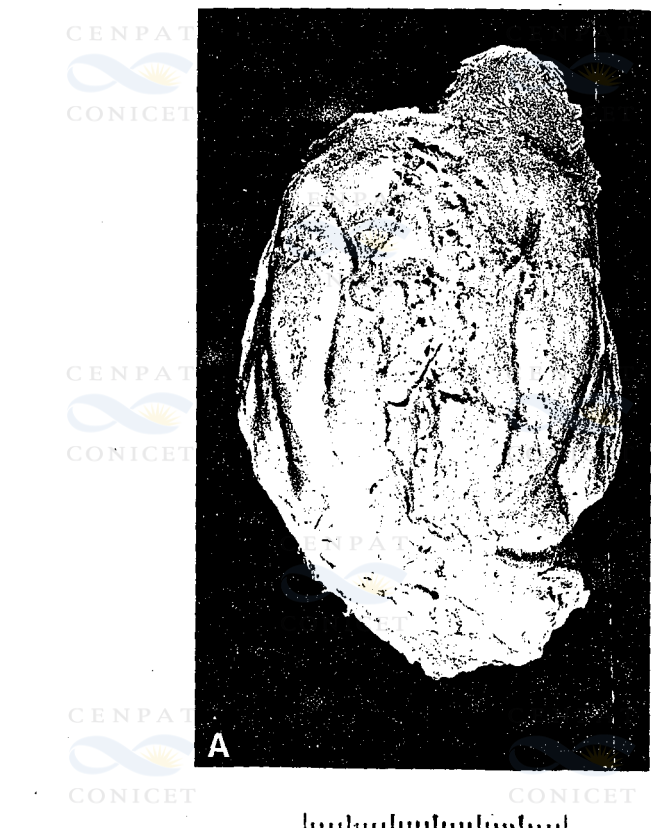


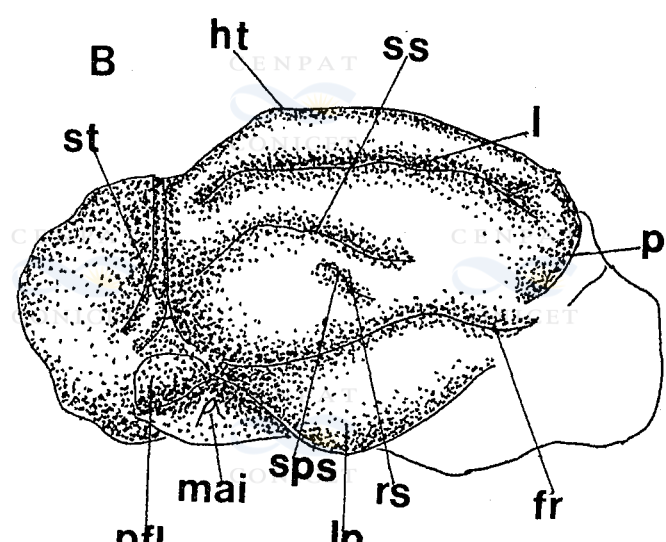
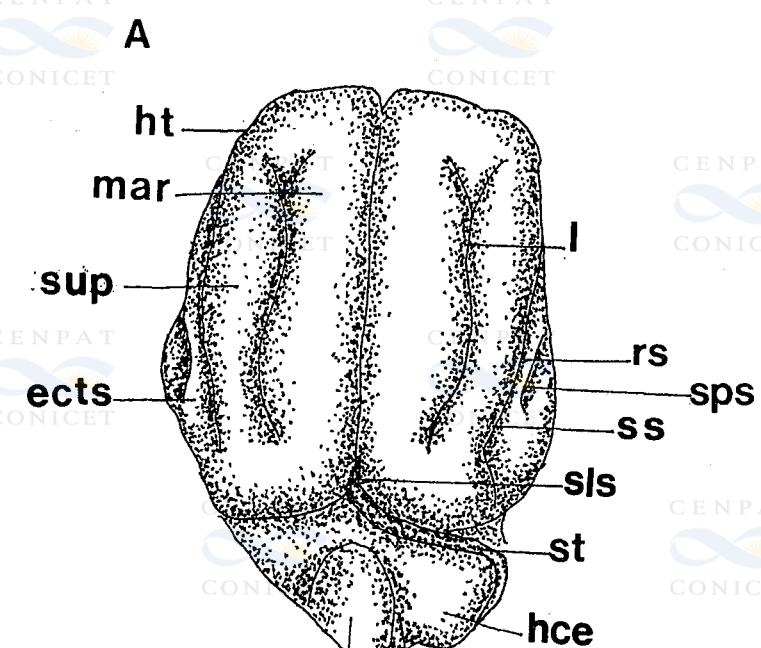
A













A



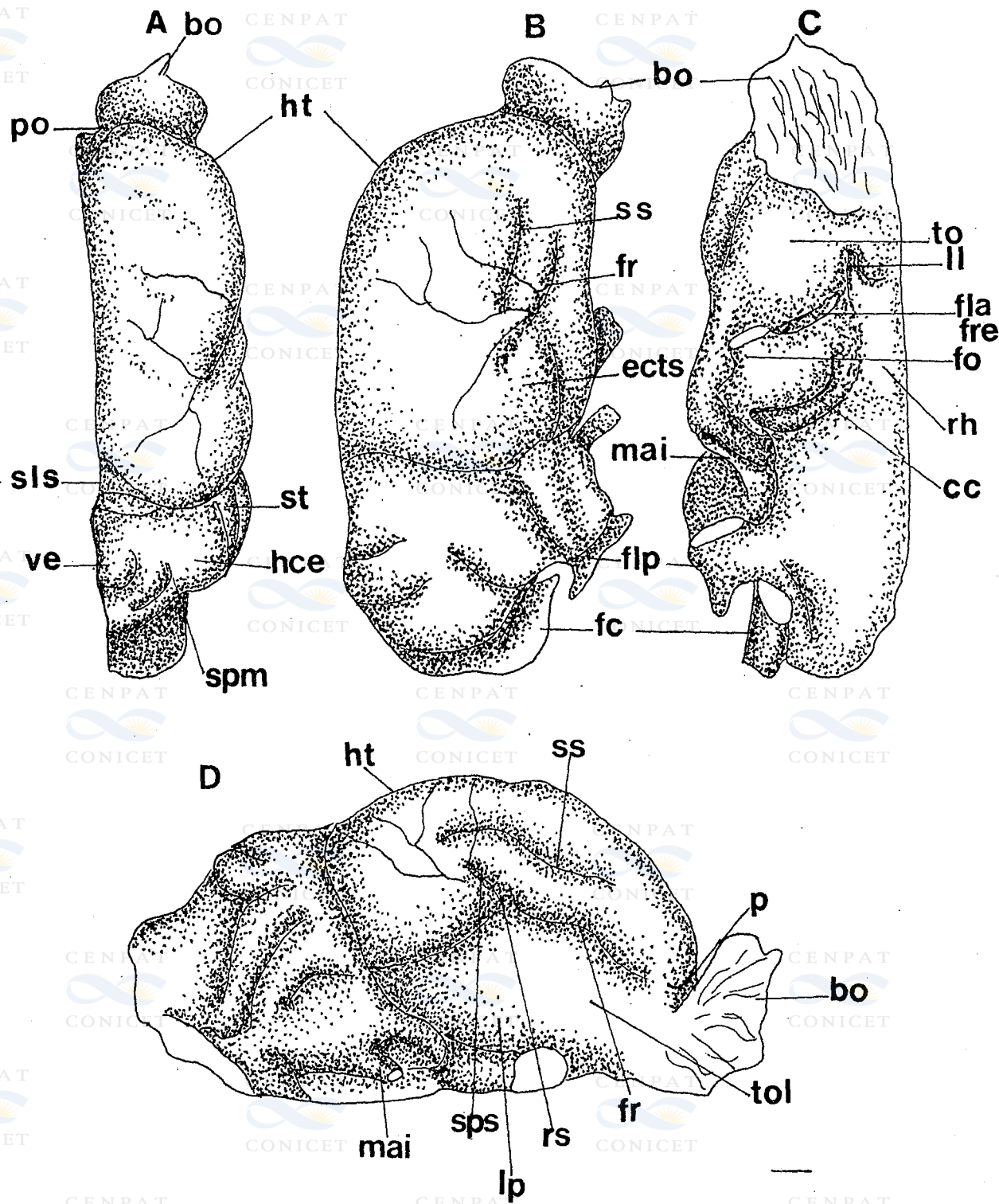
B

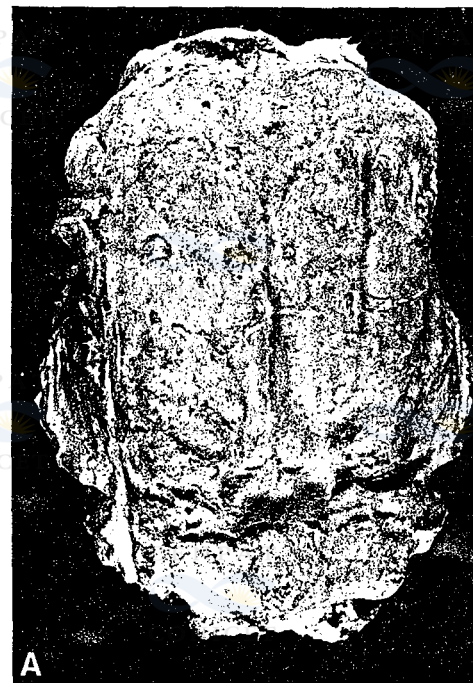


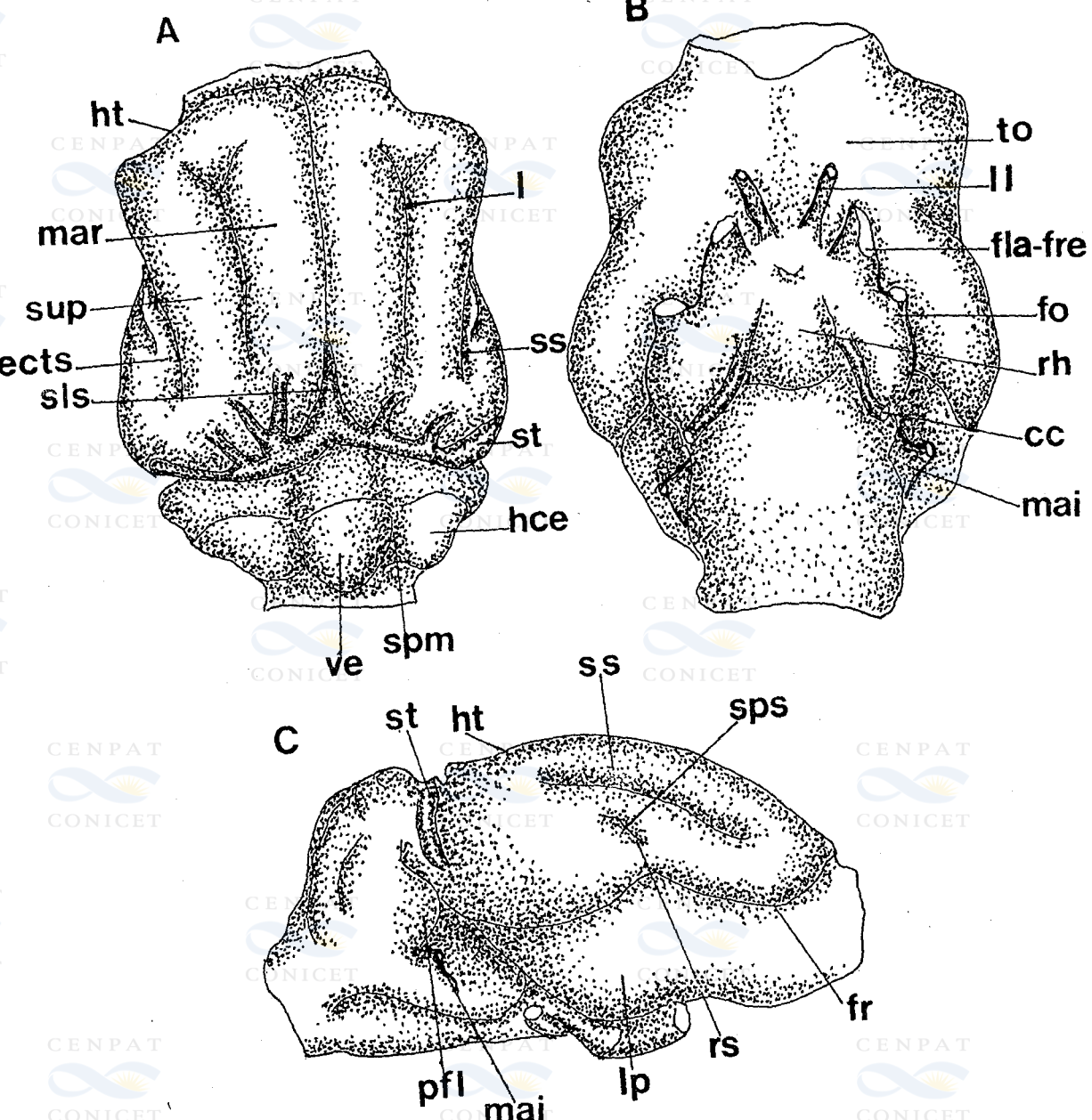
C

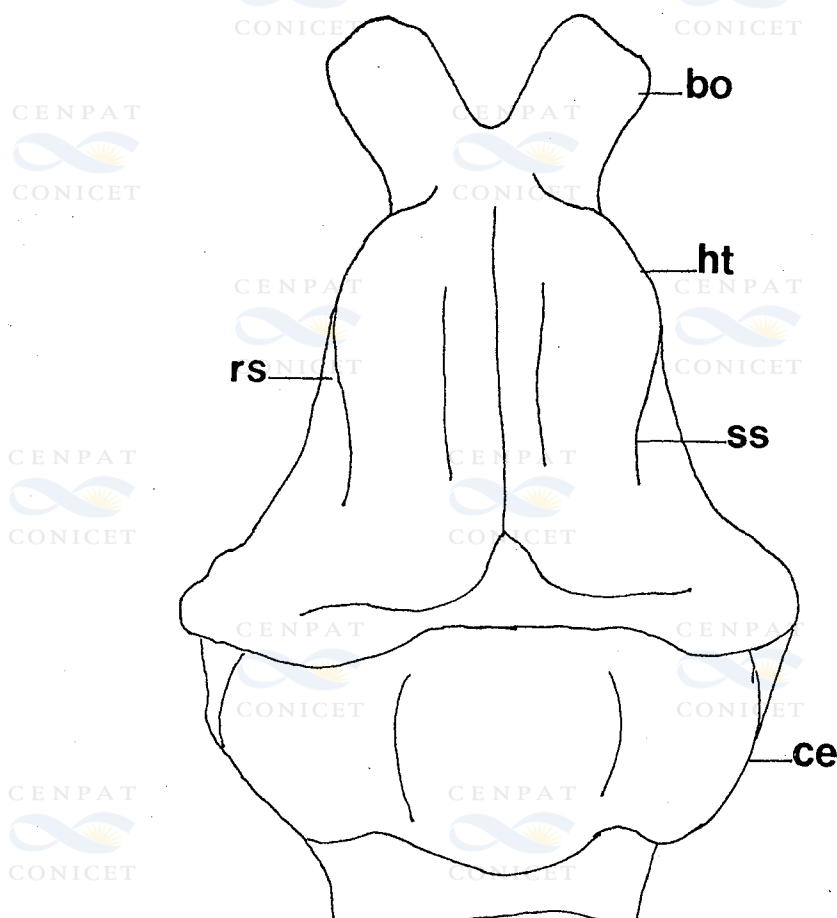


D

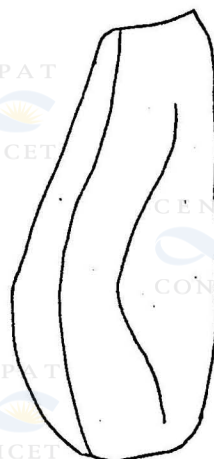
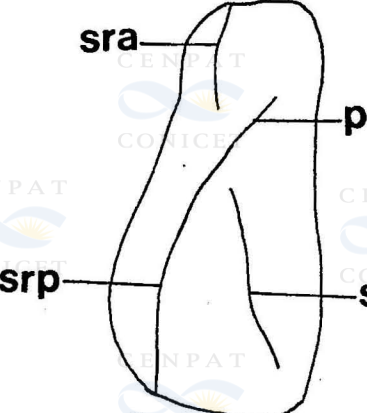








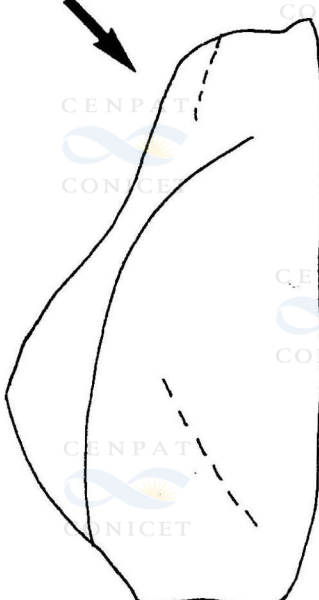
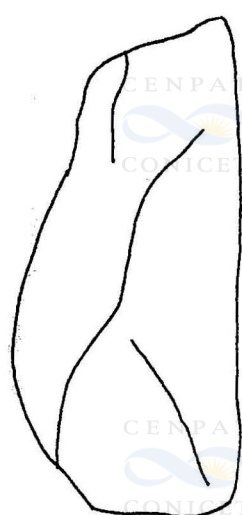
Modelo neocortical básico



+*Utaetus buccatus*

(Euphractinae-
Utaetini)

CONICET



Euphractinae-
Euphractini



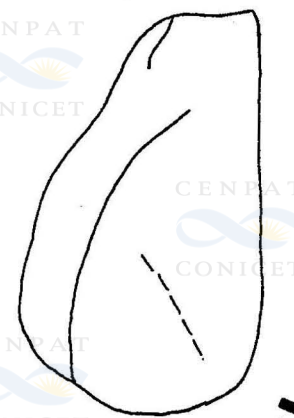
Tolypeutes matacus
(Tolypeutinae)

CONICET



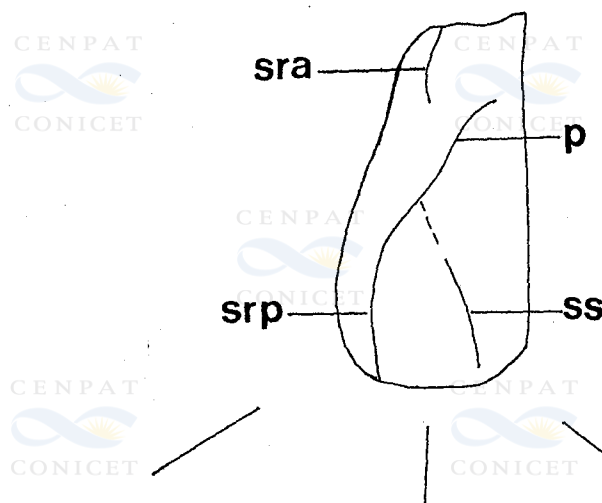
+*Peltephilus ferox*
(Peltephilinae)

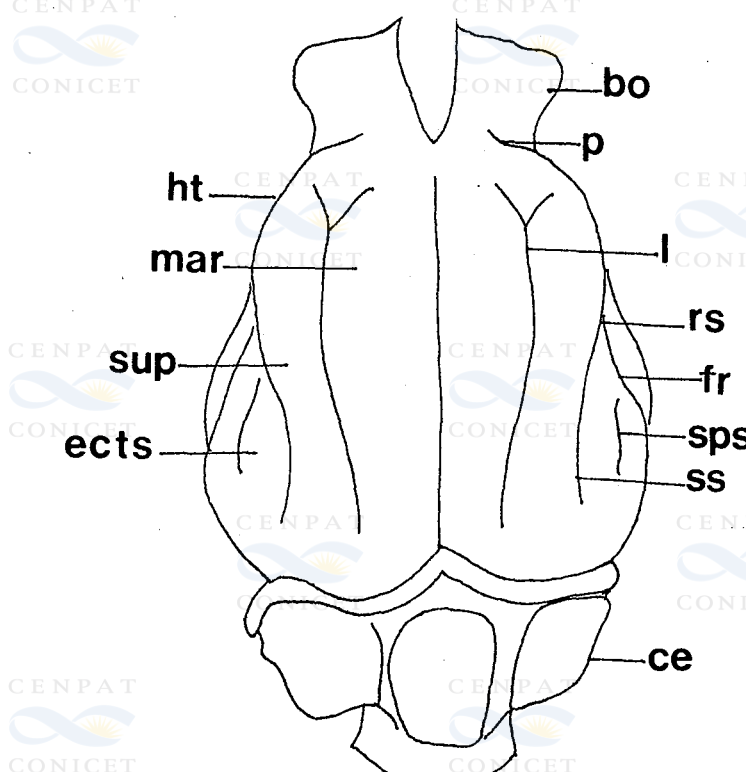
CONICET



Dasyproctus hybridus
(Dasypodinae)

Chlamyphorus truncatus
(Chlamyphorinae)

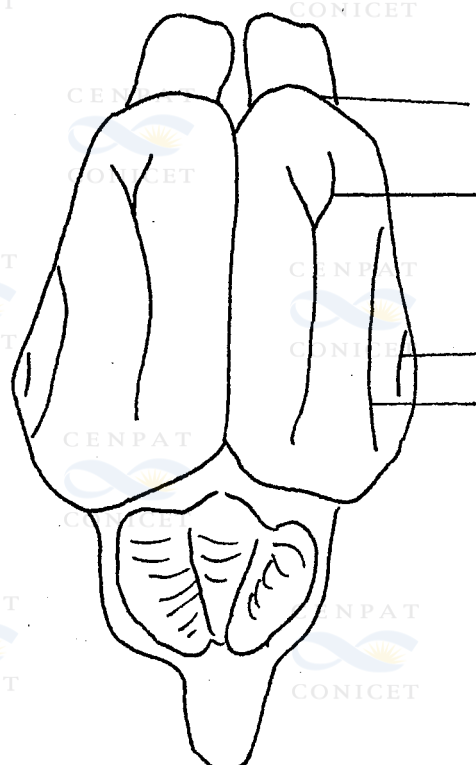




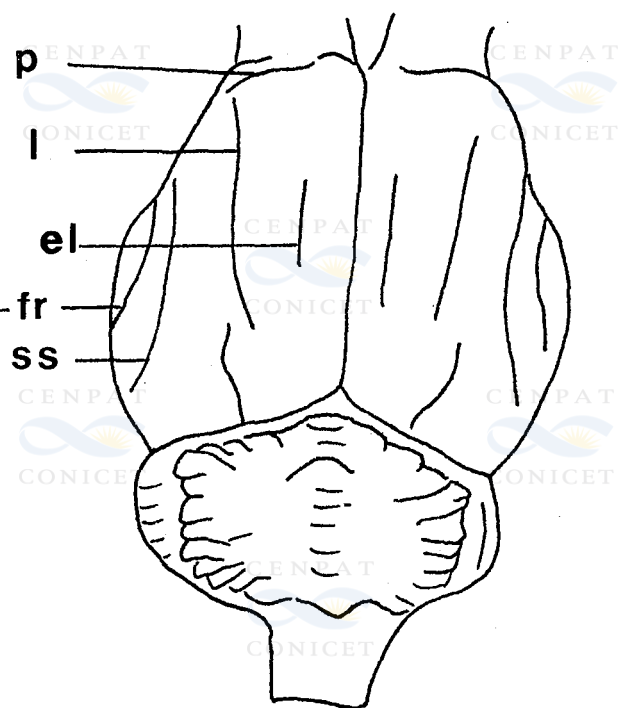
CENPAT
CONICET

CENPAT
CONICET

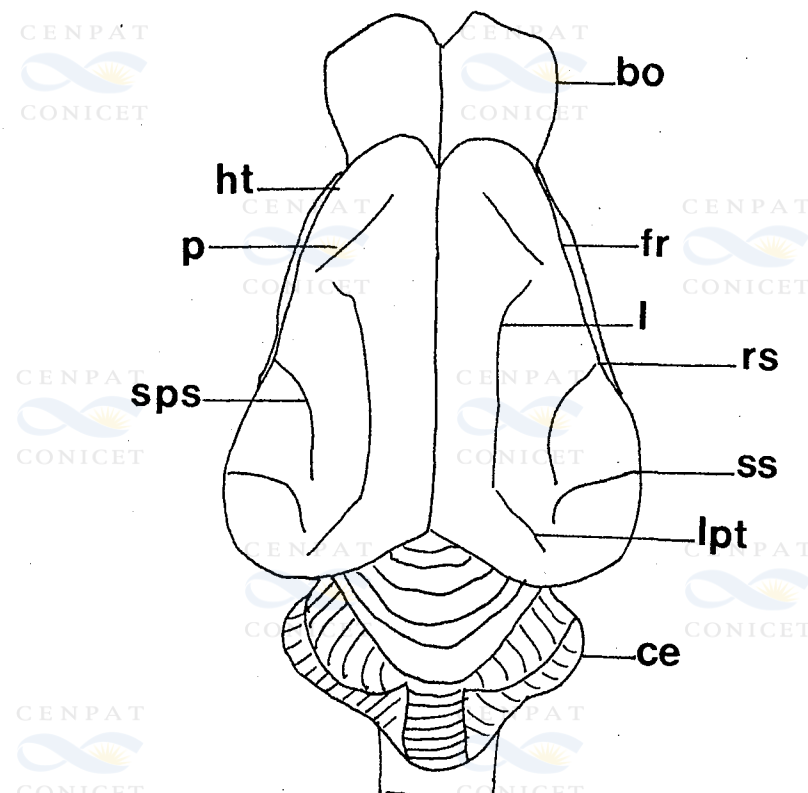
CENPAT
CONICET



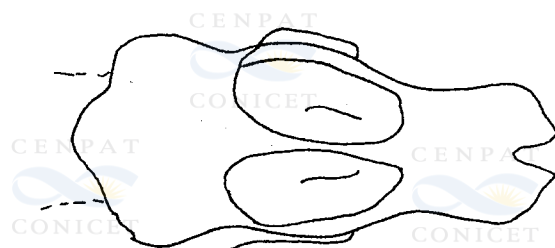
A



B



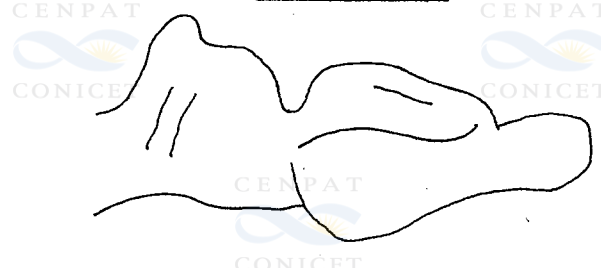
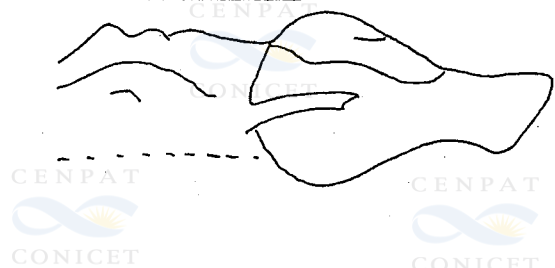
ORDEN CONDYLARTHRA



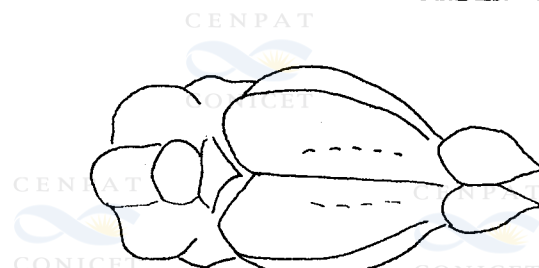
Arctocyon



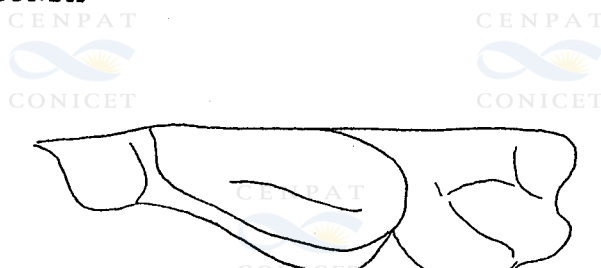
Phenacodus



ORDEN CREODONTA



Thinocyon

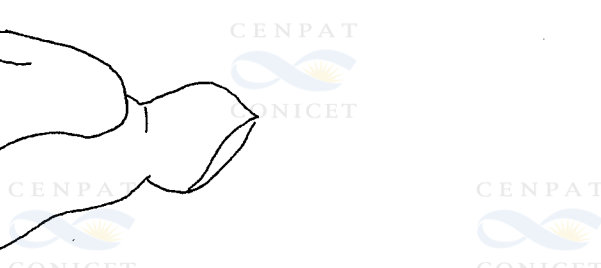


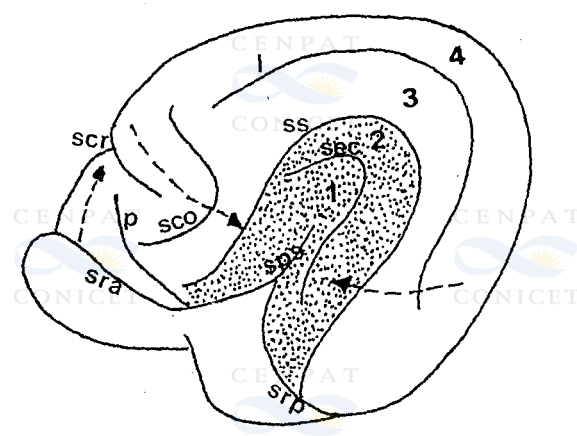
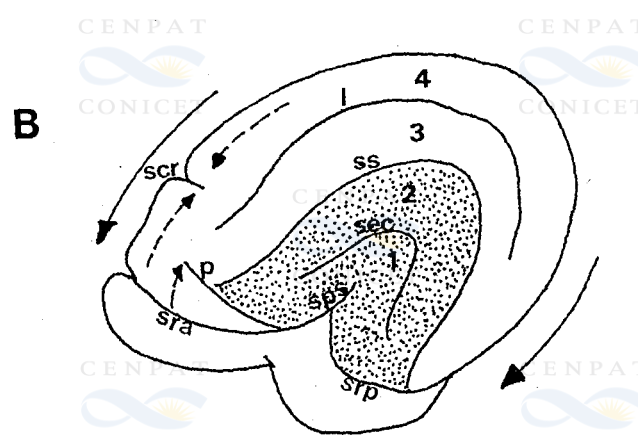
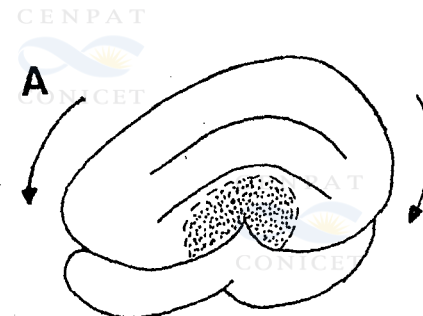
Tritemnodon

ORDEN CARNIVORA



Vulpavus





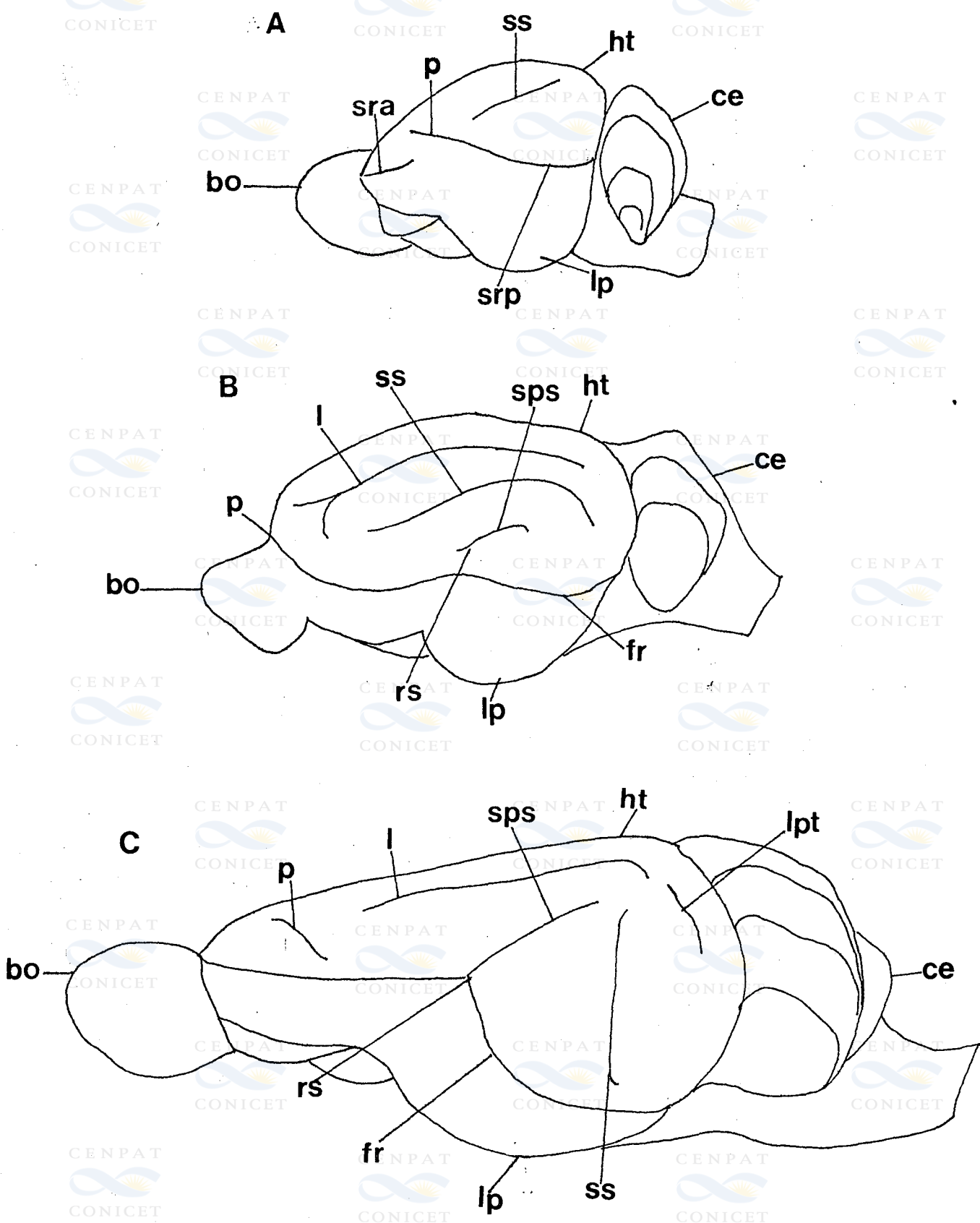




TABLA 1

Datos de una muestra de edentados xenartros para obtener

ecuaciones de las relaciones alométricas:

1-longitud del cráneo (C) - longitud hocico-ano (L)

2-longitud hocico-ano (L) - peso del cuerpo (P)

3-longitud del cráneo (C) - peso del cuerpo (P)

Fuente: Wetzel, 1985a,b

ESPECIES	L(cm)	CENPAT P(g)	CENPAT C(cm)
<u><i>Cyclopes didactylus</i></u>	20.1	234.7	5
<u><i>Myrmecophaga tridactyla</i></u>	126.6	32900	35.9
<u><i>Tamandua mexicana</i></u>	56.7	4320	12.64
<u><i>Tamandua tetradactyla</i></u>	59.4	4830	12.97
<u><i>Bradypus torquatus</i></u>	47.1	3880	7.72
<u><i>Bradypus variegatus</i></u>	52	4340	7.58
<u><i>Bradypus tridactylus</i></u>	49.6	4010	7.38
<u><i>Choloepus hoffmanni</i></u>	60	5720	10.63
<u><i>Choloepus didactylus</i></u>	65.4	6070	11.12
<u><i>Euphractus sexcinctus</i></u>	44.66	5390	11.49
<u><i>Chaetophractus vellerosus</i></u>	23.01	835	6.26
<u><i>Chaetophractus villosus</i></u>	33.01	2020	8.97
<u><i>Priodontes maximus</i></u>	89.55	29480	19.31
<u><i>Cabassous unicinctus</i></u>	35.57	2900	7.98
<u><i>Cabassous tatouay</i></u>	45.78	6200	10.98
<u><i>Tolypeutes matacus</i></u>	23.81	1530	6.77
<u><i>Dasyurus novemcinctus</i></u>	40.88	3300	9.01
<u><i>Dasyurus sabanicola</i></u>	29.03	1490	6.8
<u><i>Dasyurus septemcinctus</i></u>	26.5	1450	6.34
<u><i>Dasyurus hybridus</i></u>	29.73	2040	7.02
<u><i>Dasyurus kappeleri</i></u>	54.32	9680	12.34

TABLA 2

Ecuaciones usadas para el análisis del tamaño cerebral relativo.

CENPAT
Ec.1
CONICET

$$CE1 = \frac{E}{0.12 P} \quad \text{Jerison (1973)}$$

CENPAT
Ec.2
CONICET

$$CE2 = \frac{E}{0.0594 P} \quad \text{Martin (1981)}$$

CENPAT
Ec.3
CONICET

$$IP = \frac{E}{0.033 P} \cdot 100 \quad \text{Stephan (1967)}$$

Ecuaciones que conforman el modelo neontológico cuantitativo en base a la muestra total de xenartros (Wetzel, 1985a,b) (vide Tabla 1).

CENPAT
Ec.4a
CONICET

$$L = 5.16 C^{0.94} \quad \text{(recta de regresión)}$$

CENPAT
Ec.4b
CONICET

$$L = 4.09 C^{1.05} \quad \text{(eje mayor reducido)}$$

CENPAT
Ec.5a
CONICET

$$r = 0.90 \quad P = 0.79 L^{2.23} \quad \text{(recta de regresión)}$$

CENPAT
Ec.5b
CONICET

$$P = 0.45 L^{2.38} \quad r = 0.94 \quad \text{(eje mayor reducido)}$$

CENPAT
Ec.6a
CONICET

$$P = 23.79 C^{2.22} \quad \text{(recta de regresión)}$$

CENPAT
Ec.6b
CONICET

$$P = 12.91 C^{2.49} \quad r = 0.89 \quad \text{(eje mayor reducido)}$$

TABLA 2 (continuación)

	CENPAT	CENPAT	CENPAT
Ecuaciones que conforman el modelo neontológico cuantitativo en base a la muestra de Dasylopodidae. (Wetzel, 1985a,b) (<u>vide</u> Tabla 1)			
Ec.7a	1.12 $L = 3.16 C$	(recta de regresión)	
Ec.7b	1.15 $L = 2.99 C$ $r = 0.98$	(eje mayor reducido)	
Ec.8a	2.51 $P = 0.37 L$	(recta de regresión)	
Ec.8b	2.55 $P = 0.33 L$ $r = 0.98$	(eje mayor reducido)	
Ec.9a	2.85 $P = 6.28 C$	(recta de regresión)	
Ec.9b	2.92 $P = 5.32 C$ $r = 0.97$	(eje mayor reducido)	

Referencias:

CE: cociente de encefalización

IP: índice de progresión

L: largo hocico-anal (cm)

C: largo del cráneo (cm)

P: peso del cuerpo (g)

E: peso del encéfalo (g)

r: coeficiente de correlación

TABLA 3

Datos para determinar la relación tamaño del cuerpo - tamaño del encéfalo en edentados xenartros. Análisis interespecífico.

Géneros	P(g)	E(g)	CE1	CE2	IP
<u>Cyclopes</u> (1)	86	4.11	1.73	2.40	720
<u>Tamandua</u> (1)	3692	25	0.85	0.85	395
<u>Myrmecophaga</u> (2)	24347	82.6	0.79	0.68	390
<u>Bradypus</u> (1)	3263	16.03	0.59	0.60	274
<u>Choloepus</u> (1)	5048	24.53	0.67	0.66	317
<u>Dasypus</u> (1)	3550	10.85	0.38	0.38	176
<u>Chaetophractus</u> (3)	3170	18.30	0.69	0.70	319
<u>Cabassous</u> (4)	3930	23.68	0.77	0.77	359

1: Crile & Quiring (1940)

2: Elliot Smith (1898)

3: colección propia (vide Tabla 4)

4: Pirlot & Kamiya (1983)

Referencias: vide Tabla 2

CE1 según Ec.1

CE2 según Ec.2

TABLA 4

CENPAT
CONICET
Datos de una muestra de 30 ejemplares de *Chaetophractus villosus*
y 1 ejemplar de *Dasypus hybridus* (M88) para estimar el tamaño
cerebral relativo de manera directa y aplicando los modelos
neontológicos cuantitativos.

Fuente: colección propia

ESPECIMENES	P(g)	E(g)	C(cm)	L(cm)
M15	3352	19.18	10	30
M16	3970	21.3	11	37
M17	2440	20	9.5	33
M18	3840	19.17	10	36.5
M20	3600	19.7	10	37
M21	3440	17.9	10	35
M22	3140	17.8	10	35
M24	3050	15.23	9.5	35
M25	3040	20.88	9.5	35
M26	2820	19.17	9.5	35
M27	2350	17.15	9.5	34
M28	1960	12.78	9	29.5
M30	3500	17.68	12	33
M31	3390	20.98	9.5	36
M34	3800	22.48	10	37.5
M35	3210	20.56	9.5	35.5
M37	2905	17.26	9	34
M38	1760	15.66	9.25	31.5
M39	3750	16.1	9.5	36
M41	3620	16.3	10	36
M42	3430	19.17	9	34.5
M43	3290	18.32	10	36
M44	2580	19.5	9	34
M90	2700	18.93	11.3	33
M91	2900	16.3	10.8	32
M92	2800	15.89	9.9	29
M93	3650	19.63	10.6	36
M94	3500	18.92	9.5	29
M97	4000	18.50	11.1	36
M98	3300	16.66	10	34
promedio	3169.6	18.30	9.9	34
M88	1800	7.3	8.7	28

TABLA 5
(Cálculos obtenidos en base a la muestra total de xenartros)

1) Tamaño cerebral relativo en *Chaetophractus villosus* (calculado a partir de parámetros directos)

P	E	C	L	CE1	CE2	IP
3169.6	18.3	9.9	34	0.69	0.70	319

2) Tamaño cerebral relativo en *Ch. villosus* (calculando el peso corporal a partir del largo hocico-ano)

P	CE1	CE2	IP
2055	0.92	0.97	435
1937	0.94	0.99	426

3) Tamaño cerebral relativo en *Ch. villosus* (calculando el largo corporal en base al largo del cráneo)

L	P	CE1	CE2	IP
A 44.52	C 3749	0.61	0.62	286
B 45.40	D 3954	0.59	0.59	277

4) Tamaño cerebral relativo en *Ch. villosus* (calculando el peso corporal directamente a partir del largo del cráneo)

P	CE1	CE2	IP
E 3861	0.60	0.60	281
F 3891	0.60	0.60	279

TABLA 5 (continuación)
(Cálculos obtenidos en base a la muestra de Dasypodidae)

1) Tamaño cerebral relativo en *Chaetophractus villosus* (calculado a partir de parámetros directos)

P	E	C	L	CE1	CE2	IP
3169.6	18.3	9.9	34	0.69	0.70	319

2) Tamaño cerebral relativo en *Ch. villosus* (calculando el peso corporal a partir del largo hocico-anal)

P	CE1	CE2	IP
I 2583	0.79	0.82	363
J 2653	0.77	0.80	357

3) Tamaño cerebral relativo en *Ch. villosus* (calculando el largo corporal en base al largo del cráneo)

L	P	CE1	CE2	IP
G 41.19	I 4181	0.57	0.57	267
H 41.75	J 4479	0.55	0.54	255

4) Tamaño cerebral relativo en *Ch. villosus* (calculando el peso corporal directamente a partir del largo craneano)

P	CE1	CE2	IP
K 4320	0.56	0.55	261
L 4297	0.56	0.56	262

TABLA 6

(Cálculos obtenidos en base a la muestra total de xenartros)

1) Tamaño cerebral relativo en *Dasypus hybridus* (calculado a partir de parámetros directos)

P	E	C	L	CE1	CE2	IP
1800	7.3	8.7	28	0.40	0.40	183

2) Tamaño cerebral relativo en *D. hybridus* (calculando el peso corporal a partir del largo hocico-anal)

C	CE1	CE2	IP
1333	0.49	0.54	221
1251	0.51	0.56	230

3) Tamaño cerebral relativo en *D. hybridus* (calculando el largo corporal en base al largo del cráneo)

L	P	CE1	CE2	IP
39.43	2859.7	0.29	0.30	136
39.65	2864.4	0.29	0.30	136

4) Tamaño cerebral relativo en *D. hybridus* (calculando el peso corporal directamente a partir del largo del cráneo)

P	CE1	CE2	IP
2898.2	0.29	0.30	135
2820.5	0.30	0.30	137

TABLA 6 (continuación)
(Cálculos obtenidos en base a la muestra de Dasypodidae)

1) Tamaño cerebral relativo en *Dasypus hybridus* (calculado a partir de parámetros directos)

P	E	C	L	CE1	CE2	IP
1800	7.3	8.7	28	0.40	0.40	183

2) Tamaño cerebral relativo en *D. hybridus* (calculando el peso corporal a partir del largo hocico-ano)

P	CE1	CE2	IP
I 1587	0.44	0.47	198
J 1617	0.43	0.46	195

3) Tamaño cerebral relativo en *D. hybridus* (calculando el largo corporal en base al largo del cráneo)

L	P	CE1	CE2	IP
G 35.64	I 2908	0.29	0.30	134
H 35.98	J 3065	0.28	0.29	130

4) Tamaño cerebral relativo en *D. hybridus* (calculando el peso corporal directamente a partir del largo craneano)

P	CE1	CE2	IP
K 2989	0.28	0.29	132
L 2946	0.29	0.29	133

Referencias para las Tablas 5 y 6: (vide Tablas 1 y 2)

CE1: Ec.1

A: Ec.4a

G: Ec.7a

CE2: Ec.2

B: Ec.4b

H: Ec.7b

CEP: Ec.3

C: Ec.5a

I: Ec.8a

CEP: Ec.3

D: Ec.5b

J: Ec.8b

CENPAT
CONICET

E: Ec.6a

CENPAT
CONICET

K: Ec.9a

CENPAT
CONICET

F: Ec.6b

L: Ec.9b

CENPAT
CONICET

TABLA 7

Especímenes	VE	C	L	P	CE1	CE2	IP
<i>Ch. villosus</i> M 55	18.4	9.31	A 42 B 42.6	C 3292 D 3398 E 3369 F 3339	0.67 0.66 0.66 0.67	0.68 0.68 0.67 0.68	313 306 308 310
<i>Ch. vellerosus</i> MACN (8)	9	6.6	A 30.4 B 29.7	C 1601 D 1440 E 1570 F 1418	0.53 0.57 0.54 0.58	0.58 0.62 0.58 0.63	243 260 246 262
<i>E. sexcinctus</i> MACN (2)	28	12.4	A 55 B 57.5	C 6007 D 6938 E 6365 F 6816	0.68 0.62 0.66 0.63	0.66 0.59 0.63 0.60	324 295 312 299
<i>T. mataco</i> MACN (9)	10	7.1	A 32.6 B 32	C 1871 D 1720 E 1846 F 1700	0.53 0.57 0.54 0.57	0.57 0.61 0.57 0.61	244 258 246 259
<i>D. hybridus</i> MACN (5)	8	7	A 32.14 B 31.55	C 1813 D 1663 E 1789 F 1641	0.44 0.46 0.44 0.47	0.47 0.50 0.47 0.50	199 210 201 212
<i>Ch. truncatus</i> # 4 (Carlini, MLP)	3	3.62	A 17.3 B 15.8	C 455.5 D 320.6 E 413.7 F 318	0.41 0.52 0.44 0.53	0.50 0.65 0.53 0.65	181 226 192 227
+ <i>P. ferox</i> MACN 4902-18	40	11	A 49.15 B 50.7	C 4674 D 5142 E 4878.5 F 5058	1.16 1.09 1.13 1.10	1.14 1.06 1.10 1.08	543 511 529 516

TABLA 7 (continuación)

Especímenes	VE	C	L	P	CE1	CE2	IP
<u>Ch. villosus</u> M 55	18.4	9.31	G 38.45 H 38.90	I 3518 J 3740 K 3626 L 3591	0.64 0.62 0.63 0.64	0.65 0.62 0.63 0.64	300 288 294 296
<u>Ch. vellerosus</u> MACN (8)	9	6.6	G 26.16 H 26.19	I 1338 J 1364 K 1360 L 1315	0.60 0.59 0.60 0.61	0.66 0.65 0.65 0.67	272 269 269 275
<u>E. sexcinctus</u> MACN (2)	28	12.4	G 53 H 54	I 7873 J 8632 K 8207 L 8293	0.57 0.54 0.56 0.55	0.54 0.50 0.52 0.52	272 257 265 263
<u>T. mataco</u> MACN (9)	10	7.1	G 28.4 H 28.5	I 1645 J 1692 K 1675 L 1628	0.58 0.57 0.58 0.59	0.63 0.61 0.62 0.63	265 260 262 267
<u>D. hybridus</u> MACN (5)	8	7	G 27.9 H 28	I 1573 J 1617 K 1609 L 1562	0.48 0.47 0.47 0.48	0.52 0.51 0.51 0.52	218 214 215 219
<u>Ch. truncatus</u> # 4 (Carlini, MLP)	3	3.62	G 13.35 H 13.13	I 247.3 J 234.5 K 245.6 L 228	0.62 0.64 0.63 0.65	0.78 0.82 0.79 0.83	267 276 268 281
(+) <u>P. ferox</u> MACN 4902-18	40	11	G 46.35 H 47.12	I 5623 J 6098 K 5833.5 L 5845	1.02 0.97 0.99 0.99	0.99 0.93 0.97 0.97	483 458 471 471

Referencias de la Tabla 7: (vide Tabla 2)

VE: volumen endocraneano (ml)

C: largo del cráneo (cm)

L: longitud hocico-anal (cm)

P: peso del cuerpo (g)

CE1: Ec.1

A: Ec.4a

G: Ec.7a

CE2: Ec.2

B: Ec.4b

H: Ec.7b

IP : Ec.3

C: Ec.5a

I: Ec.8a

D: Ec.5b

J: Ec.8b

E: Ec.6a

K: Ec.9a

F: Ec.6b

L: Ec.9b

CENPAT
CONICET

TABLA 8

Valores promedio del tamaño cerebral relativo en distintos ejemplares actuales y un ejemplar fósil (+) de Dasypodidae

X: en base a la muestra total de xenartros (vide Tablas 1 y 2)

D: en base a la muestra de Dasypodidae (vide Tablas 1 y 2)

Especímenes	CE1	CE2	IP
<u><i>Ch. villosus</i></u> M.55	X 0.66 D 0.63	0.67 0.63	309 294
<u><i>E. sexcinctus</i></u> MACN (2)	X 0.65 D 0.55	0.62 0.52	308 264
<u><i>Ch. vellerosus</i></u> MACN (8)	X 0.55 D 0.60	0.60 0.66	253 272
<u><i>T. mataco</i></u> MACN (9)	X 0.55 D 0.58	0.59 0.62	252 263
<u><i>Ch. truncatus</i></u> #4 (Carlini, MLP)	X 0.47 D 0.63	0.58 0.80	206 273
<u><i>D. hybridus</i></u> MACN (5)	X 0.45 D 0.47	0.48 0.51	205 216
+ <u><i>P. ferox</i></u> MACN 4902-18	X 1.12 D 0.99	1.09 0.96	525 471

TABLA 9

Especímenes	VE	C	L	P	actuales y		
					CE1	CE2	IP
+ <u>H. indifferens</u> MLP 4-4	100	16.3	99.54(1)	A 22551 B 25612	1 0.93	0.87 0.79	496 457
+ <u>H. rutimeyeri</u> MACN A 1064	80	13	79.4 (1)	A 13621 B 14955	1.13 1.06	1.02 0.95	548 516
<u>Ch. didactylus</u> # 534 (MLP)	32	9.4	55.28(2)	A CC 6075 B 6317	0.78 0.76	0.75 0.73	367 358
+ <u>E. fronto</u> MLP 4-2	75	15.6	95.3 (1)	A 20465 B 23092	0.80 0.75	0.70 0.64	396 366
+ <u>Proscelidodon</u> sp. MLP 3-673	150	27.7	121.45(3)	A C 35143 B 41122	1.12 1	0.93 0.83	560 506
<u>Myrmecophaga</u> <u>tridactyla</u> M99	120	33	116.37(4)	A 31949 B 37146	0.96 0.87	0.80 0.72	476 432

Referencias:V_E: volumen endocraneano (ml)

C: longitud del cráneo (cm)

L: longitud hocico-anal (cm)

P: peso del cuerpo (g)

CE1: cociente de encefalización según Jerison (1973)

CE2: cociente de encefalización según Martin (1981)

IP: índice de progresión (Stephan, 1967)

(1)Medida extrapolada desde el esqueleto completo del ejemplar

de la especie Hapalops rutimeyeri (MLP 4-1)

L: 13.1 cm

C: 80 cm

(2)Medida extrapolada desde el ejemplar de Choloepus didactylus
de la muestra de xenartros (vide Tabla 1)(3)Medida extrapolada a partir del promedio de los esqueletos
montados de 5 ejemplares de Mylodontidae (MACN)

Especímenes

L

C

Lestodon sp.

264.5

57

Scelidotherium leptcephalum

236

58.4

Glossotherium myloides

215

48

Scelidodon sp.

242

55

promedio

239.4

54.6

(4)Medida extrapolada desde el ejemplar de Myrmecophaga tridactyla de la muestra de xenartros (vide Tabla 1).A: Ec.5a B: Ec.5b (vide Tabla 2)

TABLA 10

Especímenes	CE1	CE2	IP
+ <i>H. indifferens</i> MLP 4-4	0.96	0.83	476
+ <i>H. rutimeyeri</i> MACN A 1064	1.1	0.98	532
<i>Ch. didactylus</i> # 534 (MLP)	0.77	0.74	362
+ <i>E. fronto</i> MLP 4-2	0.77	0.67	381
+ <i>Proscelidodon</i> sp. MLP 3-673	1.06	0.88	533
<i>Myrmecophaga tridactyla</i> M99	0.91	0.76	454